

สำนักหอสมุดกลาง พระจอมเกล้าลาดกระบัง

การออกแบบวงจรออปแอมป์ซีมอส

CMOS OP-AMP DESIGN



โดย

นาย ณัฐวุฒิ วังกานนท์

ปริญญาานิพนธ์สำหรับวิศวกรรมศาสตรบัณฑิต

สาขาวิชาอิเล็กทรอนิกส์

คณะวิศวกรรมศาสตร์

สถาบันเทคโนโลยีพระจอมเกล้าเจ้าคุณทหารลาดกระบัง

ปีการศึกษา 2542

เลขหมู่.....
เลขทะเบียน..... 36889
วัน, เดือน, ปี..... 29 ต.ค. 2543

ให้บริการใช้งานเพื่อการศึกษาเท่านั้น ไม่อนุญาตให้นำไปใช้ประโยชน์ด้านการค้า
ไม่ว่ากรณีใดๆ ทั้งสิ้น อีกทั้งห้ามมิให้ตัดแปลงเนื้อหาและต้องอ้างอิงถึงเจ้าของเอกสารทุกครั้งที่มีการนำไปใช้

การออกแบบวงจรออปแอมป์ซีมอส

CMOS OP-AMP DESIGN

โดย

นาย ัญญฐวุฒิ วังกานนท์ รหัส 40013168

อาจารย์ที่ปรึกษา

ดร.วรากร เกษมสุวรรณ

ปริญญาานิพนธ์สำหรับวิศวกรรมศาสตรบัณฑิต

สาขาวิชาอิเล็กทรอนิกส์

คณะวิศวกรรมศาสตร์

สถาบันเทคโนโลยีพระจอมเกล้าเจ้าคุณทหารลาดกระบัง

ปีการศึกษา 2542

เอกสารนี้เป็นเอกสารที่สงวนไว้สำหรับการใช้งานเพื่อการศึกษาเท่านั้น ไม่อนุญาตให้นำไปใช้ประโยชน์ด้านการค้า
ไม่ว่ากรณีใดๆ ทั้งสิ้น อีกทั้งห้ามมิให้ดัดแปลงเนื้อหาและต้องอ้างอิงถึงเจ้าของเอกสารทุกครั้งที่มีการนำไปใช้

ปริญญาโท ปีการศึกษา 2542

ภาควิชา อีเล็กทรอนิกส์

คณะวิศวกรรมศาสตร์ สถาบันเทคโนโลยีพระจอมเกล้าเจ้าคุณทหารลาดกระบัง

เรื่อง การออกแบบวงจรออปแอมป์ซีมอส

ผู้จัดทำ นาย ญัฐวุฒิ วังกานนท์



วรากร เกษมสุวรรณ อาจารย์ที่ปรึกษา
(ดร.วรากร เกษมสุวรรณ)

เอกสารนี้เป็นเอกสารที่สงวนไว้สำหรับการใช้งานเพื่อการศึกษาเท่านั้น ไม่อนุญาตให้นำไปใช้ประโยชน์ด้านการค้า
ไม่ว่ากรณีใดๆ ทั้งสิ้น อีกทั้งห้ามมิให้ตัดแปลงเนื้อหาและต้องอ้างอิงถึงเจ้าของเอกสารทุกครั้งที่มีการนำไปใช้

การออกแบบวงจรอปแอมป์ซิมอส

นาย ณ์ฐวุฒิ ว่างานนท์
อ.วรกร เกษมสุวรรณ
ปีการศึกษา 2542

บทคัดย่อ

โครงการนี้เป็นการออกแบบวงจรอปแอมป์ให้มีประสิทธิภาพสูง มีเสถียรภาพและสามารถทนต่อการเปลี่ยนแปลงศักย์ไฟฟ้า โดยวงจรดังกล่าวจะมีคุณสมบัติตามข้อกำหนดของวงจรที่ถูกออกแบบขึ้น โดยโครงการการประกวดการออกแบบวงจรรวมแห่งประเทศไทยครั้งที่ 1 ซึ่งทางศูนย์เทคโนโลยีอิเล็กทรอนิกส์และคอมพิวเตอร์แห่งชาติ(NECTEC) เป็นผู้ริเริ่ม เพื่อเป็นการยืนยันว่าวงจรอปแอมป์ที่ถูกออกแบบนั้นทำงานได้อย่างถูกต้อง และมีคุณสมบัติตามข้อกำหนด ผู้เสนอโครงการจะใช้โปรแกรม Pspice ตรวจสอบโดยอาศัยขั้นตอนมาตรฐานในกาหาคุณสมบัติทุกตัวของวงจร

เอกสารนี้เป็นเอกสารที่สงวนไว้สำหรับการใช้งานเพื่อการศึกษาเท่านั้น ไม่อนุญาตให้นำไปใช้ประโยชน์ด้านการค้า ไม่ว่าจะกรณีใดๆ ทั้งสิ้น อีกทั้งห้ามมิให้ตัดแปลงเนื้อหาและต้องอ้างอิงถึงเจ้าของเอกสารทุกครั้งที่มีการนำไปใช้

CMOS OP-AMP DESIGN

Mr. Natthawut Wangkanondh

Adviser. Varakorn Kasemsuwan

1999

Abstract

In this project, the high performance OP-AMP is designed. The CMOS OP-AMP meets the specification requirements set by the 1st national IC design contest 2000 held by NECTEC. To ensure the overall performance of the OP-AMP if it works according to the specification, the circuit simulator Pspice has been used to simulate the circuit under various types of analysis and the circuit is proven to agree with the specification.

เอกสารนี้เป็นเอกสารที่สงวนไว้สำหรับการใช้งานเพื่อการศึกษาเท่านั้น ไม่อนุญาตให้นำไปใช้ประโยชน์ด้านการค้า
ไม่ว่ากรณีใดๆ ทั้งสิ้น อีกทั้งห้ามมิให้ดัดแปลงเนื้อหาและต้องอ้างอิงถึงเจ้าของเอกสารทุกครั้งที่มีการนำไปใช้

สารบัญ

เรื่อง	หน้า
บทคัดย่อภาษาไทย	
บทคัดย่อภาษาอังกฤษ	
บทที่ 1 บทนำ	1
บทที่ 2 มอสเฟีย	2
2.1 มอสเฟีย	2
2.2 รูปแบบจำลองของมอสเฟีย	10
บทที่ 3 วงจรขยายทรานซิสเตอร์	15
3.1 การไบอัสเฟีย	15
3.2 วงจรขยายคอมมอนซอส	16
3.3 วงจรขยายคอมมอนเกต	18
3.4 วงจรขยายคอมมอนเดรน	20
บทที่ 4 แหล่งจ่ายกระแสแบบมอสเฟีย	24
4.1 แหล่งจ่ายกระแสแบบมอสเฟียพื้นฐาน	24
4.2 วงจรสะท้อนกระแส แบบวิลสัน	28
บทที่ 5 วงจรขยายความแตกต่าง	30
5.1 วงจรขยายความแตกต่างพื้นฐาน	30
5.2 สัญญาณดิฟเฟอเรนเชียลและสัญญาณคอมมอนโหมด	32
5.3 ดิฟเฟอเรนเชียลแอมพลิไฟเออร์	33
5.3.1 ดีไซน์ทรานส์เฟอร์คาแรคเตอร์สติก	33
5.3.2 การวิเคราะห์สมอลซิกแนล	37
5.4 วงจรดิฟเฟอเรนเชียลแบบใช้แอกทีฟโหลด	37
บทที่ 6 การออกแบบวงจรออปแอมป์แรงดันต่ำ	39
6.1 บทนำ	39
6.2 สัญญาณแบบเรกทูเรล	39
6.3 วงจรแบบเรกทูเรล	40
6.3.1 วงจรภาคอินพุท	40

เอกสารนี้เป็นเอกสารที่สงวนไว้สำหรับการใช้งานเพื่อการศึกษาเท่านั้น ไม่อนุญาตให้นำไปใช้ประโยชน์ด้านการค้า
ไม่ว่ากรณีใดๆ ทั้งสิ้น อีกทั้งห้ามมิให้ตัดแปลงเนื้อหาและต้องอ้างอิงถึงเจ้าของเอกสารทุกครั้งที่มีการนำไปใช้

6.3.2 วงจรภาคเอาต์พุต	44
บทที่ 7 การออกแบบวงจรและการทดลอง	45
7.1 ขั้นตอนการออกแบบ	45
7.2 การกำหนดค่าพารามิเตอร์วงจรโพล์คาสโคด	47
7.3 การกำหนดค่าพารามิเตอร์วงจรแรงดันต่ำแบบเรลทูเรล	54
บทที่ 8 สรุปและวิจารณ์ผลการทดลอง	69
ภาคผนวก	
กิตติกรรมประกาศ	
บรรณานุกรม	



เอกสารนี้เป็นเอกสารที่สงวนไว้สำหรับการใช้งานเพื่อการศึกษาเท่านั้น ไม่อนุญาตให้นำไปใช้ประโยชน์ด้านการค้า
ไม่ว่ากรณีใดๆ ทั้งสิ้น อีกทั้งห้ามมิให้ตัดแปลงเนื้อหาและต้องอ้างอิงถึงเจ้าของเอกสารทุกครั้งที่มีการนำไปใช้

สารบัญรูปภาพ

เรื่อง	หน้า
รูปที่ 2.1 โครงสร้างและสัญลักษณ์ของ เอ็น-แชนแนล เอ็นฮานซ์เมนต์มอสเฟต	2
รูปที่ 2.2 โครงสร้างและสัญลักษณ์ของ พี-แชนแนล เอ็นฮานซ์เมนต์ มอสเฟต	3
รูปที่ 2.3 การไบอัส เอ็นมอส และ พีมอส a).เอ็นมอส b) พีมอส	4
รูปที่ 2.4 ความสัมพันธ์ของค่า V_{GS} และ V_{DS}	5
รูปที่ 2.5 กราฟ I_D-V_{DS} ที่ค่า V_{GS} คงที่ ($V_{GS} > V_T$)	5
รูปที่ 2.6 กราฟทรานส์เฟอร์ของ มอสเฟต	6
รูปที่ 2.7 รูปและสัญลักษณ์ ของ เอ็น-แชนแนล คิพลิตซัน มอสเฟต	8
รูปที่ 2.8 กราฟ I_D-V_{DS} ที่ค่า V_{GS} คงที่ ($V_{GS} > V_P$)	8
รูปที่ 2.9 การลดและเพิ่มของแชนแนล	9
รูปที่ 2.10 กราฟทรานส์เฟอร์ของ คิพลิตซัน มอสเฟต	10
รูปที่ 2.11 เอ็นมอสที่มีอินพุตเป็นสัญญาณขนาดเล็ก(Small signal) : v_{GS}	11
a). สัญญาณไฟตรง b). สัญญาณขนาดเล็ก และ ไฟตรง	
c). สัญญาณขนาดเล็กอย่างเดียว	
รูปที่ 2.12 รูปแบบจำลองของเอ็น-แชนแนลมอสเฟต	12
รูปที่ 2.13 แบบจำลองสำหรับสัญญาณขนาดเล็ก	12
a). สมมูลย์นอร์ตัน b). สมมูลย์เทวินิน	
รูปที่ 2.14 การเปลี่ยนแปลงของค่าทรานส์คอนดักแตนซ์	14
และแรงดันเกต-ซอสของเอ็นฮานซ์เมนต์ และคิพลิตซัน มอสเฟต	
รูปที่ 3.1 วงจรไบอัสของมอสเฟต	17
รูปที่ 3.2 คอมมอนซอสแอมพลิไฟเออร์ a). รูปวงจร b).รูปวงจร สมอลซิกแนล	18
c).สมมูลย์ สมอลซิกแนล	
รูปที่ 3.3 คอมมอนเกตแอมพลิไฟเออร์	19
a). รูปวงจร b).รูปวงจร สมอลซิกแนล c).สมมูลย์ สมอลซิกแนล	
รูปที่ 3. 4 คอมมอนเกตพื้นฐานa)วงจรสมอลซิกแนล b)สมมูลย์สมอลซิกแนล	21
c) ผลของการเพิ่มแหล่งจ่ายกระแสอนุกรมที่เหมือนกัน	
d)ค่อ โหนดใหม่ลงกราวน์ e). วงจรสมมูลย์อีกรูปแบบหนึ่ง	
รูปที่ 3.5 วงจรที่ใช้ค่าความต้านทานเอาท์พุท	22
รูปที่ 3.6 คอมมอนเครนแอมพลิไฟเออร์ a). รูปวงจร b).รูปวงจร สมอลซิกแนล	23

เอกสารนี้เป็นเอกสารที่สงวนไว้สำหรับการใช้งานเพื่อการศึกษาเท่านั้น ไม่อนุญาตให้นำไปใช้ประโยชน์ด้านการค้า
ไม่ว่ากรณีใดๆ ทั้งสิ้น อีกทั้งห้ามมิให้ตัดแปลงเนื้อหาและต้องอ้างอิงถึงเจ้าของเอกสารทุกครั้งที่มีการนำไปใช้

c). สมอลซิกแนล แบบ ไอซี	d).สมมูลย์ สมอลซิกแนล	
e) วงจรใช้หาค่าความต้านทานเอาต์พุต		
รูปที่ 4.1 a). วงจรสะท้อนกระแสแบบมอส b). การทำงานของวงจรรูป a)		24
รูปที่ 4.2 a). วงจรสะท้อนกระแสแบบคาสโคด b). การทำงานของวงจรรูป a)		27
รูปที่ 4.3 โมเดล สมอลซิกแนล รูป 4.2 a)		28
รูปที่ 4.4 a). วงจรสะท้อนกระแสแบบวิลสัน b). การทำงานของวงจรรูป a)		29
รูปที่ 5.1 วงจร มอสเฟตอินเวอร์เตอร์ แบบมีฟีดแบค		30
รูปที่ 5.2 แนวคิดเบื้องต้นของคิฟเฟอร์เรนเซียลแอมพลิไฟเออร์		31
รูปที่ 5.3 วงจรถูกขับด้วยอินพุต 2 ขั้ว พร้อมๆกัน		32
รูปที่ 5.4 วงจรมอสเฟตคิฟเฟอร์เรนเซียล		33
รูปที่ 5.5 กราฟทรานส์เฟอร์ไฟตรงของ มอสเฟตแบบนอร์มอลไลซ์		36
รูปที่ 5.6 วงจรคิฟเฟอร์เรนเซียลแอมพลิไฟเออร์		38
รูปที่ 5.7 สมมูลย์ สมอลซิกแนล ของ ซิมอส แอมพลิไฟเออร์		38
รูปที่ 6.1 a). ลักษณะวงจรภาคเอาต์พุตแบบธรรมดา		
b). ลักษณะวงจรภาคเอาต์พุตแบบเรลทูเรล		40
รูปที่ 6.2 ลักษณะวงจรภาคอินพุตแบบเรลทูเรล		41
รูปที่ 6.3 วงจรโพลต์แคสโคดแบบเรลทูเรล		42
รูปที่ 6.4 ออปแอมป์แบบ 2 ภาค(เอาต์พุตแบบคลาสเอ)		42
รูปที่ 6.5 วงจรควบคุมทรานส์คอนคักเตนซ์แบบมัลติเพิลอินพุต		43
รูปที่ 6.6 วงจรภาคเอาต์พุตแบบเรลทูเรลคลาสเอบี		44
รูปที่ 7.1 กราฟตอบสนองความถี่		46
รูปที่ 7.2 วงจรโพลต์แคสโคดที่ใช้ในการออกแบบ		48
รูปที่ 7.3 วงจรแรงดันต่ำแบบเรลทูเรลที่ใช้ในการออกแบบ		55
รูปที่ 7.4 วงจรจ่ายกระแส		56
รูปที่ 7.5 วงจรเอาต์พุต		57

เอกสารนี้เป็นเอกสารที่สงวนไว้สำหรับการใช้งานเพื่อการศึกษาเท่านั้น ไม่อนุญาตให้นำไปใช้ประโยชน์ด้านการค้า
ไม่ว่ากรณีใดๆ ทั้งสิ้น อีกทั้งห้ามมิให้ตัดแปลงเนื้อหาและต้องอ้างอิงถึงเจ้าของเอกสารทุกครั้งที่มีการนำไปใช้

สารบัญตาราง

เรื่อง	หน้า
ตารางที่ 3.1	15
ตารางที่ 7.1 ผลการทดลองวงจร โฟลต์คาส โคค	54
ตารางที่ 7.2 ผลการทดลองวงจรแรงดันต่ำ	68



เอกสารนี้เป็นเอกสารที่สงวนไว้สำหรับการใช้งานเพื่อการศึกษาเท่านั้น ไม่อนุญาตให้นำไปใช้ประโยชน์ด้านการค้า
ไม่ว่ากรณีใดๆ ทั้งสิ้น อีกทั้งห้ามมิให้ดัดแปลงเนื้อหาและต้องอ้างอิงถึงเจ้าของเอกสารทุกครั้งที่มีการนำไปใช้

บทที่ 1

บทนำ

ออปแอมป์เป็นวงจรที่มีประโยชน์และใช้กันอย่างแพร่หลายมากวงจรหนึ่ง ประเทศไทยยังขาดผู้มีความชำนาญในการออกแบบวงจรออปแอมป์ทั้งออปแอมป์ที่ใช้งานเฉพาะทางและออปแอมป์สำหรับใช้งานทั่วไปเหล่านี้ การศึกษาถึงการออกแบบวงจรจึงเป็นประโยชน์อย่างมากเพื่อที่เราจะสามารถผลิตออปแอมป์มาใช้งานเองได้

รายงานนี้จึงเป็นการนำเสนอการศึกษาและแนวทางการออกแบบวงจรออปแอมป์ ซึ่งเนื้อหาจะกล่าวถึง รายละเอียดของวงจรต่างๆที่นำมาประกอบกันเป็นออปแอมป์ คือ วงจรขยายพื้นฐาน วงจรแหล่งจ่ายกระแสคงที่และวงจรขยายแบบดิฟเฟอเรนเชียล การศึกษาจะมุ่งเน้นไปทางมอสเฟต เนื่องจากข้อดีที่มีมากกว่าไบโพลาร์ทรานซิสเตอร์ ดังนั้นจึงได้มีการกล่าวถึงโครงสร้างของมอสเฟตเอาไว้ด้วยในบทแรก และในส่วนของ การทดลองจะใช้โปรแกรมคอมพิวเตอร์เป็นตัวจำลองวงจรที่ได้ทำการออกแบบไว้แล้วสามารถทราบผลการทำงานของวงจร และสามารถปรับแต่งค่าพารามิเตอร์ต่างๆ ให้เป็นไปตามที่ต้องการได้

วัตถุประสงค์

- 1.ศึกษาหน้าที่และทำความเข้าใจการทำงานของวงจรภาคต่างๆในออปแอมป์
- 2.ศึกษาความแตกต่าง, ข้อดี, ข้อเสีย ของวงจรลักษณะต่างๆ
- 3.เข้าใจความคิดแนวทางในการพัฒนางจร
- 4.สามารถออกแบบออปแอมป์ให้มีค่าการทำงานที่ต้องการได้

หัวข้อในการออกแบบ

- 1.การออกแบบวงจรประเภทซีมอส
- 2.การออกแบบออปแอมป์แบบทั่วไป
- 3.การออกแบบออปแอมป์แรงดันต่ำ

บทที่ 2

มอสเฟ็ท (MOSFET)

2.1 มอสเฟ็ท (MOSFET)

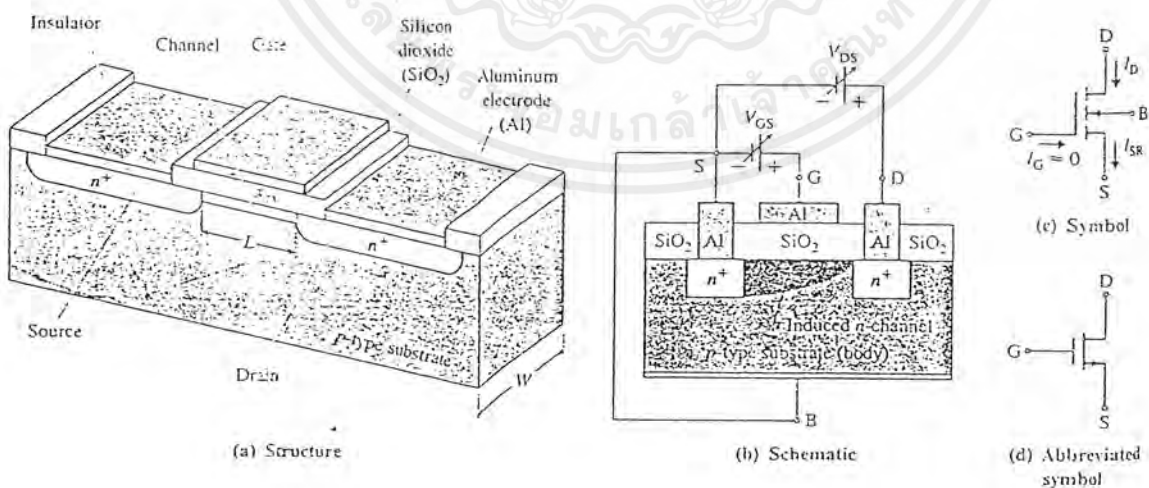
ไบโพลาร์ทรานซิสเตอร์ เป็นอุปกรณ์ที่ควบคุมด้วยกระแส ค่ากระแสเอาต์พุตขึ้นอยู่กับกระแสเบส ค่า ค.ต.ท อินพุตเป็นค่าผกผันกับกระแส I_C ($25.8 \text{ mv} / I_C$) ซึ่งมีค่าต่ำ กระแสที่ไหลในไบโพลาร์ทรานซิสเตอร์ เกิดขึ้นจากทั้งพาหะส่วนมากและส่วนน้อย

ในทางตรงข้าม กระแสที่ไหลใน มอสเฟ็ท จะเกิดจากพาหะชนิดใดชนิดหนึ่งเท่านั้น กระแสเอาต์พุตของมอสเฟ็ทจะควบคุมได้โดยสนามไฟฟ้าที่ขึ้นกับแรงดันที่ควบคุมไว้ มอสเฟ็ทเป็นอุปกรณ์ยูนิโพลาร์และควบคุมด้วยแรงดัน การเปิด/ปิดแรงดันนั้นง่ายกว่าการเปิด/ปิดกระแส โดยเฉพาะถ้ามีอุปกรณ์สะสมพลังงาน เช่น คาปาซิเตอร์

มอสเฟ็ท แบ่งได้เป็น 2 ชนิด คือ

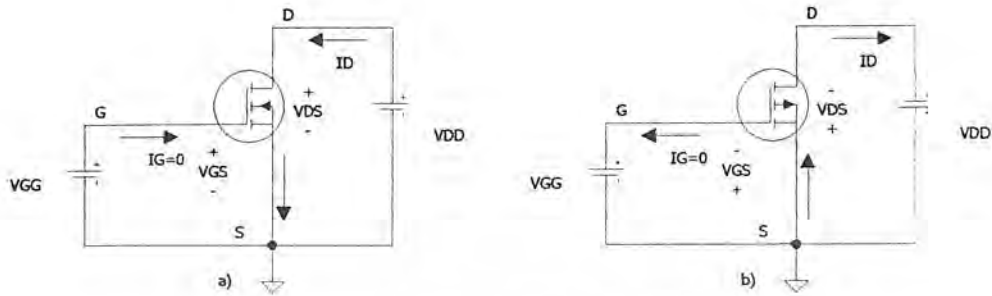
1. เอ็นแฮนซ์เมนต์ เฟ็ท(Enhancement MOSFET)
2. ดีพลีชัน เฟ็ท(Depletion MOSFET)

มอสเฟ็ท เริ่มเป็นที่นิยมมากช่วงปลายปี 1970s ในการทำเป็นวงจรรวม เพราะการผลิตมอสเฟ็ท มีความง่ายกว่าการผลิต ไบโพลาร์ทรานซิสเตอร์ เพราะสามารถสร้างได้เล็กและใช้เนื้อที่น้อยในชิพวงจรรวม



รูปที่ 2.1 โครงสร้างและสัญลักษณ์ของ เอ็น-แชนแนล เอ็นแฮนซ์เมนต์มอสเฟ็ท

เอกสารนี้เป็นเอกสารที่สงวนไว้สำหรับการใช้งานเพื่อการศึกษาเท่านั้น ไม่อนุญาตให้นำไปใช้ประโยชน์ด้านการค้าไม่ว่ากรณีใดๆ ทั้งสิ้น อีกทั้งห้ามมิให้ตัดแปลงเนื้อหาและต้องอ้างอิงถึงเจ้าของเอกสารทุกครั้งที่มีการนำไปใช้



รูป 2.3 การไบอัส เอ็นมอส และ พีมอส a).เอ็นมอส b) พีมอส

เอ็นมอส อาจมองได้ว่าเป็น ไดโอด 2 ตัวต่อกัน คือ ส่วนของซอสกับซับสเตรท และเดรนกับซับสเตรท ดังรูป 2.4 (a) ไดโอดต่อกันแบบท่ายต่อท่าย ค่า V_{DS} ที่เป็นบวก จะทำให้ไดโอดตัวขวามือ เป็นไบอัสกลับ, ค่ากระแส I_D จะมีค่าประมาณศูนย์ ถ้าแรงดัน V_{DS} เป็นศูนย์

ถ้า V_{GS} เป็นบวกจะเกิดสนามไฟฟ้าขึ้น ซึ่งจะดึงคูประจุลบจาก พีซับสเตรท และผลักประจุบวกออก ผลก็คือ ส่วนของซับสเตรทที่อยู่ใกล้ๆ กับจนวนออกไซด์จะเป็น พี น้อยลง เมื่อ V_{GS} เพิ่มมากขึ้น บริเวณจนวนด้านซับสเตรทก็จะดึงคูอิเล็กตรอนเข้ามามากขึ้น จนในที่สุดบริเวณนั้นจะเปลี่ยนเป็น สารกึ่งตัวนำชนิดเอ็น

ค่า V_{GS} ที่น้อยที่สุดที่จะทำให้เกิด แชนแนล ได้เรียกว่า แรงดันเทรชโฮลด์ : V_t กระแส I_D ที่ V_{GS} มีค่าน้อยๆ จะมีค่าน้อยมาก และจะเพิ่มมากขึ้นได้ เมื่อ $V_{GS} > V_t$ และเพิ่มขึ้นค่าค่อนข้างลิเนียร์กับ V_{DS} ที่ V_{DS} ค่าน้อยๆ ดังรูป 2.4 (c) ถ้า V_{DS} มีค่าต่ำ (ประมาณ 1 V.) ค่า I_D สามารถคำนวณได้จากกฎของโอห์ม ($I_D = v_{DS} / r_{DS}$) ความต้านทานระหว่าง ซอส กับ เดรน หาได้โดย

$$R_{DS} = \frac{l}{\sigma A} \quad ; \quad l \text{ คือความยาวของ แชนแนล จะ เดรน ถึง ซอส มีหน่วยเป็น}$$

เมตร (m)

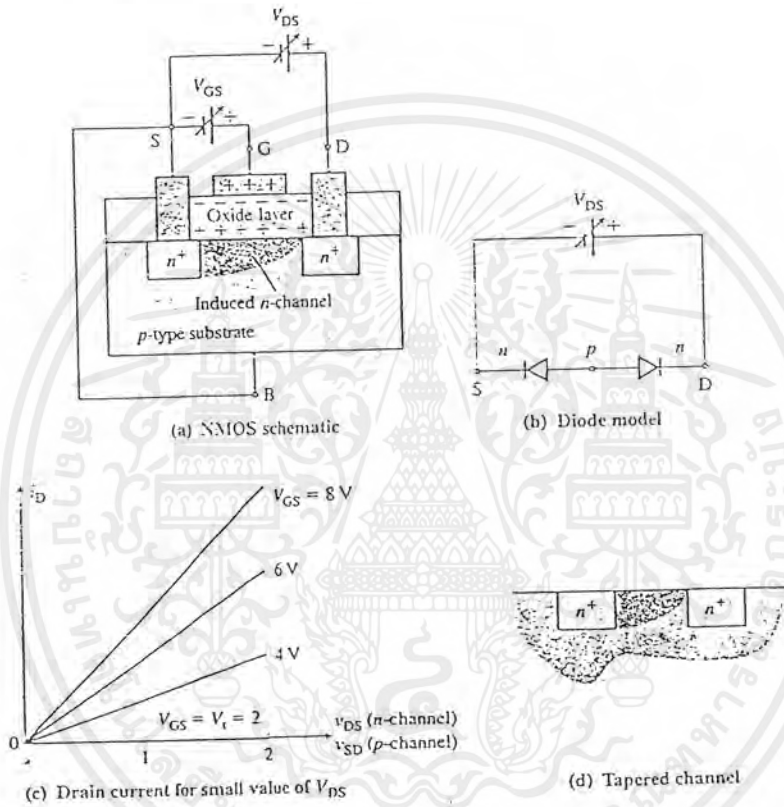
σ คือ ความนำไฟฟ้า(conductivity) ของ สารกึ่งเอ็น มีหน่วย

เป็น $1/\Omega\text{m}$

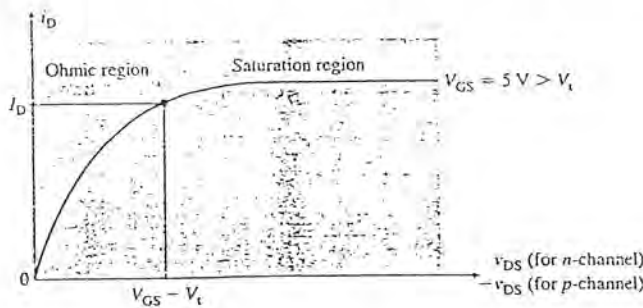
A คือ พื้นที่ตัดขวางเฉลี่ยของ แชนแนล มีหน่วยเป็น m^2

เอกสารนี้เป็นเอกสารที่สงวนไว้สำหรับการใช้งานเพื่อการศึกษาเท่านั้น ไม่อนุญาตให้นำไปใช้ประโยชน์ด้านการค้าไม่ว่ากรณีใดๆ ทั้งสิ้น อีกทั้งห้ามมิให้ตัดแปลงเนื้อหาและต้องอ้างอิงถึงเจ้าของเอกสารทุกครั้งที่มีการนำไปใช้

การเพิ่ม V_{DS} ไม่ได้ทำให้แชนแนลทางด้านซอสเปลี่ยนไป แต่ความกว้างของแชนแนล ทางด้านเดรนจะลดลง ทำให้แชนแนลแคบขึ้น ดังรูป 2.4 (d) เมื่อ V_{DS} มีค่ามากเพียงพอและ $V_{GD} < V_t$ ($V_{DS} > V_{GS} - V_t$) จะเกิด พินชออฟที่ด้าน เดรน การเพิ่ม V_{DS} ก็ไม่ทำให้ I_D เพิ่มขึ้นอีกต่อไป เพื่อ จะทำงานในย่านอิมิตัว กราฟคุณสมบัติ $I_D - V_{DS}$ เมื่อค่า V_{GS} คงที่แสดงได้ดังรูป 2.5 ในทางปฏิบัติ I_D จะเพิ่มขึ้นได้ เมื่อ V_{DS} เพิ่มแต่มีค่าน้อยมาก ๆ



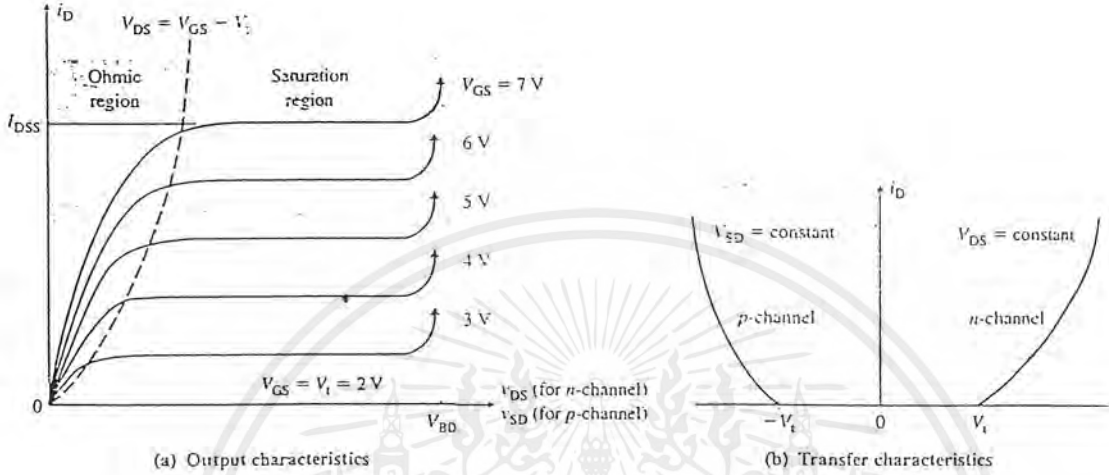
รูป 2.4 ความสัมพันธ์ของค่า V_{GS} และ V_{DS}



รูป 2.5 กราฟ $I_D - V_{DS}$ ที่ค่า V_{GS} คงที่ ($V_{GS} > V_T$)

เอกสารนี้เป็นเอกสารที่สงวนไว้สำหรับการใช้งานเพื่อการศึกษาเท่านั้น ไม่อนุญาตให้นำไปใช้ประโยชน์ด้านการค้า ไม่ว่ากรณีใดๆ ทั้งสิ้น อีกทั้งห้ามมิให้ตัดแปลงเนื้อหาและต้องอ้างอิงถึงเจ้าของเอกสารทุกครั้งที่มีการนำไปใช้

ความชันของกราฟ $I_D - V_{DS}$ สามารถหาค่าได้ จุดลักษณะ ของ เอ็นมอส แสดงในรูป 2.6 (a) และ ลักษณะสมบัติการถ่ายโอนแสดงในรูป 2.6 (b) เป็นของ เอ็นมอส และ พีมอส



รูป 2.6 กราฟการถ่ายโอนของ มอสเฟต

V_{BD} คือค่าของ V_{DS} ที่เพิ่มมากขึ้นจนเกิดการพังทลาย ทำให้เกิดอวลานซ์ เบรคควาน์ ขึ้นใน แชนแนล กระแส เคน จะเพิ่มขึ้นอย่างรวดเร็ว การทำงานใน โหมดนี้จะ ไม่ใช่กันเนื่องจาก เฟต จะเสียหายจากการมีพาวเวอร์ ดิสสิเพชัน ที่มากเกินไป เนื่องจากแรงดันย้อนกลับมีค่าสูงสุดที่ด้านเคน ดังนั้นการพังทลายจะเกิดขึ้นที่จุดนี้ก่อน แรงดันพังทลายจะกำหนดมาจากผู้ผลิตมีค่าในช่วง 20-100 V. ค่า V_{GS} ที่มาก ๆ ยังเป็นเหตุให้เกิด ไดอิเล็กทริก เบรคควาน์ ที่ชั้น ออกไซด์ ด้วย

เนื่องจากขาคาทแยกออกมาจากแชนแนลในเอ็นมอส ทำให้ไม่มี I_D ไหล ผลลัพธ์คือความต้านทาน ระหว่าง เกท กับ ซอส มีค่าสูงมาก ๆ ในทางปฏิบัติมีค่าจำกัด แต่ก็สูงมากประมาณ $10^8 \text{ M}\Omega$.

ย่านโอมห่มิก คือช่วงที่ $V_{DS} \leq (V_{GS} - V_t)$

$$I_D = \frac{K_p}{2} [2(V_{GS} - V_t)V_{DS} - V_{DS}^2]$$

$$\text{โดย } K_p = \frac{\mu_n \epsilon_o \epsilon_{ox} W}{t_{ox} L} = \mu_n C_{ox} \frac{W}{L}$$

เอกสารนี้เป็นเอกสารที่สงวนไว้สำหรับการใช้งานเพื่อการศึกษาเท่านั้น ไม่อนุญาตให้นำไปใช้ประโยชน์ด้านการค้า ไม่ว่ากรณีใดๆ ทั้งสิ้น อีกทั้งห้ามมิให้ตัดแปลงเนื้อหาและต้องอ้างอิงถึงเจ้าของเอกสารทุกครั้งที่มีการนำไปใช้

L = ความยาว แชนแนล (ประมาณ $10 \mu\text{m}$) มีหน่วยเป็น m

W = ความกว้าง แชนแนล (ประมาณ $10 \mu\text{m}$) มีหน่วยเป็น m

μ_n = ความคล่องตัวที่ผิวหน้า (surface mobility) ของ $e^- = 600 \text{ cm}^2/\text{v.s}$

t_{ox} = ความหนาของออกไซด์

C_{ox} = มอสเฟ็ด คาปาซิแตนซ์ ต่อหน่วยพื้นที่

ϵ_o = เปรอริมิตติวิตี้ ของ ฟรี สเปซ = $8.85 \times 10^{-14} \text{ F/cm}$

ϵ_{ox} = ค่าคงที่ ไดอิเล็กตริก ของ ซิลิกอน ไดออกไซด์ = 4

ค่าของ $\mu_n C_{ox} / 2$ เป็นค่าคงที่ขึ้นอยู่กับกระบวนการผลิต มีค่าประมาณ $10 \mu\text{A}/\text{V}^2$ สำหรับ เอ็นมอส มาตรฐาน ที่ออกไซด์มีความหนา $0.1 \mu\text{m}$ ค่า K_p จะประมาณ $20 \mu\text{A}/\text{V}^2$

ย่านอิ่มตัว คือช่วงที่ $V_{DS} \geq (V_{GS} - V_t)$ จากสมการตัวเดิมแทน V_{DS} ด้วย $V_{GS} - V_t$ นั้น
คือ

$$I_D = \frac{K_p (V_{GS} - V_t)^2}{2}$$

ย่านกัทออฟ คือช่วงที่แรงดัน V_{GS} น้อยกว่า V_t ($V_{GS} < V_t$) มอสเฟ็ด จะ ออฟ และ $i_D = 0$

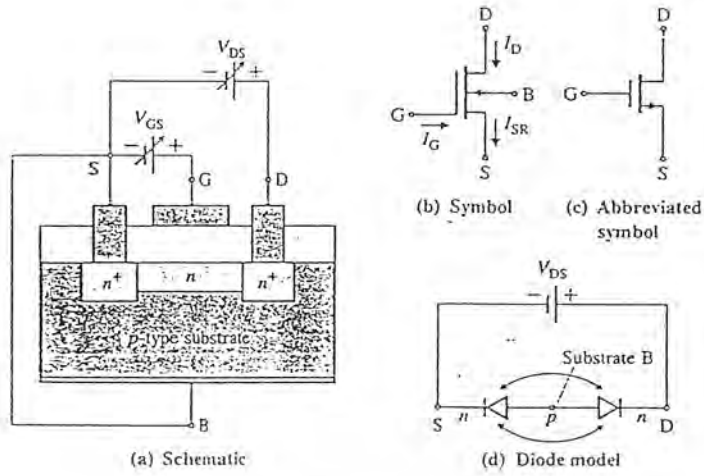
2. ดิฟฟิชั่น มอสเฟ็ด

โครงสร้างของ เอ็น-แชนแนล ดิฟฟิชั่น มอสเฟ็ด คล้ายกับของ เอ็นมอส แชนแนล จะสร้างขึ้นโดยเพิ่มสารเจือชนิด เอ็น ลงไปใน พี-ซับสเตรท ดังรูป 2.7 (a) และสัญลักษณ์แสดงดังรูป (b) ปกติ เฟ็ด จะชนิดนี้จะทำงานด้วยแรงดันแรงดันบวก ระหว่าง เทรน กับ ซอส และแรงดันระหว่าง เกท กับ ซอส จะเป็นบวก, ลบ หรือศูนย์ก็ได้

การถ่ายโอน และ ลักษณะสมบัติทางเอาท์พุท

ดิฟฟิชั่น มอสเฟ็ด สามารถมองได้เป็น ไดโอด 2 ตัวต่อกัน ระหว่าง ซอส กับ ซับสเตรท และ เทรน กับ ซับสเตรท ดังรูป 2.7 (d) เมื่อ $V_{DS} > 0$ ไดโอดตัวของจะถูกไบอัสกลับ และไม่มีกระแสไหลผ่าน ซับสเตรท ถ้าให้ $V_{GS} = 0$ ถ้า V_{DS} เพิ่มขึ้นจากศูนย์เล็กน้อย ($\approx 1 \text{ V}$) กระแส เทรน $I_D = V_{DS} / R_{DS}$ และผกผันตรงกับ V_{DS} การเพิ่มค่า V_{DS} ให้มากกว่าค่า $|V_p|$ หรือ แรงดันพื้นซ้อฟ I_D จะไม่เพิ่มขึ้นอีก ย่านที่สูงกว่า พื้นซ้อฟ เรียกว่า ย่านอิ่มตัว

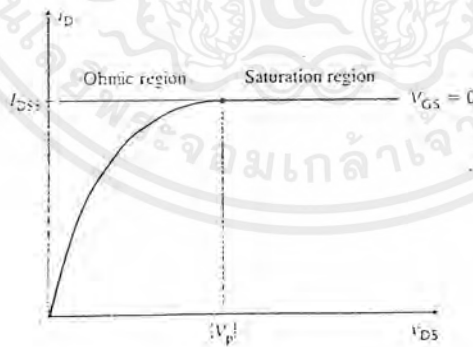
เอกสารนี้เป็นเอกสารที่สงวนไว้สำหรับการใช้งานเพื่อการศึกษาเท่านั้น ไม่อนุญาตให้นำไปใช้ประโยชน์ด้านการค้า
ไม่ว่ากรณีใดๆ ทั้งสิ้น อีกทั้งห้ามมิให้ตัดแปลงเนื้อหาและต้องอ้างอิงถึงเจ้าของเอกสารทุกครั้งที่มีการนำไปใช้



รูป 2.7 รูปและสัญลักษณ์ ของ เอ็น-แชนแนล คิฟลิทชั้น มอสเฟ็ท

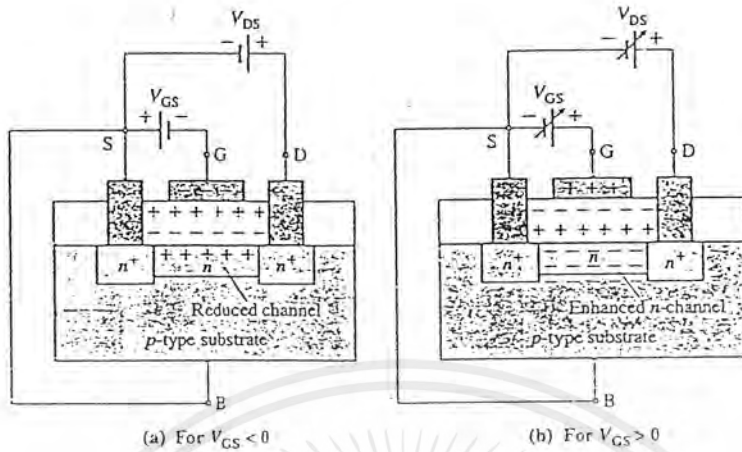
ค่า I_D ที่เกิดขึ้นเมื่อ $V_{DS} = |V_p| (V_{GS} = 0)$ คือ เทอมของกระแส I_{DS} อิมิตัวเรียกว่า I_{DSS} รูปกราฟ $I_D - V_{DS}$ เมื่อ $V_{GS} = 0$ แสดงในรูป 2.8 ในทางปฏิบัติ I_D จะเพิ่มขึ้นน้อยมาก เมื่อ V_{DS} เพิ่มขึ้นมากกว่า $|V_p|$ และความชันของกราฟ $I_D - V_{DS}$ มีค่าจำกัดการอิมิตัวจะเกิดที่ค่าของ V_{DS} ซึ่งแรงดันเท่ากับ แชนแนล เท่ากับ V_p นั่นคือ

$$V_{GD} = V_{GS} - V_{DS} = V_p \text{ หรือ } V_{DS} = V_{GS} - V_p$$



รูป 2.8 กราฟ $I_D - V_{DS}$ ที่ค่า V_{GS} คงที่ $(V_{GS} - V_p)$

ถ้า V_{GS} เป็นลบ อิเล็กตรอนบางส่วนใน เอ็น-แชนแนล จะถูกผลักออกจาก แชนแนล ทำให้ คิฟลิทชั้น รีเจียน แคบขึ้น เมื่อ $V_{GS} > 0$ ชั้น ชัษเตรท ใกล้เคียง เอ็น-แชนแนลจะเป็น พี น้อยลง ทำให้ ความนำมีค่าเพิ่มขึ้น ดังรูป 2.9



รูป 2.9 การลดและเพิ่มของแชนแนล

รูปกราฟคุณลักษณะ $I_D - V_{DS}$ เมื่อ V_{GS} มีค่าต่าง ๆ แสดงดังรูป 2.10 (a) และ ลักษณะสมบัติการถ่ายโอน แสดงในรูป 2.10(b) ทั้ง เอ็น และ พี แชนแนล รูปกราฟสามารถแบ่งได้เป็น 3 ส่วนเช่นเดียวกัน คือ ย่าน โอมห์มิก, อิมตัว และคัทออฟ

ย่านโอมห์มิก คือ ย่านที่ V_{DS} มีค่าต่ำและ แชนแนล ไม่เกิด ฟันช้อฟ

$$I_D = \frac{K_p}{2} [2(V_{GS} - V_p)V_{DS} - V_{DS}^2] \text{ เมื่อ } 0 < V_{DS} \leq (V_{DS} - V_p)$$

ซึ่งค่า V_{DS} น้อยกว่า $(V_{DS} \ll |V_p|)$ สามารถลดรูปได้

$$I_D = \frac{K_p}{2} [2(V_{GS} - V_p)V_{DS}]; K_p = I_{DSS} / V_p^2$$

ย่านอิมตัว คือ $V_{DS} \geq (V_{GS} - V_p)$ ค่า I_D จะค่อนข้างเป็นอิสระจาก V_{DS} จากสมการ I_D เดิมแทน V_{DS} ด้วย $V_{GS} - V_p$

$$I_D = \frac{K_p}{2} [V_{GS} - V_p]^2$$

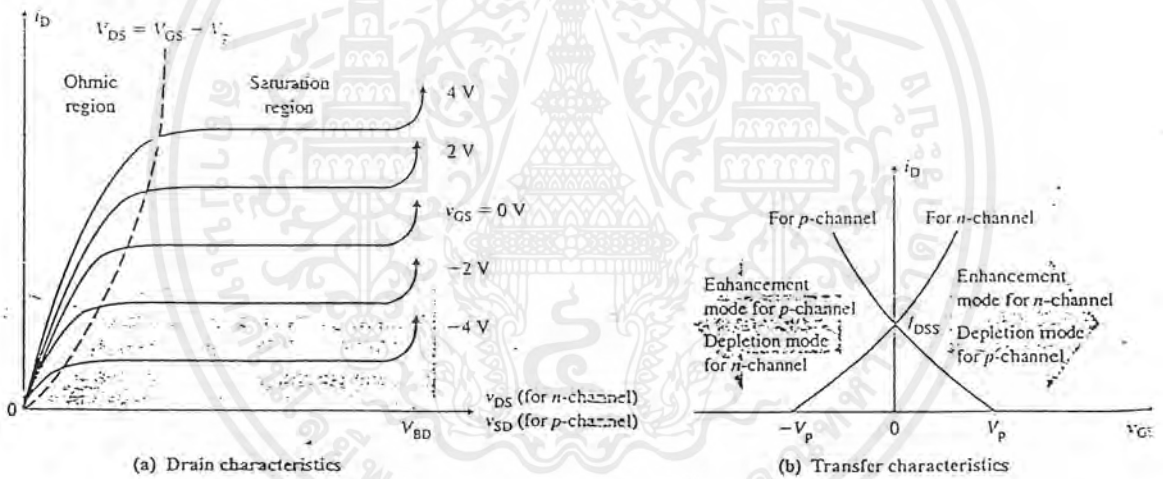
เอกสารนี้เป็นเอกสารที่สงวนไว้สำหรับการใช้งานเพื่อการศึกษาเท่านั้น ไม่อนุญาตให้นำไปใช้ประโยชน์ด้านการค้า ไม่ว่าจะกรณีใดๆ ทั้งสิ้น อีกทั้งห้ามมิให้ตัดแปลงเนื้อหาและต้องอ้างอิงถึงเจ้าของเอกสารทุกครั้งที่มีการนำไปใช้

สมการนี้แสดง ลักษณะสมบัติการถ่ายโอน ดังรูป 2.10 (b) ของทั้ง เอ็น และ พี แชนแนล ถ้าแก้สมการหาค่า V_{GS} จะมีค่า 2 ค่า คือ $V_{GS} > V_p$ สำหรับ เอ็น-แชนแนล และ $V_{GS} < V_p$ สำหรับ พี-แชนแนล

และเส้น พื้นช้อฟโวลต์ส เป็นขอบเขตระหว่าง โอมห์มิก และ อิ่มตัว หาได้โดยการแทน $V_{GS} = V_{DS} + V_p$

$$I_D = K_p (V_{DS} + V_p - V_p)^2 = K_p (V_{DS})^2$$

ย่านคัทออฟ คือย่านที่ $V_{GS} < V_p$ สำหรับ เอ็น-แชนแนล และตรงข้ามสำหรับ พี-แชนแนล ซึ่ง $I_D = 0$



รูปที่ 2.10 กราฟการถ่ายโอนของ คิพลิตซ์น มอสเฟ็ท

2.2 รูปแบบจำลองของมอสเฟ็ท(FET Model)

เนื่องจาก มอสเฟ็ทเป็นอุปกรณ์ที่ถูกควบคุมด้วยแรงดัน วงจร เอ็นมอส ซึ่งไบอัสใช้งาน ในย่านอิ่มตัว แสดงดังรูป 2.11(a) เมื่อใช้ KVL รอบลูป ครน-ซอส จะได้

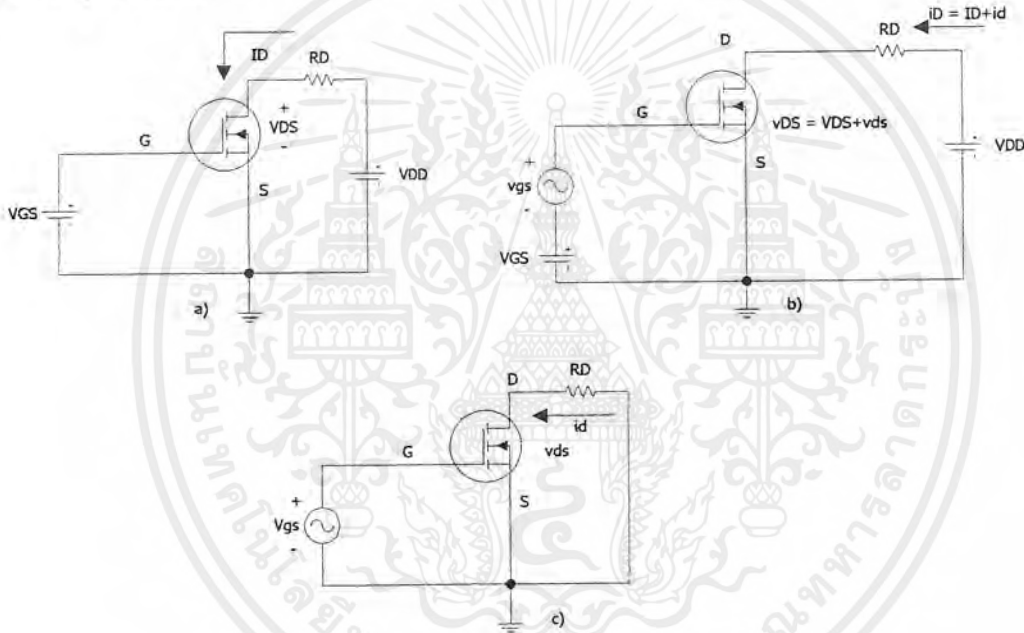
$$V_{DD} = V_{DS} + R_D I_D$$

เอกสารนี้เป็นเอกสารที่สงวนไว้สำหรับการใช้งานเพื่อการศึกษาเท่านั้น ไม่อนุญาตให้นำไปใช้ประโยชน์ด้านการค้า ไม่ว่าจะกรณีใดๆ ทั้งสิ้น อีกทั้งห้ามมิให้ตัดแปลงเนื้อหาและต้องอ้างอิงถึงเจ้าของเอกสารทุกครั้งที่มีการนำไปใช้

$$I_D = \frac{V_{DD}}{R_D} - \frac{V_{DS}}{R_D} \quad \text{ซึ่งเป็นตัวอธิบายโพลิตายน์}$$

ถ้าสมมติว่ากระแสครน, แรงดันคร่อมครน-ซอสและแรงดันคร่อมเกต-ซอสมีค่าเริ่มต้นอยู่ค่าหนึ่ง คือ I_D , V_{DS} และ V_{GS} ตามลำดับในวงจร เฟ็ท แอมพลิฟายเออร์ สัญญาณอินพุตไฟสลับ จะปรากฏขึ้นอยู่ที่แรงดันเกต ซึ่งจะทำให้เกิดการเปลี่ยนแปลงแรงดัน V_{DS} และ I_D นั่นคือถ้าแรงดันเกต-ซอส มีการเปลี่ยนแปลงเล็กน้อย

$V_{GS} = V_{GS} + v_{gs}$ จะทำให้เกิด $V_{DS} = V_{DS} + v_{ds}$ และ $i_D = I_D + i_d$ สถานะดังกล่าวนี้แสดงในรูป 2.11 (b)

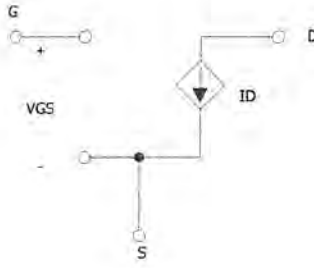


รูป 2.11 เอ็นมอสที่มีอินพุตเป็นสัญญาณขนาดเล็ก (Small signal) ; v_{gs}

a). สัญญาณไฟตรง b). สัญญาณขนาดเล็ก และ ไฟตรง c). สัญญาณขนาดเล็กอย่างเดียว

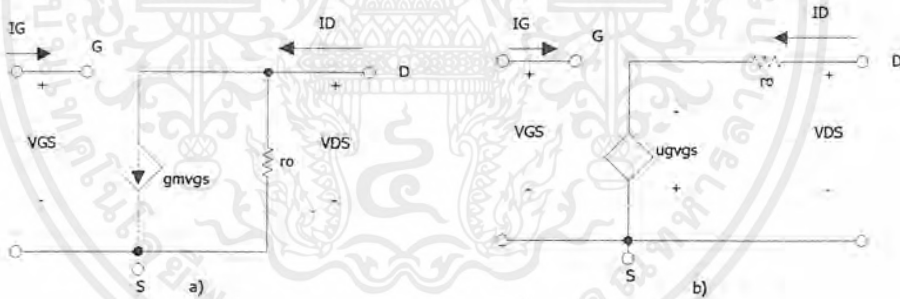
ถ้าค่าของ i_d , v_{ds} และ v_{gs} มีค่าน้อย รูป 2.10(b) สามารถแทนได้ด้วย วงจรสมอลซิกแนล ดังรูป 2.11 (c) เพราะฉะนั้นจึงจำเป็นต้องมี รูปแบบจำลอง 2 แบบ คือ รูปแบบจำลองคิซี และ รูปแบบจำลองเอซี

รูปแบบจำลองคิซี สัญญาณขนาดใหญ่ของเฟ็ทไม่ลิเนียร์ รูปกราฟความสัมพันธ์เป็นของ I_D , V_{DS} และ V_{GS} ที่ค่า V_{GS} ต่าง ๆ กัน ใช้อธิบาย สัญญาณขนาดใหญ่ของ เฟ็ท



รูป 2.12 รูปแบบจำลองของเอ็น-แชนแนลมอสเฟต

รูปแบบจำลองสำหรับสัญญาณขนาดเล็ก พฤติกรรมของมอสเฟต ในรูป 2.12 ต่อ สมอลซิกแนล สามารถแทนได้โดย วงจรสมมูลย์สมอลซิกแนลเอชี่ ประกอบด้วย V_{cc} , $g_m V_{gs}$ ในลักษณะขนานกับ ความต้านทานเอาท์พุท r_o (ความชันของกราฟ $i_D - V_{DS}$) วงจรนี้แสดงได้ดังรูป 2.13 (a) เนื่องจากกระแสเกต i_g ของ เฟต มีค่าน้อยมากจนเกือบเป็นศูนย์ ดังนั้นปลายเกต-ซอส จึงเหมือนเปิดวงจร



รูป 2.13 แบบจำลองสำหรับสัญญาณขนาดเล็ก a). สมมูลย์นอร์ตัน b). สมมูลย์เทวินิน

ใช้ความสัมพันธ์ของเทวินินและนอร์ตัน จะสามารถเปลี่ยนแหล่งจ่ายกระแสเป็นแรงดันได้ ดังรูป 2.13 (b) โดย

$$V_{ds} = i_d r_o - r_o g_m V_{gs} = i_d r_o - \mu_g V_{gs}$$

μ_g คือ เกนของแรงดันเปิดวงจรของ เฟต มีค่าเท่ากับ $r_o g_m$

g_m คือ ค่าทรานส์คอนดักแตนซิเจนของ เฟต ค่าทั้งหมดนี้ขึ้นอยู่กับ จุดทำงาน

(V_D, I_D)

เอกสารนี้เป็นเอกสารที่สงวนไว้สำหรับการใช้งานเพื่อการศึกษาเท่านั้น ไม่อนุญาตให้นำไปใช้ประโยชน์ด้านการค้า ไม่ว่าจะกรณีใดๆ ทั้งสิ้น อีกทั้งห้ามมิให้ตัดแปลงเนื้อหาและต้องอ้างอิงถึงเจ้าของเอกสารทุกครั้งที่มีการนำไปใช้

ความต้านทานสมอลซิกแนลทางเอาต์พุต ; r_o คือส่วนกลับของความชันในกราฟ $i_D - V_{DS}$ ในช่วง ฟีนซ์ออฟ หรือ ย่านอิ่มตัว ค่า r_o สามารถหาได้โดยประมาณเท่ากับ

$$r_o \approx \left| \frac{V_M}{I_D} \right| = \frac{1}{\lambda I_D}$$

V_M คือ แรงดันเซนแนลมอดูเลชัน(channel modulation voltage) = $\frac{1}{\lambda}$

λ คือ ความยาวเซนแนลมอดูเลชัน(channel modulation length)

ค่า V_M เป็นบวกสำหรับ พี-เซนแนลและเป็นลบสำหรับเอ็น-เซนแนล ค่าโดยทั่วไป 100

V.

ทรานส์คอนดักแตนซ์ ; g_m คือ ความชันของลักษณะสมบัติการถ่ายโอน ($i_D - V_{GS}$)

$$g_m = \left. \frac{\delta i_D}{\delta V_{GS}} \right|_{V_{DS} = \text{constant}}$$

สมมติว่า $i_D = I_{D1} V_{GS} = V_{GS} \cdot V_{DS} = V_{DS}$

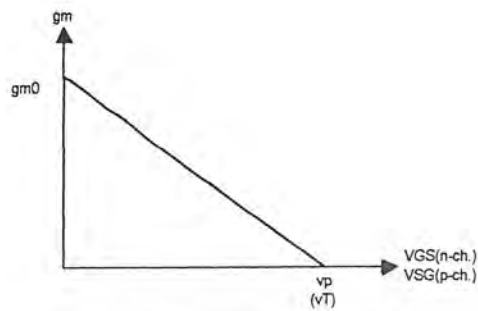
$$g_m = K_p (V_{GS} - V_t) = g_{mo} \left(1 - \frac{V_{GS}}{V_t} \right); \text{ สำหรับ เอ็นฮานซ์เมนต์ มอสเฟต}$$

ส่วนดีพลีชัน มอสเฟต

$$g_m = 2K_p (V_{GS} - V_p) = g_{mo} \left(1 - \frac{V_{GS}}{V_p} \right)$$

$$; g_{mo} = -2K_p V_p = -\frac{2I_{DSS}}{V_p}$$

ค่า g_{mo} คือค่าทรานส์คอนดักแตนซ์ เมื่อ $V_{GS} = 0$ และเปลี่ยนแปลงอย่างคงที่กับ V_{GS} ดังรูป 2.14 โดยค่า $V_p = V_t$ สำหรับ เอ็นฮานซ์เมนต์ มอสเฟต



รูป 2.14 การเปลี่ยนแปลงของค่าทรานส์คอนดักแตนซ์และแรงดันเกต-ซอสของอินฮานซ์เมนต์และดีพลีชัน มอสเฟ็ท



เอกสารนี้เป็นเอกสารที่สงวนไว้สำหรับการใช้งานเพื่อการศึกษาเท่านั้น ไม่อนุญาตให้นำไปใช้ประโยชน์ด้านการค้า
ไม่ว่ากรณีใดๆ ทั้งสิ้น อีกทั้งห้ามมิให้ดัดแปลงเนื้อหาและต้องอ้างอิงถึงเจ้าของเอกสารทุกครั้งที่มีการนำไปใช้

บทที่ 3

วงจรรขยายทรานซิสเตอร์ (TRANSISTOR AMPLIFIER)

ทรานซิสเตอร์สามารถนำมาต่อกับอุปกรณ์อื่นๆ เป็นวงจรรขยายให้มีเกนแรงดันหรือค่าความต้านทานเอาต์พุต/อินพุตที่สูงหรือต่ำได้ ตามรูปแบบการต่อวงจร วงจรรขยายพื้นฐานมีอยู่ 3 แบบด้วยกันคือ 1.คอมมอนซอส 3.คอมมอนเดรน 3.คอมมอนเกต ซึ่งชื่อก็เป็นไปตามความสัมพันธ์ของพอร์ตอินพุต/เอาต์พุต สิ่งสำคัญที่จะต้องพิจารณา คือ เกนการขยาย, ความต้านทานอินพุต และความต้านทานเอาต์พุต

3.1 การไบอัสเฟ็ท

ความจำเป็นในการไบอัสเฟ็ท ให้มีจุดทำงานที่คงที่เพื่อจุดไบอัสจะไม่เกิดการเปลี่ยนแปลงมากนัก เมื่อพารามิเตอร์ของเฟ็ท เปลี่ยนไป เมื่อกำหนดให้ V_{GS} คงที่ ๆ ค่าหนึ่ง จะทำให้ i_D คงที่ด้วย ค่า V_{DS} นั้นขึ้นอยู่กับค่า i_D ตาราง 3.1 แสดงพารามิเตอร์และทรานส์เฟอร์แควนซีติคของเฟ็ท ต่างๆ

	n-channel			p-channel		
	Enhancement MOSFET	Depletion MOSFET	JFET	Enhancement MOSFET	Depletion MOSFET	JFET
K_p	$\frac{\mu_n C_{ox} W}{L}$	$\frac{\mu_n C_{ox} W}{L}$	$\frac{I_{DSS}}{V_p^2}$	$\frac{\mu_n C_{ox} W}{L}$	$\frac{\mu_n C_{ox} W}{L}$	$\frac{I_{DSS}}{V_p^2}$
V_t	+	-	-	-	+	+
V_{GS}	$> V_t$	$> V_p$	$> V_p$	$< V_t$	$< V_p$	$< V_p$
V_{DS}	+	-	+	-	-	-
i_D	+	+	+	-	+	+
V_{OD}	+	+	+	-	-	-
$\lambda = 1/V_{A1}$	+	-	+	-	-	-

In the ohmic (or triode) region, $i_D = K_p [2(V_{GS} - V_t)V_{DS} - V_{DS}^2]$, where $V_{DS} < (V_{GS} - V_t)$ for n channel and $V_{DS} > (V_{GS} - V_t)$ for p channel.
 In the saturation region, $i_D = K_p (V_{GS} - V_t)^2$, where $V_{DS} \geq (V_{GS} - V_t)$ for n channel and $V_{DS} \leq (V_{GS} - V_t)$ for p channel. Note: $V_p = -V_t$.

ตาราง 3.1

เอกสารนี้เป็นเอกสารที่สงวนไว้สำหรับการใช้งานเพื่อการศึกษาเท่านั้น ไม่อนุญาตให้นำไปใช้ประโยชน์ด้านการค้าไม่ว่ากรณีใดๆ ทั้งสิ้น อีกทั้งห้ามมิให้ตัดแปลงเนื้อหาและต้องอ้างอิงถึงเจ้าของเอกสารทุกครั้งที่มีการนำไปใช้

วงจรที่แสดงในรูป 3.1 (a) ความต่างศักย์ที่ขอสเปลี่ยนเป็นสัดส่วนกับ i_D และศักย์ที่ V_G ถูกกำหนดที่ค่า ๆ หนึ่ง โดย R_1 และ R_2 เนื่องจาก i_G มีค่าน้อยมาก ($i_G \approx 0$) ดังนั้น

$$V_{GS} = V_G - R_G i_G - R_{sr} i_D = V_G - R_{sr} i_D$$

; R_{sr} คือ ความต้านทาน ด้านขอสของ เฟ็ท

จุดตัดของโหลดคลายน์กับกราฟทรานส์เฟอ์ คือจุดทำงาน ดังรูป 3.1(b) การออกแบบบางประเภทเส้นโหลดคลายน์ สามารถถูกทำให้เกือบจะเป็นแนวอน และการเปลี่ยนแปลงของ i_D เนื่องจากการเปลี่ยนแปลง ลักษณะสมบัติของทรานซิสเตอร์ก็จะถูกทำให้ต่ำลง

จากรูป 3.1 (c)

$$V_G = \left(\frac{V_{DD} R_2}{R_1 + R_2} \right)$$

$$R_G = \frac{R_1 R_2}{R_1 + R_2}$$

สำหรับ เอ็นมอส ทั้ง i_D และ V_{GS} เป็นบวก ซึ่ง V_{GS} จะเป็นบวกถ้า

$$V_{GS} < i_D R_{sr} \quad \text{ทำให้}$$

$$\frac{V_{DD}}{1 + R_1/R_2} < i_D R_{sr}$$

ถ้า R_2 มีค่ามากและ $R_2 \rightarrow \infty$ ก็สามารถละ R_2 ออกได้ และรูปวงจรจะถูกแปลงเป็นรูป

3.1 (d)

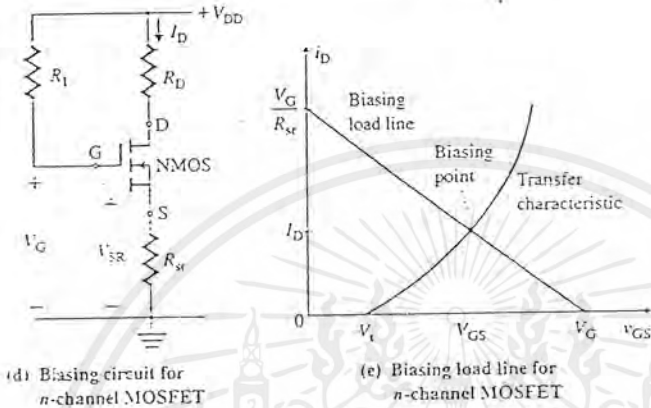
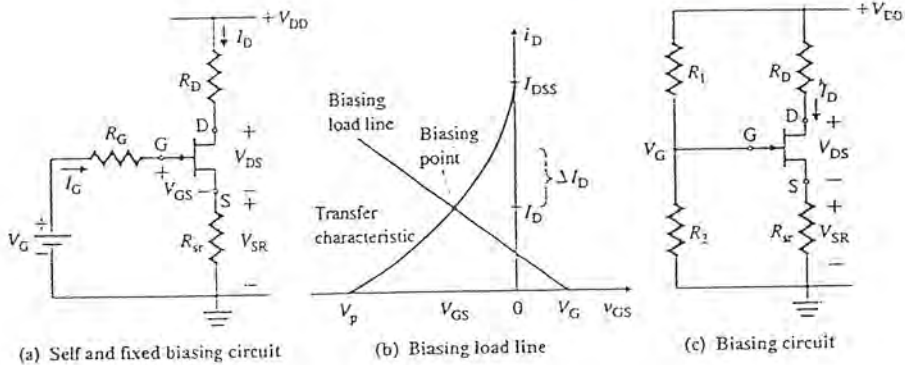
3.2 วงจรขยายคอมมอนซอส(Common Source Amplifier)

วงจรคอมมอนซอสให้ค่าเกนของแรงดันและกระแสสูง มีการกลับเฟสและค่าค.ต.ท.อินพุต, เอาท์พุทมีค่าปานกลาง ดังรูป 3.2(a) เป็นตัวอย่างที่มีค่า $k = 0.5 \times 10^{-3} \text{ A/V}^3$ และ $V_t = 3 \text{ V}$

รูป 3.2(b) และ (c) เป็นวงจรสำหรับสมอลซิกแนลและวงจรเสมือน ซึ่งแสดงไว้ว่า ขอสถูกทำเป็นคอมมอนต่ออินพุตและเอาท์พุทโดยบายพาสคาปาซิเตอร์ เมื่อเปรียบเทียบกับ คอมมอนอิมิตเตอร์ วงจรเสมือนจะมีลักษณะคล้ายกัน ซึ่งเป็นผลต่อสมการของเกน, ค่า ค.ต.ท. อินพุต/เอาท์พุทด้วย

$$\text{โดย } A_v = (-gmR_L) \frac{R_D}{R_D + R_L}$$

เอกสารนี้เป็นเอกสารที่สงวนไว้สำหรับการใช้งานเพื่อการศึกษาเท่านั้น ไม่อนุญาตให้นำไปใช้ประโยชน์ด้านการค้า ไม่ว่ากรณีใดๆ ทั้งสิ้น อีกทั้งห้ามมิให้ตัดแปลงเนื้อหาและต้องอ้างอิงถึงเจ้าของเอกสารทุกครั้งที่มีการนำไปใช้



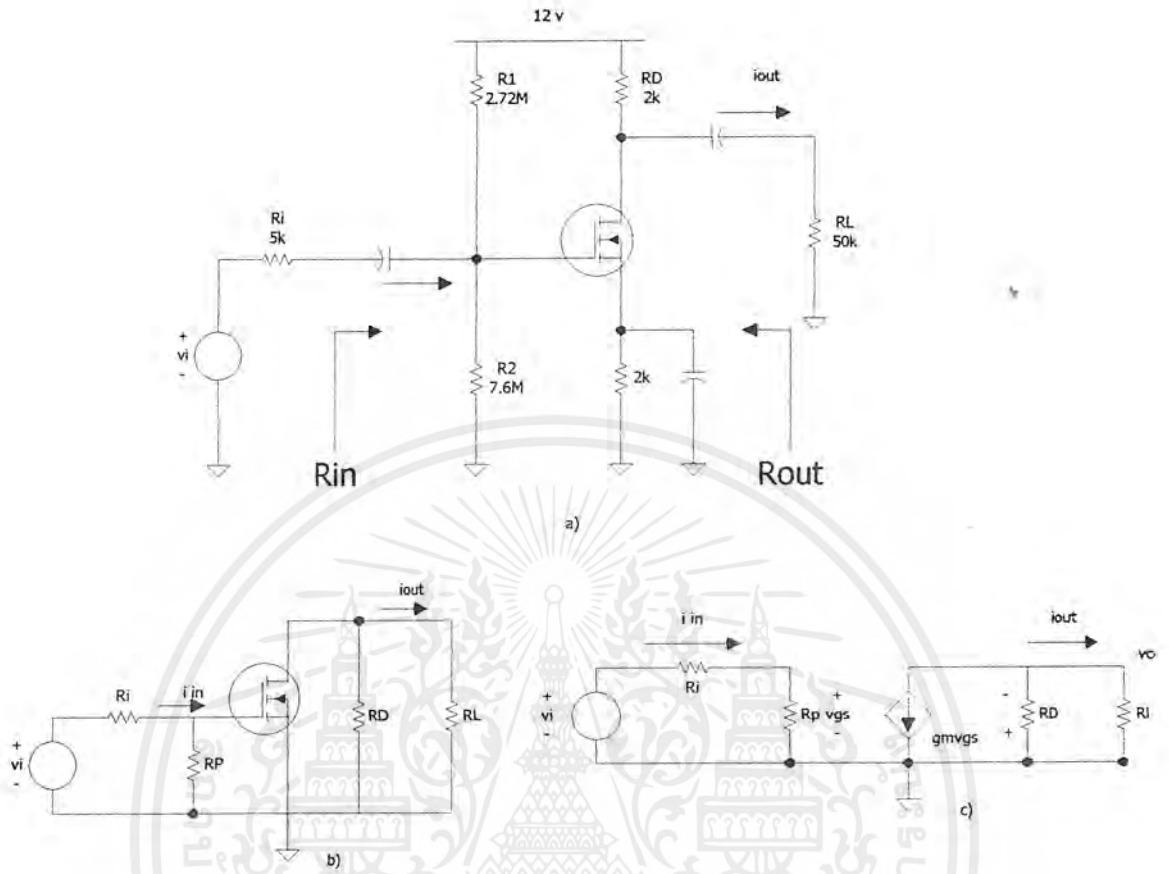
รูป 3.1 วงจรไบอัสของมอสเฟต

และ $A_v = (-gmR_p) \frac{R_D}{R_D + R_L}$ ค่า gmR_p คือเกนกระแส

เนื่องจาก ค.ต.ท. อินพุตของมอสเฟตเป็นอนันต์ ดังนั้นเกนกระแสของวงจรจึงเป็นอนันต์ด้วย จากสมการเกนกระแสพบว่าถูกจำกัดด้วยค่า R_p เนื่องจากการจัดไบอัส ทำให้ $R_{in} = R_p$ ส่วน ค.ต.ท. เอาท์พุท $R_{out} = r_o \parallel R_D ; R_{out} \approx R_D$ ถ้าให้ $r_o \rightarrow \infty$
รูป 3.2(b) และ (c) เป็นวงจรสำหรับ สมอลซิกแนล และวงจรเสมือน ซึ่งแสดงไว้ว่า ขอสถูกทำเป็นคอมมอนต่ออินพุตและเอาท์พุท โดยบายพาสคาปาซิเตอร์ ซึ่งเป็นผลต่อสมการของเกน,ค่าค.ต.ท. อินพุต/เอาท์พุท ด้วย

โดย $A_v = (-gmR_L) \frac{R_D}{R_D + R_L}$

เนื่องจาก มอสเฟต มีค่า ค.ต.ท. อินพุตสูงทำให้เป็นผลดีจากการเกิด อินพุทโหลดคั้ง

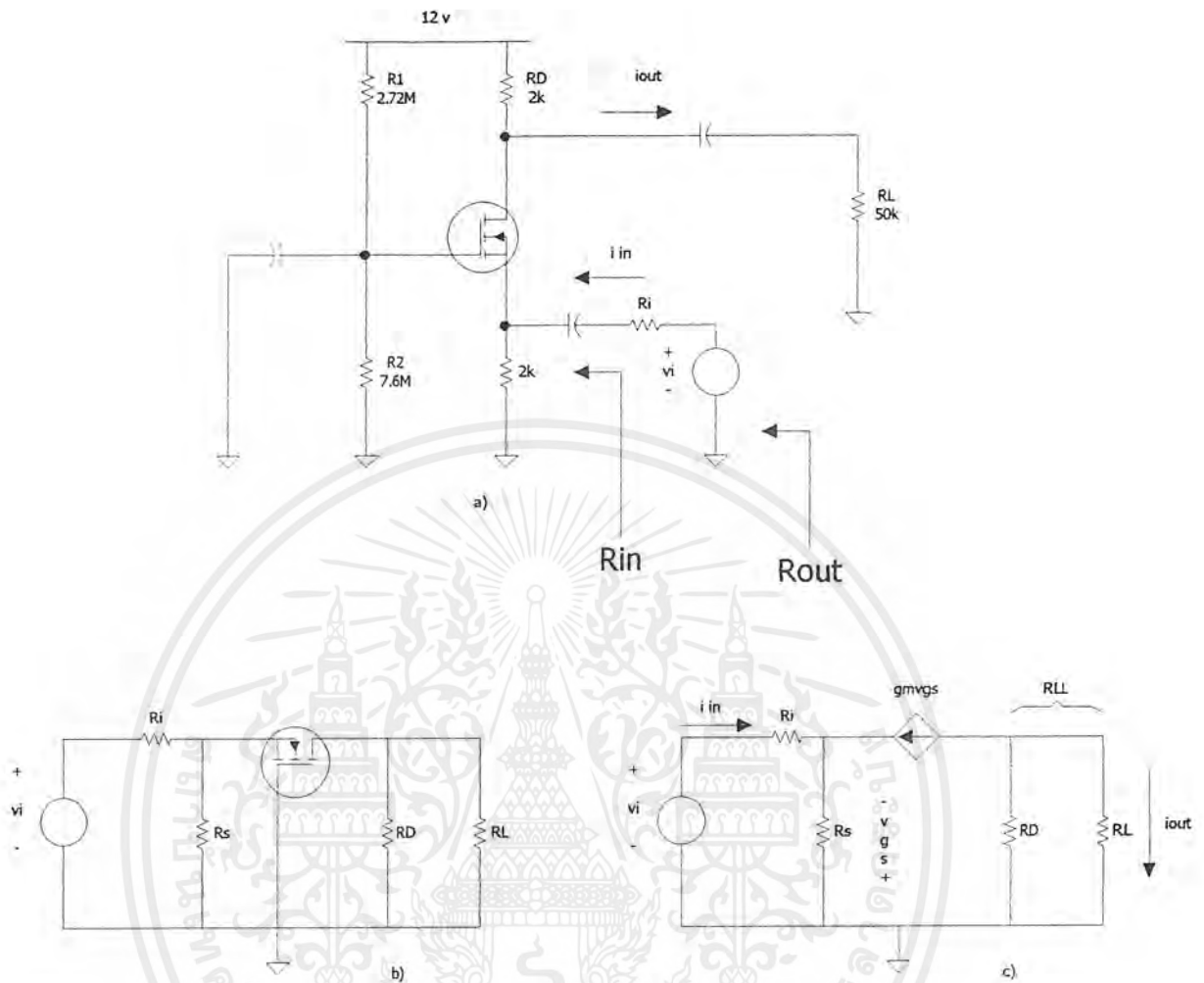


รูปที่ 3.2 คอมมอนซอสแอมพลิไฟเออร์

a). รูปวงจร b). รูปวงจร สมอลซิกแนล c). สมมูลย์ สมอลซิกแนล

3.3 วงจรขยายคอมมอนเกต

จากการจัดไบอัสให้วงจรคอมมอนเกตดังรูป 3.3(a) จะมีบายพาสคาปาซิเตอร์ต่อจากเกตไปยังกราวนด์ สัญญาณ v_i ผ่านคัปปลิงคาปาซิเตอร์เข้าสู่ซอส และยังโหลด R_L ต่อเข้ากับขาเดรน สำหรับ สมอลซิกแนล เราจะแทนแหล่งจ่าย, บายพาสคาปาซิเตอร์และคัปปลิงคาปาซิเตอร์ โดยการลัดวงจร ดังรูป 3.3 (b) และ 3.3 (c) คือวงจรสมมูลย์ สมอลซิกแนล



รูปที่ 3.3 คอมมอนเกตแอมพลิไฟเออร์

a). รูปวงจร b).รูปวงจร สมอลซิกแนล c).สมมูลย์ สมอลซิกแนล

ในการวิเคราะห์เราจะใช้วงจรในรูป 3.3 (a) ซึ่งจะแสดงคุณสมบัติทางด้านไอซี ได้ดีกว่า เราจะสมมติว่าทรานซิสเตอร์ถูกไบอัสให้อยู่ในย่านอิมิตัว การหาสมการของเกนกระแสและแรงดัน และ ค.ต.ท. อินพุตสามารถหาได้จากรูป 3.3 (b) แต่เราจะใช้เทคนิคบางประการ ซึ่งเหมาะกับวงจรที่มีความซับซ้อน โดยเปลี่ยนเป็นรูป 3.3 (d) แทน ซึ่งเหมือนกันทุกประการ จะได้โวลเตจเกนดังนี้

$$A_v = \frac{V_o}{-V_{gs}} = -\frac{(g_m V_{gs})}{-V_{gs}} R_L = g_m R_L$$

ซึ่งเหมือนกันกับ คอมมอนซอส แต่ไม่มีการกลับเฟส ส่วนเกนกระแส

เอกสารนี้เป็นเอกสารที่สงวนไว้สำหรับการใช้งานเพื่อการศึกษาเท่านั้น ไม่อนุญาตให้นำไปใช้ประโยชน์ด้านการค้า ไม่ว่าจะกรณีใดๆ ทั้งสิ้น อีกทั้งห้ามมิให้ตัดแปลงเนื้อหาและต้องอ้างอิงถึงเจ้าของเอกสารทุกครั้งที่มีการนำไปใช้

$$A_i = \frac{i_{out}}{i_{in}} = \frac{-g_m v_{gs}}{i_{in}} = \frac{-g_m [-i_{in} (1/g_m)]}{i_{in}} = 1$$

ค.ต.ท. อินพุท $R_{in} = 1/g_m$ จากรูป 3. 3 (c) พบว่าเป็นลักษณะที่พิเศษของวงจร คอมมอนเกต ซึ่ง ค.ต.ท. ค่าค่าก็เหมาะสมในบางกรณี

ในการหาค่า ค.ต.ท. เอาท์พุท เราจะคิดรวม r_o ด้วย จากรูป 3.4 เมื่อปิดอินพุท และใช้แรงดันทดสอบที่เอาท์พุทจะได้

$$i_{test} = g_m v_{gs} + \frac{v_{test} - (-v_{gs})}{r_o}$$

เนื่องจาก i_{test} ไหลผ่าน R_i , $v_{gs} = -i_{test} R_i$ จะได้ v_{test} / i_{test}

$$R_{out} = r_o (1 + g_m R_i) + R_i \approx r_o (1 + g_m R_i)$$

แสดงว่าค่า มีค่ามากกว่า สรุปว่า วงจรขยายคอมมอนเกต มีโวลเตจเกนสูง และค.ต.ท.เอาท์พุทสูง เกนกระแสเป็นหนึ่งและค.ต.ท.อินพุทต่ำ

3.4 วงจรขยายคอมมอนเดรน

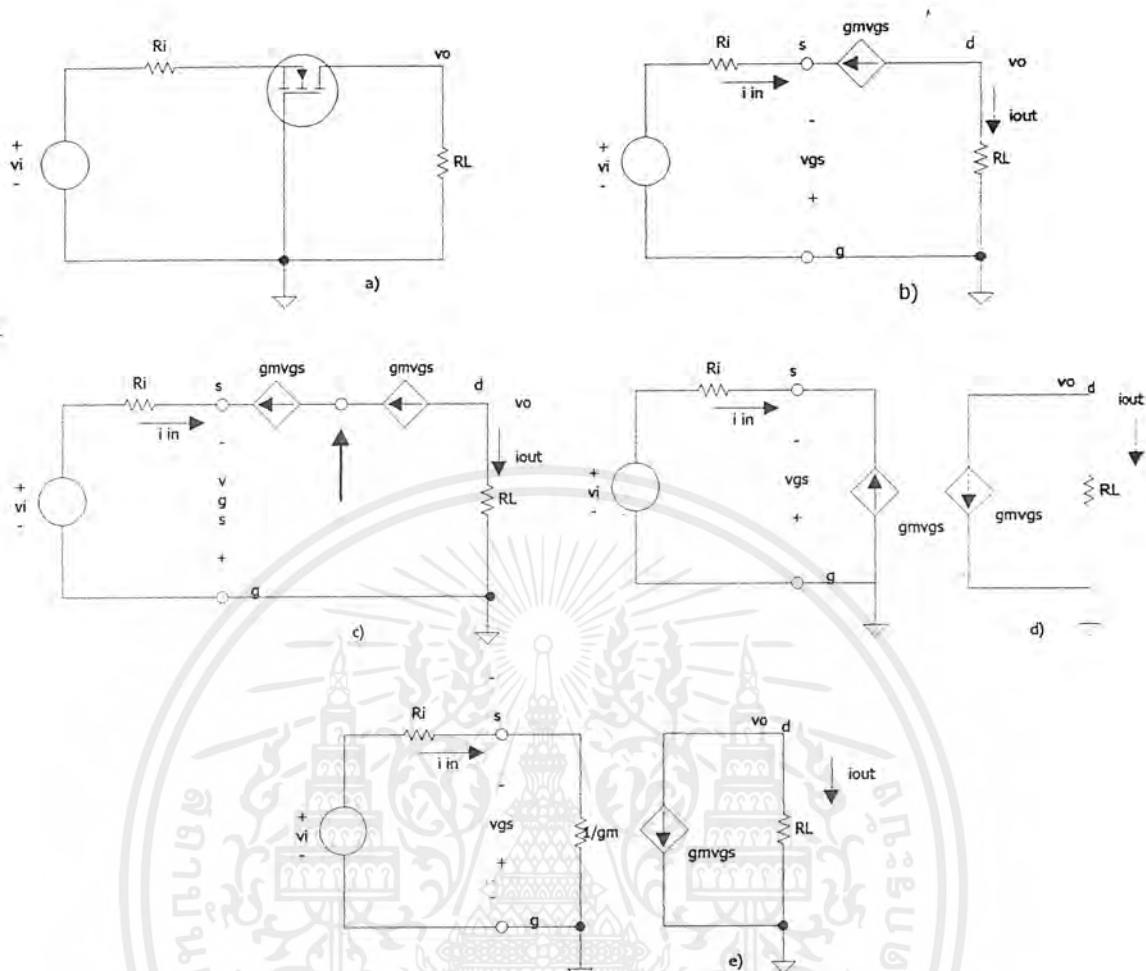
รูปที่ 3.6 (a) เป็นวงจร วงจรขยายคอมมอนเดรนหรือเรียกว่า ซอสฟอต โลเวอร์สัญญาณอินพุทป้อนเข้าที่เกตและเอาท์พุทออกที่ซอส สำหรับสมอลซิกแนลจะแสดงในรูป 3.6(b) โดย $R_p = R_1 || R_2$ โดยเดรนเป็นคอมมอนต่ออินพุทและเอาท์พุท และสมมติว่าทรานซิสเตอร์ทำงานในย่านอิมิตัว จากวงจรในรูป 3.6 (d)

$$R_{in} = \infty \text{ และ } A_i = \infty$$

ในการหาโวลเตจเกน สังเกตว่า $v_o = g_m v_{gs} R_L$ และ $v_{gs} = v_{in} - v_o$ แทนค่า v_{gs} ลงที่

$$A_v = \frac{v_o}{v_{in}} = \frac{v_o}{v_{gs}} = \frac{g_m R_L}{1 + g_m R_L}$$

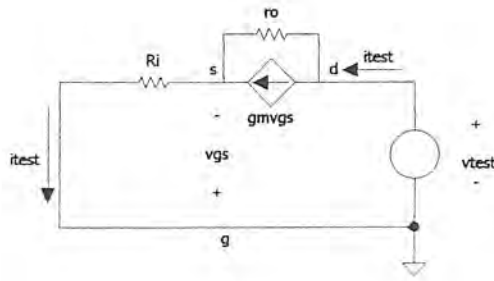
เอกสารนี้เป็นเอกสารที่สงวนไว้สำหรับการใช้งานเพื่อการศึกษาเท่านั้น ไม่อนุญาตให้นำไปใช้ประโยชน์ด้านการค้า ไม่ว่ากรณีใดๆ ทั้งสิ้น อีกทั้งห้ามมิให้ตัดแปลงเนื้อหาและต้องอ้างอิงถึงเจ้าของเอกสารทุกครั้งที่มีการนำไปใช้



รูป 3.4 คอมมอนเกตพื้นฐาน

- a). วงจรสมอดซิกแนล b) สมมูลย์สมอดซิกแนล c) ผลของการเพิ่มแหล่งจ่ายกระแสอนุกรมที่เหมือนกัน d). คอ โหนดใหม่ลงกราวน์ e). วงจรสมมูลย์อีกรูปแบบหนึ่ง

เอกสารนี้เป็นเอกสารที่สงวนไว้สำหรับการใช้งานเพื่อการศึกษาเท่านั้น ไม่อนุญาตให้นำไปใช้ประโยชน์ด้านการค้า ไม่ว่าจะกรณีใดๆ ทั้งสิ้น อีกทั้งห้ามมิให้ตัดแปลงเนื้อหาและต้องอ้างอิงถึงเจ้าของเอกสารทุกครั้งที่มีการนำไปใช้



รูปที่ 3.5 วงจรที่ใช้ค่าความต้านทานเอาต์พุต

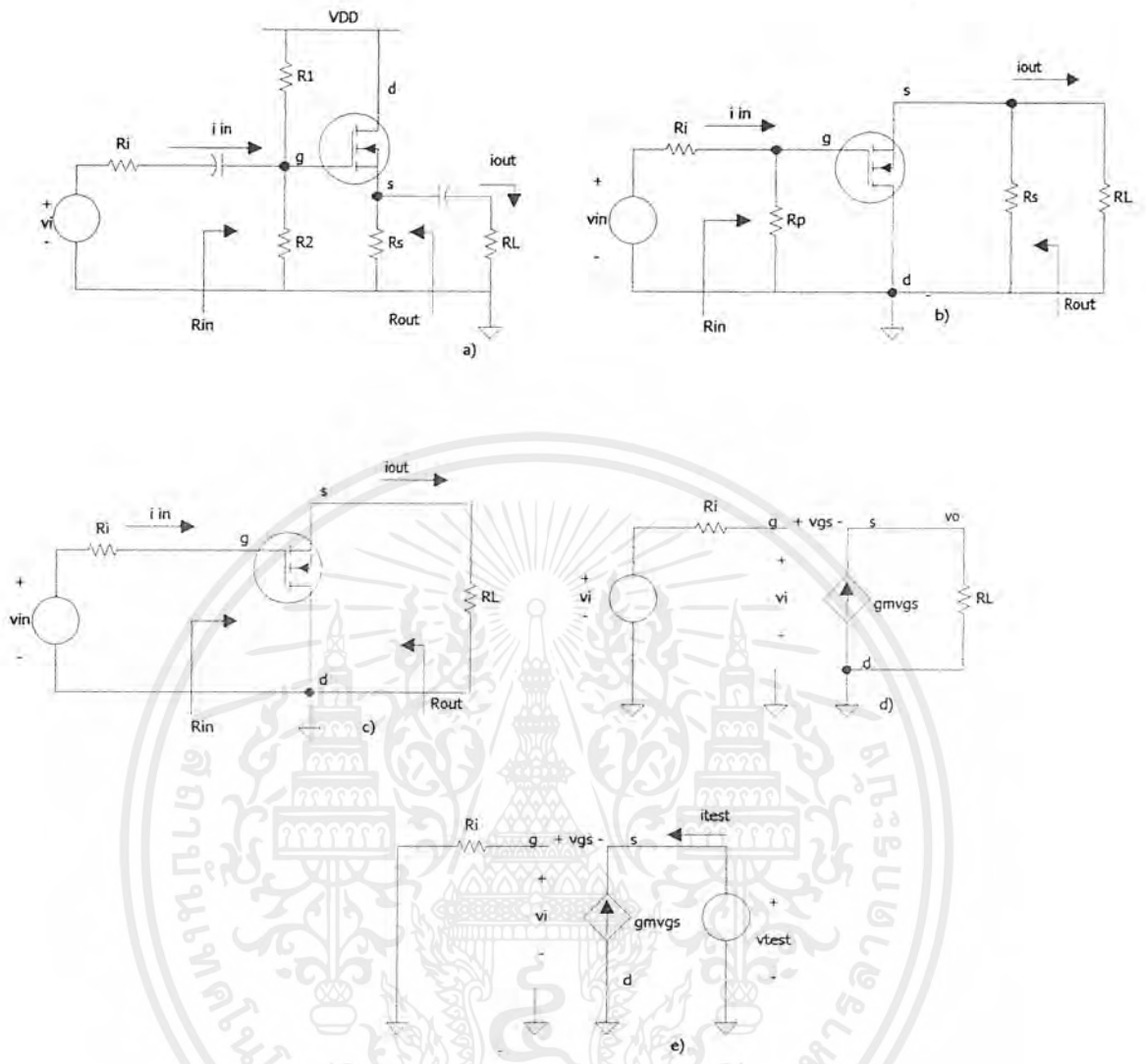
ซึ่งมีค่าน้อยกว่า 1 สำหรับ ค.ศ.ท. เอาต์พุต เราจะใช้วงจรในรูป 3.6 (c) ได้

$$i_{test} = -g_m(-v_{test}) \quad \text{หรือ}$$

$$r_{out} = \frac{1}{g_m} \quad \text{ซึ่งมีค่าต่ำและไม่ขึ้นอยู่กับ ค.ศ.ท. ที่ขอส ; } R, \text{ ดังเหตุได้จากรูป 3.6}$$

$$(b) \text{ ว่า } R_{out} = R_s \parallel \frac{1}{g_m}$$

เอกสารนี้เป็นเอกสารที่สงวนไว้สำหรับการใช้งานเพื่อการศึกษาเท่านั้น ไม่อนุญาตให้นำไปใช้ประโยชน์ด้านการค้า
ไม่ว่ากรณีใดๆ ทั้งสิ้น อีกทั้งห้ามมิให้ตัดแปลงเนื้อหาและต้องอ้างอิงถึงเจ้าของเอกสารทุกครั้งที่มีการนำไปใช้



รูปที่ 3.6 คอมมอนครนแอมพลิไฟเออร์ a). รูปวงจร b).รูปวงจร สมอลซิกแนล c). สมอลซิกแนลแบบ ไอซี d).สมมูลย์ สมอลซิกแนล e) วงจรใช้หาค่าความต้านทานเอาต์พุท

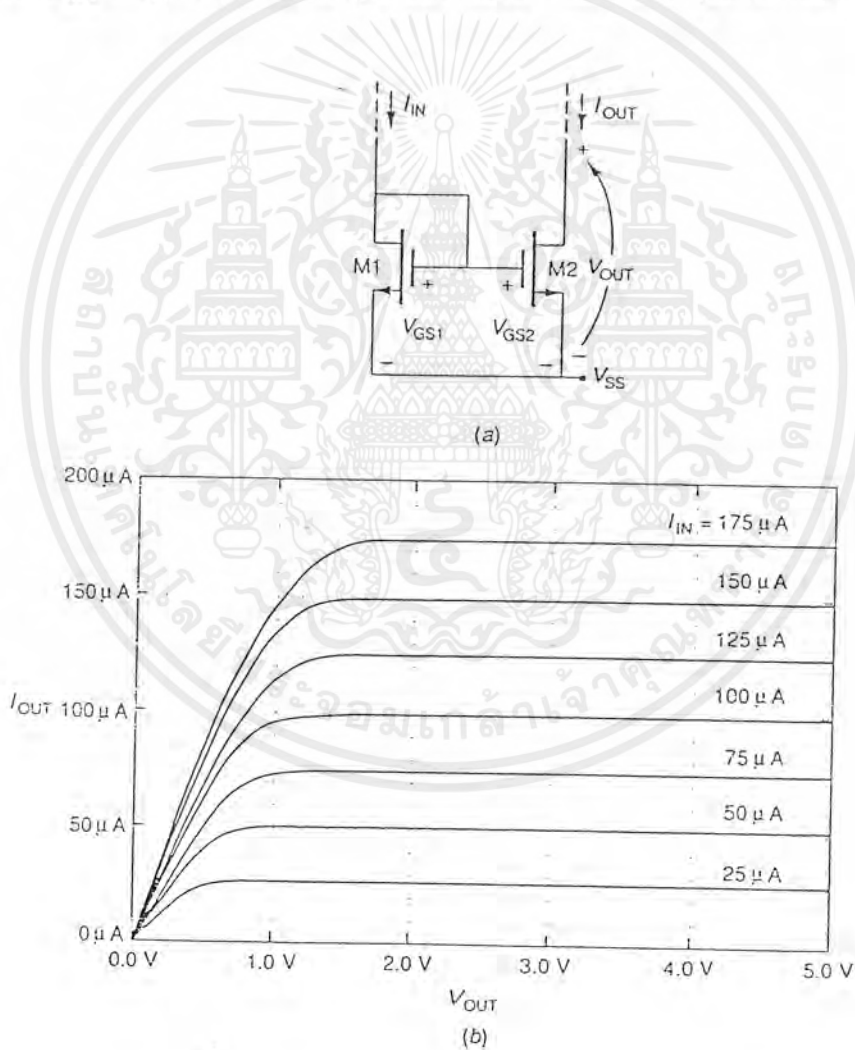
เอกสารนี้เป็นเอกสารที่สงวนไว้สำหรับการใช้งานเพื่อการศึกษาเท่านั้น ไม่อนุญาตให้นำไปใช้ประโยชน์ด้านการค้า ไม่ว่าจะกรณีใดๆ ทั้งสิ้น อีกทั้งห้ามมิให้ตัดแปลงเนื้อหาและต้องอ้างอิงถึงเจ้าของเอกสารทุกครั้งที่มีการนำไปใช้

บทที่ 4

แหล่งจ่ายกระแสแบบมอสเฟต(MOSFET Current Source)

4.1 แหล่งจ่ายกระแสแบบมอสเฟตพื้นฐาน

ด้วยหลักการเดียวกันกับ แหล่งจ่ายกระแสแบบไบโพลาร์สามารถนำมาประยุกต์ใช้กับมอสเฟตได้ ในบางกรณีสามารถคำนวณค่าของ มอส ได้ง่ายกว่า เนื่องจากไม่มีกระแสเบสหรือกระแสเกต ดังรูป 4.1a สังเกตว่าเมื่อ $V_{DS1} \geq V_t$ แล้ว M_1 จะอยู่ในย่านอิ่มตัวเสมอ เนื่องจาก $V_{DG1} = 0$ สมมติว่า V_{DS2} มากกว่า $V_{GS1} \geq V_{t1}$ ก็จะสามารถใช้ รูปแบบจำลองย่านอิ่มตัวแทน อุปกรณ์ทั้ง 2 ตัวได้



รูป 4.1 a). วงจรสะท้อนกระแสแบบมอสเฟต b). การทำงานของวงจรรูป a)

เอกสารนี้เป็นเอกสารที่สงวนไว้สำหรับการใช้งานเพื่อการศึกษาเท่านั้น ไม่อนุญาตให้นำไปใช้ประโยชน์ด้านการค้า ไม่ว่าจะกรณีใดๆ ทั้งสิ้น อีกทั้งห้ามมิให้ตัดแปลงเนื้อหาและต้องอ้างอิงถึงเจ้าของเอกสารทุกครั้งที่มีการนำไปใช้

ในการหาค่า $V_{GS} - V_t$ หาได้จากสมการ I_D

$$V_{GS1} - V_{t1} = \left[\frac{2L_1 I_{D1}}{K'_N W_1 (1 + \lambda_1 V_{DS1})} \right]^{1/2}$$

จากรูป เนื่องจาก M_1 และ M_2 สมมติให้เหมือนกันทุกประการ จะได้ว่า

$$\frac{I_{out}}{I_{in}} = \frac{I_{D2}}{I_{D1}} = \frac{K'_{N1} W_1 L_2 (1 + \lambda_2 V_{DS2})}{K'_{N2} W_2 L_1 (1 + \lambda_1 V_{DS1})}$$

จะพบว่า ผลของความยาวแชนแนล(channel length modulation effect) : λ มีผลต่อ วงจรสะท้อนกระแสแบบมอส และขนาดของ W และ L ของมอส ก็มีผลต่อเกนของ วงจรสะท้อนกระแส ในรูป 4.1b เป็นกราฟคุณลักษณะ $I - V$ ที่ใช้ค่า พารามิเตอร์ ดังนี้

$W = 50 \mu m, L = 10 \mu m, V_t = 0.75V, K'_N = 24 \mu A/V^2, Y_N = 0.8V^{-1/2}, \lambda = 0.01V$ และ $\phi = 0.6V$. รูปกราฟนี้แสดงให้เห็นว่าผลของค่า λ มีผลให้ความชันของกราฟเพิ่มขึ้นและไม่เป็นลักษณะทางอุดมคติค่าความชันนี้ ทำให้สามารถหาค่า ความต้านทานเอาต์พุต ได้โดย

$$r_{out} = \frac{V_{out}}{i_{out}} = r_{ds2} = \frac{1}{\lambda I_{out}}$$

ซึ่งหาก $I_{out} = 100 \mu A$ ค่า $r_o = 1M\Omega$

ถ้าต้องการ วงจรสะท้อนกระแส ที่มี ความต้านทาน เอาต์พุต ค่ามากๆสามารถทำได้โดยใช้วงจรดังรูป 4.2 โดย M_3, M_4 ทำหน้าที่ทำให้ค่า V_{DS1} และ V_{DS2} เท่า ๆ กัน ซึ่งเป็นการกำจัดผลของ λ ได้อย่างมาก M_4 จะเพิ่ม ความต้านทานเอาต์พุต ของวงจรสะท้อนกระแส วงจรนี้เรียกว่า วงจรสะท้อนกระแสแบบแคสโคดโคค (cascode current mirror) ถ้าไม่คิดผลของ มismatch ของ วงจรสะท้อนกระแสแบบแคสโคคหาได้โดย

$$\frac{I_{out}}{I_{in}} = \frac{(W_2 / L_2)}{(W_1 / L_1)}$$

เอกสารนี้เป็นเอกสารที่สงวนไว้สำหรับการใช้งานเพื่อการศึกษาเท่านั้น ไม่อนุญาตให้นำไปใช้ประโยชน์ด้านการค้า ไม่ว่ากรณีใดๆ ทั้งสิ้น อีกทั้งห้ามมิให้ตัดแปลงเนื้อหาและต้องอ้างอิงถึงเจ้าของเอกสารทุกครั้งที่มีการนำไปใช้

จากรูปกราฟคุณลักษณะ I-V ของวงจรในรูป 4.2(a) ถ้าใช้ค่า พารามิเตอร์ต่างๆ เท่ากับ วงจรสะท้อนกระแสธรรมดาจะพบว่าความต้านทานเอาต์พุตของวงจรสะท้อนกระแสแบบมอส คำนวณได้จาก แบบจำลองสมอลซิกแนล ในรูป 4.3 หาได้ดังนี้

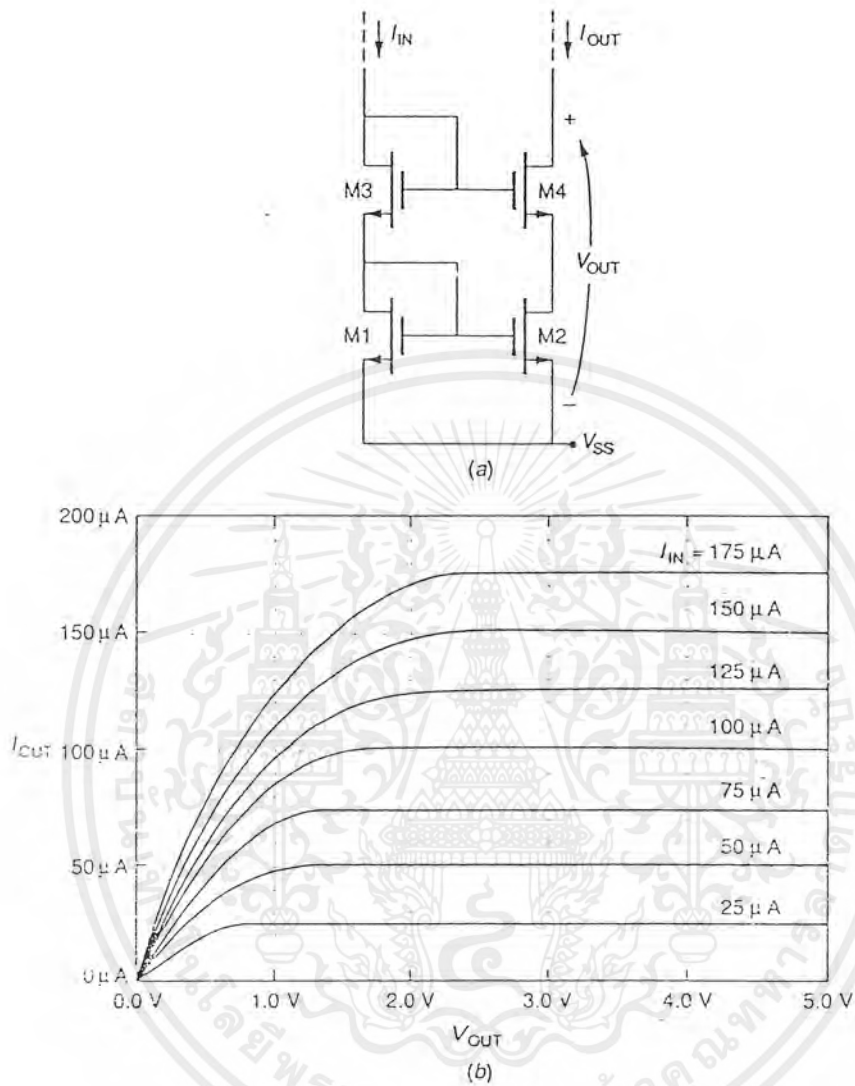
$$V_{out} = V_4 + V_2 = r_{ds4} [i_{out} + g_{mb4} V_2 - g_{m4} (V_3 + V_1 - V_2)] + V_2$$

$$r_{out} = r_{ds2} + r_{ds4} + r_{ds2} r_{ds4} g_{m4} (1 + \eta_4) \quad ; \quad \eta_4 = \frac{g_{mb4}}{g_{m4}}$$

เห็นได้ชัดเจนนว่า r_o เพิ่มขึ้นอีก $r_{ds4} g_{m4} (1 + \eta_4)$ ซึ่งถ้ากระแสเท่ากับ $100 \mu A$ จะให้ค่า $r_o = 155 M\Omega$

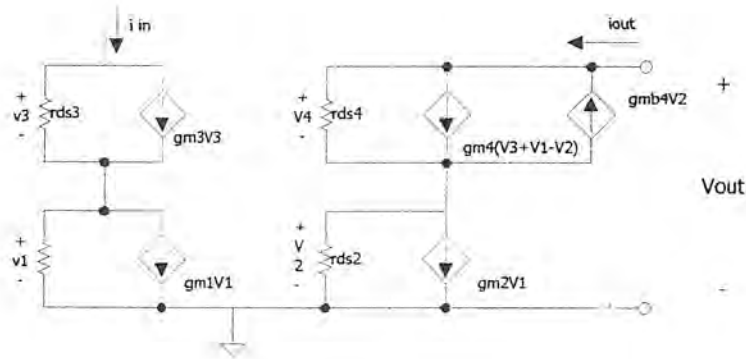


เอกสารนี้เป็นเอกสารที่สงวนไว้สำหรับการใช้งานเพื่อการศึกษาเท่านั้น ไม่อนุญาตให้นำไปใช้ประโยชน์ด้านการค้า
ไม่ว่ากรณีใดๆ ทั้งสิ้น อีกทั้งห้ามมิให้ตัดแปลงเนื้อหาและต้องอ้างอิงถึงเจ้าของเอกสารทุกครั้งที่มีการนำไปใช้



รูปที่ 4.2 a). วงจรสะท้อนกระแสแบบคาสโคด b). การทำงานของวงจรรูป a)

เอกสารนี้เป็นเอกสารที่สงวนไว้สำหรับการใช้งานเพื่อการศึกษาเท่านั้น ไม่อนุญาตให้นำไปใช้ประโยชน์ด้านการค้า
ไม่ว่ากรณีใดๆ ทั้งสิ้น อีกทั้งห้ามมิให้ตัดแปลงเนื้อหาและต้องอ้างอิงถึงเจ้าของเอกสารทุกครั้งที่มีการนำไปใช้



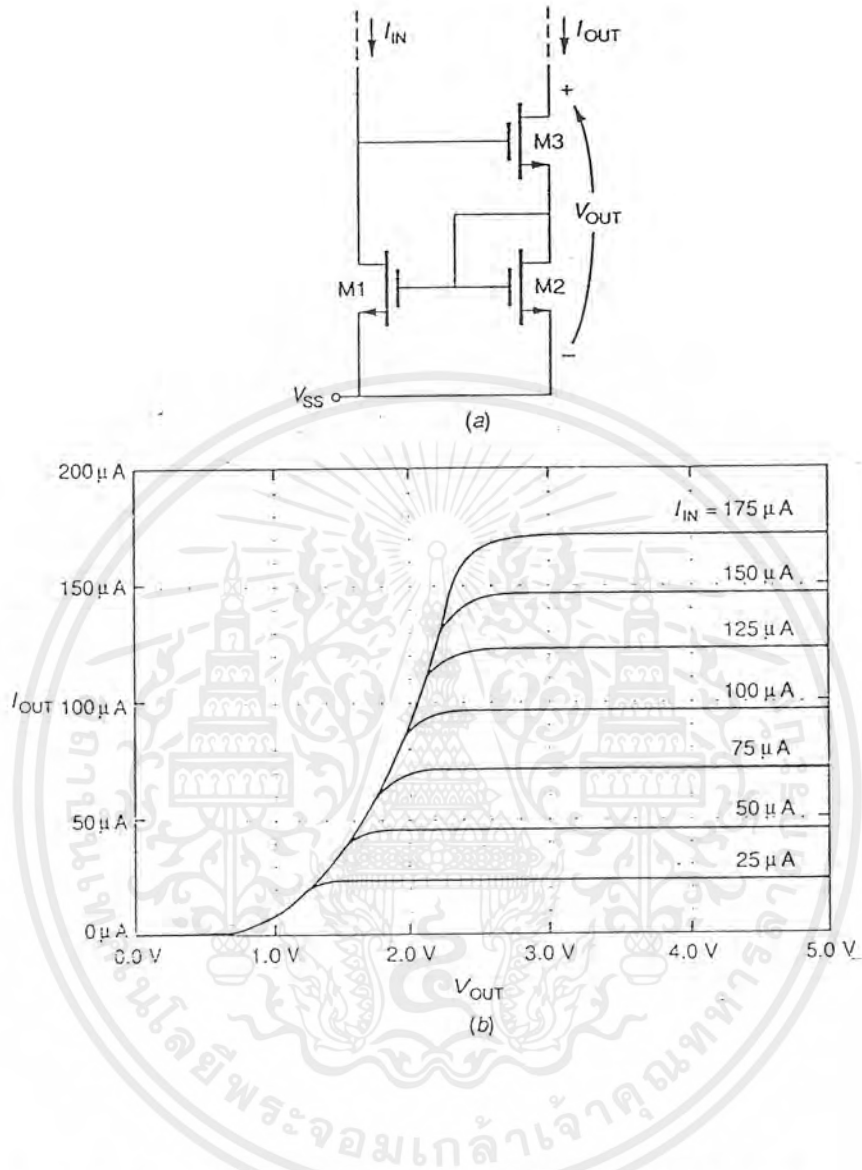
รูปที่ 4.3 โมเดล สมอลซิกแนล รูป 4.2 a)

4.2 วงจรสะท้อนกระแสแบบวิลสัน

เป็นวงจรสะท้อนกระแส อีกแบบหนึ่ง แสดงดังรูป 4.4 สมมติว่าใช้ W/L เท่ากัน สำหรับ มอสทุกตัวเท่ากับ $50\mu/10\mu$ เหมือนกับที่ผ่านมา สังเกตได้ว่าความชัน มีความราบมากกว่า วงจรสะท้อนกระแส ธรรมดา แสดงว่ามีค่า ความต้านทาน เอาท์พุท สูงกว่า แต่ไม่เหมาะกับกระแสขนาด ใหญ่ เนื่องจาก $V_{ds2} \neq V_{ds1}$ ทำให้เกิดผลจาก λ ทำให้ $I_{ds2} < I_{ds1}$ ซึ่งสามารถแก้ปัญหานี้ได้ถ้า นำ เอามอสที่เชื่อมขา เกรน-เกต มาต่อเข้าระหว่างเกรนของ M1 และเกตของ M3 ความต้านทาน ของ เอาท์พุท เมื่อหาแล้วจะพบว่า

$$r_o = r_{ds3} + r_{ds2} \left[\frac{1 + r_{ds} g_{m3} (1 + \eta_3) + g_{m1} r_{ds1} g_{m3} r_{ds3}}{1 + g_{m2} r_{ds2}} \right]$$

เห็นได้ว่าทั้ง วงจรสะท้อนกระแส แบบวิลสันและคาสโคด มีค่า r_o สูง แต่เงื่อนไขในการ ทำงานคือ จะต้องมีความดันอย่างน้อย 2 V (รวมที่ อินพุท)



รูป 4.4 a). วงจรสะท้อนกระแสแบบวิลสัน b). การทำงานของวงจรรูป a)

เอกสารนี้เป็นเอกสารที่สงวนไว้สำหรับการใช้งานเพื่อการศึกษาเท่านั้น ไม่อนุญาตให้นำไปใช้ประโยชน์ด้านการค้า
ไม่ว่ากรณีใดๆ ทั้งสิ้น อีกทั้งห้ามมิให้ตัดแปลงเนื้อหาและต้องอ้างอิงถึงเจ้าของเอกสารทุกครั้งที่มีการนำไปใช้

บทที่ 5

วงจรรขยายความแตกต่าง(DIFFERENTIAL AMPLIFIERS)

"Differential Amplifier" พบมากในวงจรอิเล็กทรอนิกส์หลายชนิด รวมทั้งแอมพลิไฟเออร์ ทั้งความถี่สูงและต่ำ, อนุตรถอมอคูเลเตอร์, ลอจิกเกต ดิฟเฟอเรนเชียลแอมป์บางรูปแบบจะถูกนำไปใช้เป็นภาคอินพุทของ ไอซีออฟแอมป์ เราทราบกันอยู่แล้วว่า การออกแบบทรานซิสเตอร์ตัวเดียวให้มีเกนมาก ๆ และเสถียรภาพทำได้ยาก ซึ่งถ้าหากใช้ดิฟเฟอเรนเชียลแอมป์แล้วจะได้ทั้งเกนที่มีค่าสูง และเสถียรภาพดี

ดิฟเฟอเรนเชียลแอมป์มีความเหมาะสมที่ใช้ในไอซีเป็นอย่างมาก ในไอซีแล้วการสร้างอุปกรณ์ทั้งหมดสามารถทำได้พร้อม ๆ กัน บนแผ่นสารกึ่งตัวนำเพียงชั้นเดียว นอกจากนั้นอุปกรณ์ยังมีพารามิเตอร์ที่ใกล้เคียงกันมากด้วย ซึ่งอุปกรณ์ที่แมทช์กันย่อมทำให้ดิฟเฟอเรนเชียลแอมป์มีความสมบูรณ์ยิ่งขึ้น

5.1 วงจรรขยายความแตกต่างพื้นฐาน

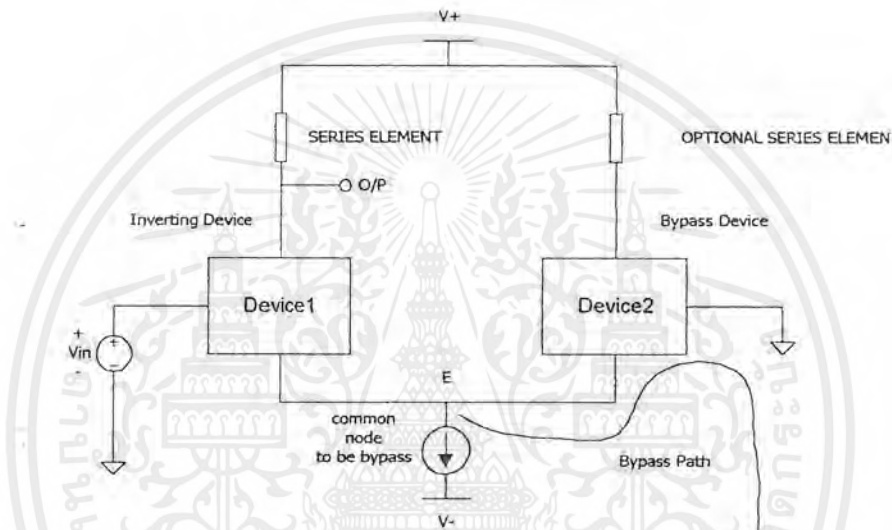
เสถียรภาพการไบอัสของทรานซิสเตอร์ตัวเดียวนั้น ต้องการตัวต้านทานฟีดแบ็คหรือ อุปกรณ์อิมพีแดนซ์สูง ใส่เข้าระหว่างโหนดร่วมของอุปกรณ์แอกทิฟกับกราวด์ ดังรูป 5.1 แต่อย่างไรก็ตามกลไกในการทำให้เสถียรภาพก็จะเป็นตัวจำกัด การตอบสนองต่อสมอลซิกแนล ของแอมป์ด้วย



รูป 5.1 วงจร มอสเฟตอินเวอร์เตอร์ แบบมีฟีดแบค

เอกสารนี้เป็นเอกสารที่สงวนไว้สำหรับการใช้งานเพื่อการศึกษาเท่านั้น ไม่อนุญาตให้นำไปใช้ประโยชน์ด้านการค้า ไม่ว่ากรณีใดๆ ทั้งสิ้น อีกทั้งห้ามมิให้ตัดแปลงเนื้อหาและต้องอ้างอิงถึงเจ้าของเอกสารทุกครั้งที่มีการนำไปใช้

การแก้ปัญหาระหว่างความเสถียรภาพกับเกนสามารถแก้ไขได้โดยใส่บายพาสคาปาซิเตอร์เข้าไป เนื่องจากทาง คีซี คาปาซิเตอร์เปรียบเสมือน เป็ดวงจร ซึ่งไม่ไปเปลี่ยนแปลงไบอัสของวงจร แต่ละบายพาสสัญญาณลงกราวด์ที่ความถี่สูง วิธีการบายพาสที่คิดมานี้ แสดงในรูป 5.2 ซึ่งเป็นการเพิ่มอุปกรณ์แอกทีฟตัวที่สอง ซึ่งใช้โหนดร่วมกับอุปกรณ์ตัวแรก และมีการไบอัสแบบขนานโดยแชร์แหล่งจ่ายระแสดตรงร่วมกัน จะเห็นได้ว่า อุปกรณ์ตัวที่สองจะทำให้เกิด เส้นทางบายพาสที่มีอิมพีแดนซ์ต่ำลงกราวด์ ซึ่งจะให้มีเกนมากได้ โดยไม่จำเป็นต้องมีบายพาสคาปาซิเตอร์



รูป 5.2 แนวคิดเบื้องต้นของคิฟเฟอร์เรนเจียลแอมป์ไฟเออร์

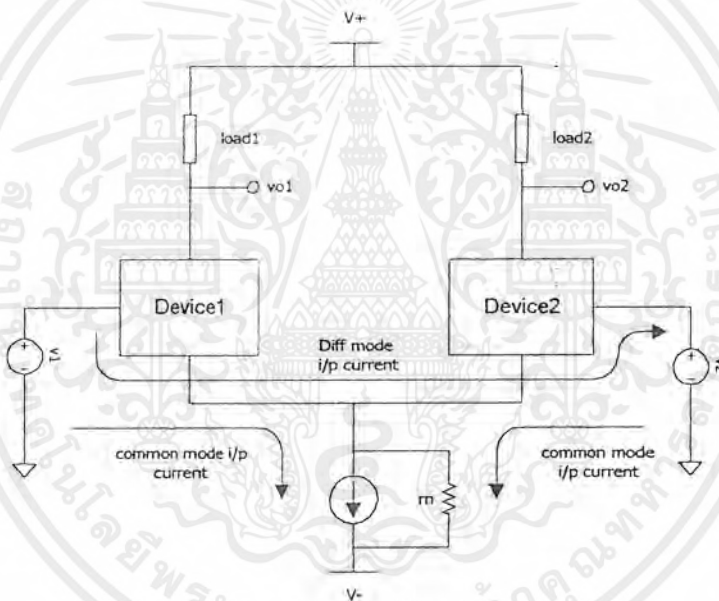
ในรูปที่ 5.2 เป็นวงจรคิฟเฟอร์เรนเจียลแอมป์พื้นฐาน อุปกรณ์ที่หนึ่งมี "พูลอัพ(pull up)" โหลดต่อแบบอนุกรมอยู่ ทำหน้าที่ให้เป็น อินเวอร์ตติ้ง(inverting) ขณะที่อุปกรณ์ตัวที่ 2 ทำหน้าที่บายพาส อุปกรณ์ พูลอัพอีกตัวต่ออนุกรมกับอุปกรณ์ที่ 2 เพื่อให้เกิดความสมดุลและไม่มีผลกระทบต่อหน้าที่บายพาส นอกจากนี้ยังสามารถทำให้วงจรสามารถรับอินพุตได้ 2 ทาง คือ ที่ต่อกับอุปกรณ์ที่ 1 และอุปกรณ์ที่ 2 ความสามารถนี้คือลักษณะเด่นที่สำคัญของคิฟแอมป์ ซึ่งจะกล่าวถึงต่อไป

5.2 สัญญาณดิฟเฟอเรนเชียลและสัญญาณคอมมอนโหมด

วงจรในรูป 5.2 ซึ่งเป็นวงจรสมมูลย์ อุปกรณ์ที่ 1 ทำหน้าที่เป็นอินเวอร์เตอร์และอุปกรณ์ที่ 2 ทำหน้าที่เป็นอุปกรณ์ขยายพาส เราสามารถสลับหน้าที่ของอุปกรณ์ 2 ตัวนี้ได้ โดยทั่วไปเราสามารถป้อนอินพุตเข้าที่ อุปกรณ์ทั้ง 2 พร้อม ๆ กันได้ดังรูป 5.3

ความแตกต่างระหว่างสัญญาณอินพุต V_1 และ V_2 เรียกว่า ดิฟเฟอเรนเชียลโหมดของอินพุต กำหนดเป็น $V_{idm} = V_1 - V_2$ ส่วนคอมมอนโหมดสามารถกำหนดเป็นค่าเฉลี่ยหรือ $V_{icm} = \frac{V_1 + V_2}{2}$ ซึ่งสามารถนำมากำหนดอินพุตทั้ง 2 เป็น

$$V_1 = V_{icm} + \frac{V_{idm}}{2}, \quad V_2 = V_{icm} - \frac{V_{idm}}{2}$$



รูป 5.3 วงจรถูกขับด้วยอินพุต 2 ข้าง พร้อมๆกัน

ถ้าแรงดัน V_{o2} ในรูป 5.3 เป็นเอาต์พุตที่ 2 องค์ประกอบ ของ ดิฟเฟอเรนเชียล และ คอมมอนโหมด ของสัญญาณเอาต์พุต จะเป็นดังนี้ $V_{odm} = V_{o1} - V_{o2}$ และ $V_{ocm} = \frac{V_{o1} + V_{o2}}{2}$ ซึ่ง

$$V_{o1} = V_{ocm} + \frac{V_{odm}}{2} \quad \text{และ} \quad V_{o2} = V_{ocm} - \frac{V_{odm}}{2}$$

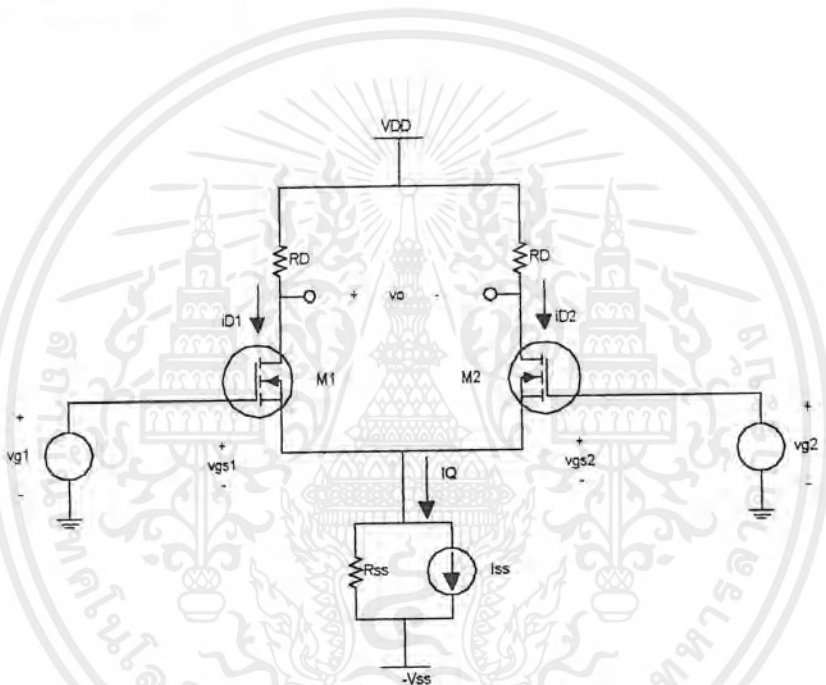
ถ้าแอมพลิไฟเออร์เป็นลิเนียร์ การตอบสนองต่ออินพุต 2 อินพุตที่เกิดขึ้นพร้อมกันสามารถหาได้โดยใช้ ซูเปอร์โพสิชัน (superposition) โดยเฉพาะเมื่อสัญญาณ เอาต์พุต ประกอบด้วย

เอกสารนี้เป็นเอกสารที่สงวนไว้สำหรับการใช้งานเพื่อการศึกษาเท่านั้น ไม่อนุญาตให้นำไปใช้ประโยชน์ด้านการค้า ไม่ว่ากรณีใดๆ ทั้งสิ้น อีกทั้งห้ามมิให้ตัดแปลงเนื้อหาและต้องอ้างอิงถึงเจ้าของเอกสารทุกครั้งที่มีการนำไปใช้

ผลบวกของสัญญาณ อินพุต (ดิฟเฟอเรนเชียล โหมด) คูณกับ ดิฟเฟอเรนเชียลโหมดเกน และ สัญญาณ อินพุตคอมมอน โหมดคูณกับ คอมมอนโหมดเกน

5.3 วงจรขยายความแตกต่าง

คู่ เอ็มอส ดังรูป 5.4 ในการไบอัสปกติจะใช้ วงจรจ่ายกระแสแบบมอส และตัวต้านทาน R_D ก็จะถูกแทนด้วยแอกทีฟโหลด



รูป 5.4 วงจรมอสเฟตดิฟเฟอเรนเชียล

5.3.1 ลักษณะสมบัติการถ่ายโอนไฟตรง

เราใช้ เอ็น-แชนแนล ในการวิเคราะห์ แต่ก็สามารถปรับมาใช้กับ พี-แชนแนล ได้ โดยการเปลี่ยนเครื่องหมายบางตัวเพื่อให้วิเคราะห์ได้ง่ายจะสมมติว่า

1. ค่าความต้านทานทางเอาต์พุตของ มอสเฟต $\rightarrow \infty$; $r_d \rightarrow \infty$
2. มอสเฟต เหมือนกันทุกประการ และทำงานในบ้านอิมิตัว, ค่า แรงดันขีดเริ่ม มีค่าเท่ากัน ; $V_{t1} = V_{t2} = V_t$ และค่าคงที่ $K_{p1} = K_{p2} = K_p$
3. ค่าความต้านทานเอาต์พุตของทรานซิสเตอร์ที่เป็นแหล่งจ่ายกระแส จะเป็นอนันต์ ; $R_{SS} = \infty$

เอกสารนี้เป็นเอกสารที่สงวนไว้สำหรับการใช้งานเพื่อการศึกษาเท่านั้น ไม่อนุญาตให้นำไปใช้ประโยชน์ด้านการค้า ไม่ว่าจะกรณีใดๆ ทั้งสิ้น อีกทั้งห้ามมิให้ตัดแปลงเนื้อหาและต้องอ้างอิงถึงเจ้าของเอกสารทุกครั้งที่มีการนำไปใช้

จากความสัมพันธ์ของ I_D กับ V_{GS} ; $I_D = \frac{K_p}{2} (V_{GS} - V_t)^2$

$$\therefore \sqrt{I_{D1}} = \sqrt{\frac{K_p}{2}} (V_{GS1} - V_t)$$

$$\sqrt{I_{D2}} = \sqrt{\frac{K_p}{2}} (V_{GS2} - V_t) \text{ เปรียบ } \sqrt{I_{D1}} - \sqrt{I_{D2}}$$

เพื่อให้ค่า $V_{GS1} - V_{GS2} = V_{id}$

$$\begin{aligned} \sqrt{I_{D1}} - \sqrt{I_{D2}} &= \sqrt{\frac{K_p}{2}} (V_{GS1} - V_t) - \sqrt{\frac{K_p}{2}} (V_{GS2} - V_t) = \sqrt{\frac{K_p}{2}} (V_{GS1} - V_{GS2}) \\ &= \sqrt{\frac{K_p}{2}} V_{id} \end{aligned}$$

เนื่องจากผลรวมของ $I_{D1} - I_{D2} = I_Q$ จะได้ว่า

$$I_{D1} = \frac{I_Q}{2} + \sqrt{\frac{2K_p}{2} I_Q} \left(\frac{V_{id}}{2} \right) \left[1 - \frac{(V_{id}/2)^2}{(I_Q/K_p)} \right]^{\frac{1}{2}}$$

$$I_{D2} = \frac{I_Q}{2} - \sqrt{\frac{2K_p}{2} I_Q} \left(\frac{V_{id}}{2} \right) \left[1 - \frac{(V_{id}/2)^2}{(I_Q/K_p)} \right]^{\frac{1}{2}}$$

ที่จุด Quiescent ; $V_{id} = 0$ จะได้

$$I_{D1} = I_{D2} = \frac{I_Q}{2}$$

$$V_{GS1} = V_{GS2} = V_{GS}$$

$$I_Q = 2I_D = 2K_p (V_{GS} - V_t)^2$$

เอกสารนี้เป็นเอกสารที่สงวนไว้สำหรับการใช้งานเพื่อการศึกษาเท่านั้น ไม่อนุญาตให้นำไปใช้ประโยชน์ด้านการค้า
ไม่ว่ากรณีใดๆ ทั้งสิ้น อีกทั้งห้ามมิให้ตัดแปลงเนื้อหาและต้องอ้างอิงถึงเจ้าของเอกสารทุกครั้งที่มีการนำไปใช้

$$\frac{\sqrt{K_p I_Q}}{2} = K_p (V_{GS} - V_t)^2 / (V_{GS} - V_t) = I_Q / (V_{GS} - V_t)$$

$(I_Q / K_p) = (V_{GS} - V_t)^2$ แทนค่าความสัมพันธ์เหล่านี้ในสมการของ I_{D1} และ I_{D2} เป็น

$$I_{D1} = \frac{I_Q}{2} + \left(\frac{I_Q}{V_{GS} - V_t} \right) \left(\frac{V_{id}}{2} \right) \left[1 - \frac{(V_{id}/2)^2}{(I_Q / K_p)} \right]^{\frac{1}{2}}$$

$$I_{D2} = \frac{I_Q}{2} - \left(\frac{I_Q}{V_{GS} - V_t} \right) \left(\frac{V_{id}}{2} \right) \left[1 - \frac{(V_{id}/2)^2}{(I_Q / K_p)} \right]^{\frac{1}{2}}$$

ถ้า $V_{id}/2 \ll (V_{GS} - V_t)$, I_{D1} และ I_{D2} จะประมาณได้เป็น

$$I_{D1} = \frac{I_Q}{2} + \left(\frac{I_Q}{V_{GS} - V_t} \right) \left(\frac{V_{id}}{2} \right)$$

$$I_{D2} = \frac{I_Q}{2} - \left(\frac{I_Q}{V_{GS} - V_t} \right) \left(\frac{V_{id}}{2} \right)$$

ดังนั้นการเปลี่ยนแปลงของกระแสตรนจากค่า $\frac{I_Q}{2}$ คือ

$$\frac{\Delta I_D}{I_Q/2} = \frac{V_{id}}{V_{GS} - V_t} = \frac{V_{id}}{\sqrt{I_Q/2K_p}}$$

ถ้า V_{id} มีค่ามากพอ กระแสไบอัส I_D ทั้งหมดจะไหลผ่าน มอสเฟต เพียงตัวเดียว ค่า v_{id} ที่จะทำให้ทรานซิสเตอร์ทั้ง 2 ตัวนำกระแสได้จากสมการนี้ ภายใต้เงื่อนไขว่า $\Delta I_D = I_Q/2$ นั่นคือ

$$v_{id} \leq \left(\frac{I_Q}{2K_p} \right)^{1/2}$$

เอกสารนี้เป็นเอกสารที่สงวนไว้สำหรับการใช้งานเพื่อการศึกษาเท่านั้น ไม่อนุญาตให้นำไปใช้ประโยชน์ด้านการค้า ไม่ว่ากรณีใดๆ ทั้งสิ้น อีกทั้งห้ามมิให้ตัดแปลงเนื้อหาและต้องอ้างอิงถึงเจ้าของเอกสารทุกครั้งที่มีการนำไปใช้

สมการนี้ค่า V_{id} จะมีเงื่อนไขคือกระแส I_Q จะผ่านทรานซิสเตอร์ตัวใดตัวหนึ่ง ดังนั้น บริเวณที่เกินกว่า V_{id} กระแส I_{D1} และ I_{D2} จะเป็นศูนย์หรือไม่ก็ I_Q เมื่อนำกระแสอร์มอลไลซ์ ของ I_{D1} และ I_{D2} มาพล็อตเทียบกับ แรงดันคิฟเฟอเรนเชียล ; v_{id}/V_n ดังรูป 5.5 โดย $V_n = \sqrt{\frac{I_Q}{K_p}}$ แรงดันเอาต์พุตของคู่ มอสเฟต จะเป็น

$$V_{O1} = V_{DD} - I_{D1}R_D \text{ และ } V_{O2} = V_{DC} - I_{D2}R_D$$

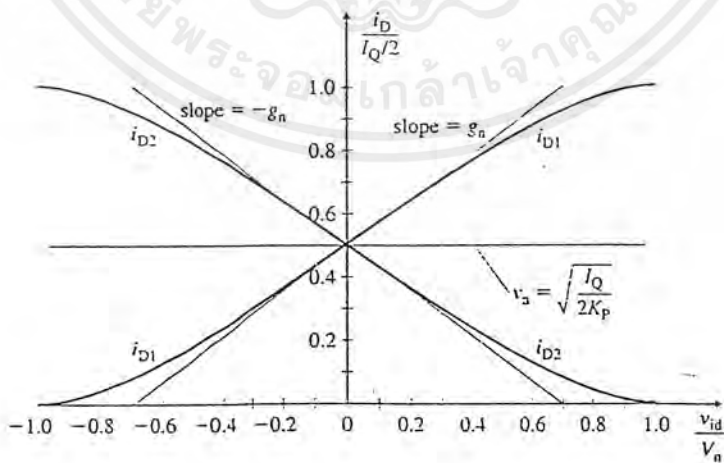
แรงดันเอาต์พุต กระแสตรง คือ

$$V_{od} = V_{O1} - V_{O2} = R_D(I_{D2} - I_{D1}) = -R_D\Delta I_D$$

แทนค่า ΔI_D ลงไป

$$\begin{aligned} V_{od} &= -R_D \left(\frac{I_Q}{V_{GS} - V_t} \right) \left(\frac{V_{id}}{2} \right) \\ &= -R_D \left(\frac{K_p I_Q}{2} \right)^{1/2} V_{id} \end{aligned}$$

ซึ่งเป็นความสัมพันธ์ระหว่างแรงดันเอาต์พุต V_{od} กับแรงดันผลต่าง V_{id} ถ้า V_{id} เป็นศูนย์, V_{od} ก็เป็นศูนย์ด้วย



รูปที่ 5.5 กราฟการถ่ายโอน ไฟตรงของ มอสเฟตแบบนอร์มอลไลซ์

เอกสารนี้เป็นเอกสารที่สงวนไว้สำหรับการใช้งานเพื่อการศึกษาเท่านั้น ไม่อนุญาตให้นำไปใช้ประโยชน์ด้านการค้า ไม่ว่ากรณีใดๆ ทั้งสิ้น อีกทั้งห้ามมิให้ตัดแปลงเนื้อหาและต้องอ้างอิงถึงเจ้าของเอกสารทุกครั้งที่มีการนำไปใช้

5.3.2 การวิเคราะห์สมอลซิกแนล

$$gm = K_p (V_{GS} - V_t)$$

$$= \sqrt{K_p I_Q}$$

แสดงว่า มอสเฟต ที่ต้องการค่า gm สูง ๆ จะต้องมีการไบแอส I_Q ค่าสูง ๆ ด้วย วงจรครึ่งหนึ่งจะเหมือนกับวงจรอีกครึ่งหนึ่ง (สมมาตร) ดังนั้น โวลเตจเกน ;

$$A_d = \frac{V_{od}}{V_{id}} = -g_m R_D$$

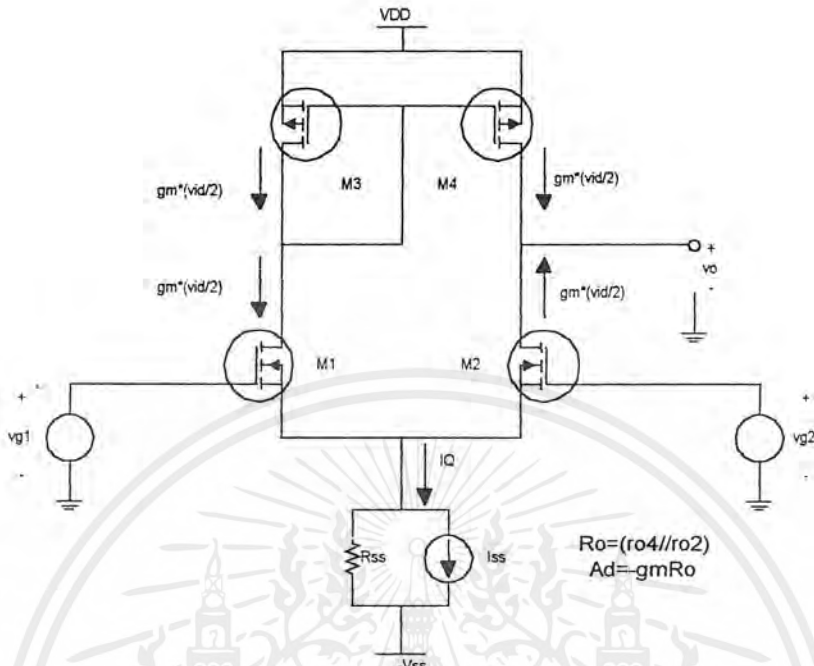
$$\text{คอมมอน โหมด โวลเตจเกน ; } A_c = \frac{V_{oc}}{V_{ic}} = \frac{-g_m R_D}{1 + g_m 2R_{SS}}$$

5.4 วงจรขยายความแตกต่างแบบใช้แอกทีฟโหลด

วงจรขยายความแตกต่างโดยปกติจะใช้ วงจรสะท้อนกระแสเป็นแอกทีฟโหลดวงจรแสดง ดังรูป 5.6 โดย วงจรสะท้อนกระแส จะประกอบด้วย ทรานซิสเตอร์ M_3 และ M_4 การเพิ่มแรงดันอินพุตให้กับ M_1 เป็น $v_{id} / 2$ จะทำให้กระแสเดรนของ M_1 เพิ่มขึ้นเป็น $g_m v_{id} / 2$ ซึ่งจะเพิ่มกระแสที่ M_4 ด้วยค่าเดียวกัน เนื่องจากผลของ วงจรสะท้อนกระแส และจะลดกระแสของ M_2 ลงด้วย เพราะว่า M_1, M_2 เป็น เอ็นมอส ทรานซิสเตอร์ และส่วนประกอบ (M_3, M_4) เป็น พีมอส รูปแบบนี้เราจะเรียกว่า วงจรขยายแบบซีมอส(CMOS Amplifier) วงจรสมมูลย์ทางด้านเอาต์พุตของ ซีมอสแอมป์ แสดงในรูป 5.7 ค่าความต้านทานเอาต์พุต R_o คือ $r_{o2} || r_{o4}$

$$\text{ซึ่ง } r_{o2} = 2V_M / I_Q = \text{ค.ต.ท. เอาต์พุตของ } M_2$$

$$r_{o4} = 2V_M / I_Q = \text{ค.ต.ท. เอาต์พุตของ } M_4$$

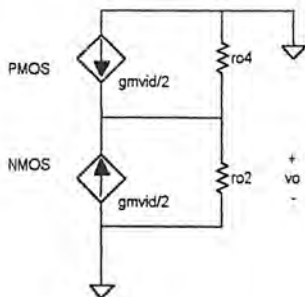


รูป 5.6 วงจรขยายความแตกต่าง

คิฟเฟอร์เรนเซียล โวลเตจเกน ; $A_d = \frac{v_o}{v_{id}} = -g_m (r_{o2} || r_{o4})$

ซึ่ง g_m คือค่าทรานส์คอนดักแตนซ์ของ มอสเฟต M_2 เมื่อแทนค่าของ r_{o4}, r_{o2} และ g_m แล้ว จะได้

$$A_d = -\sqrt{\frac{K_p V_M}{I_Q}} \text{ ซึ่งจะมีค่าสูงเมื่อ } I_Q \text{ มีค่าต่ำ ๆ}$$



รูปที่ 5.7 สมมูลย์ สมอลซิกแนล ของ ซีมอส แอมพลิไฟเออร์

เอกสารนี้เป็นเอกสารที่สงวนไว้สำหรับการใช้งานเพื่อการศึกษาเท่านั้น ไม่อนุญาตให้นำไปใช้ประโยชน์ด้านการค้า ไม่ว่าจะกรณีใดๆ ทั้งสิ้น อีกทั้งห้ามมิให้ตัดแปลงเนื้อหาและต้องอ้างอิงถึงเจ้าของเอกสารทุกครั้งที่มีการนำไปใช้

บทที่ 6

การออกแบบวงจรออปแอมป์แรงดันต่ำ(Low voltage OpAmp Design)

6.1 บทนำ

ในปัจจุบัน การออกแบบระบบที่กล่าวว่าเป็นระบบแรงดันต่ำ(low voltage)จะเป็นวงจรที่สามารถทำงานได้โดยมีไฟเลี้ยงช่วง 1-5 V. ค่าแรงดันไฟเลี้ยงจะถูกจำกัดโดยค่าของแรงดัน เกท-ซอส และแรงดันอิมิต์ที่ซ้อนกันอยู่ แต่แรงดันค่าเหล่านี้ไม่ได้เป็นตัวกำหนดลักษณะของวงจร เช่น หากทรานซิสเตอร์มีค่าแรงดันซิดเริ่ม 1V. แรงดันไฟเลี้ยง 3V. แสดงว่าสามารถมีแรงดัน เกท-ซอส ซ้อนกัน ได้ 2 ค่า ($2V_{GS}$) ถ้าหากทรานซิสเตอร์สามารถทำให้แรงดันซิดเริ่มมีค่า 0.5V. ได้ก็สามารถมีแรงดัน เกท-ซอส ซ้อนกัน ได้ถึง 5 ค่า ($5V_{GS}$) ดังนั้นอาจแยกชนิดของวงจรแรงดันต่ำได้ตามค่าของแรงดันที่ซ้อนกันอยู่ การออกแบบที่สามารถใช้แรงดันไฟเลี้ยงต่ำที่สุดจะต้องให้ทรานซิสเตอร์ทำงานให้โหมค วิคอินเวอร์ชัน(weak inversion) เนื่องจากมีแรงดัน เกท-ซอสต่ำที่สุด แต่ในกรณีที่ต้องการสวิตช์เร็วมาก จำเป็นต้องให้ทรานซิสเตอร์ทำงานใน โหมคตรงอินเวอร์ชัน(strong inversion)

การแยกประเภทของวงจรแรงดันต่ำ อาจแยกได้เป็น 2 ประเภท

1. วงจรแรงดันต่ำ (low – voltage circuits) วงจรประเภทนี้จะมี แรงดัน เกท-ซอส ซ้อนกัน ได้ 2 ค่า และแรงดันอิมิต์ 2 ค่า นั่นคือ

$$V_{sup}^{min} = 2 (V_{gs} + V_{dsat})$$

2. วงจรแรงดันต่ำมาก(extremely low-Voltage circuits) วงจรนี้ค่าแรงดัน ไฟเลี้ยงต่ำสุดคือค่าของ แรงดัน เกท-ซอส และแรงดันอิมิต์อย่างละค่าเท่านั้น

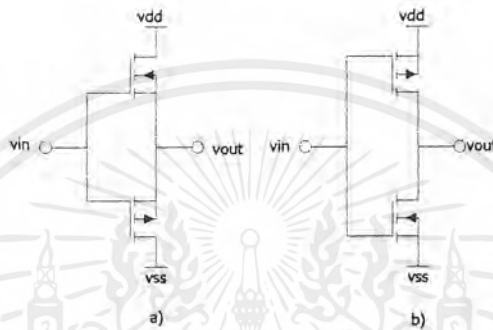
$$V_{sup}^{min} = V_{gs} + V_{dsat}$$

6.2 สัญญาณแบบเรลทูเรล (Rail to rail)

การที่แรงดันไฟเลี้ยงมีค่าต่ำ ย่อมทำให้วงจรมีผลกระทบอย่างมากในเรื่องของ อัตราส่วนซิกแนลทูนอยส์(SNR) เพราะนอกจากสัญญาณมีขนาดเล็กแล้วยังมีนอยส์ ที่เกิดจากกระแสที่มีค่าต่ำ ๆ ด้วย ดังนั้นการทำให้ อัตราส่วนซิกแนลทูนอยส์มีค่ามากที่สุด ก็คือทำให้สัญญาณมีขนาดใหญ่ที่สุดที่จะทำได้ ซึ่งก็คือสัญญาณแบบเรลทูเรล ทางด้านเอาต์พุต และสัญญาณ คอมมอนโหมค ทางอินพุต

6.3 วงจรแบบเรลทูเรล

โดยปกติที่ ภาค เอาท์พุท จะใช้วงจรแบบ คอมมอนเดรน ดังรูป6.1a. แรงดันเอาท์พุทจะถูกจำกัดโดยค่าแรงดัน เกท-ซอส 1 ค่า ดังนั้นการออกแบบแรงดันต่ำจะต้องใช้วงจรแบบคอมมอนซอสแทน ดังรูป6.1b. ซึ่งจะถูกจำกัดเพียงค่าแรงดันอิมิต์เท่านั้น



รูปที่ 6.1

- ลักษณะวงจรภาคเอาท์พุทแบบธรรมดา
- ลักษณะวงจรภาคเอาท์พุทแบบเรลทูเรล

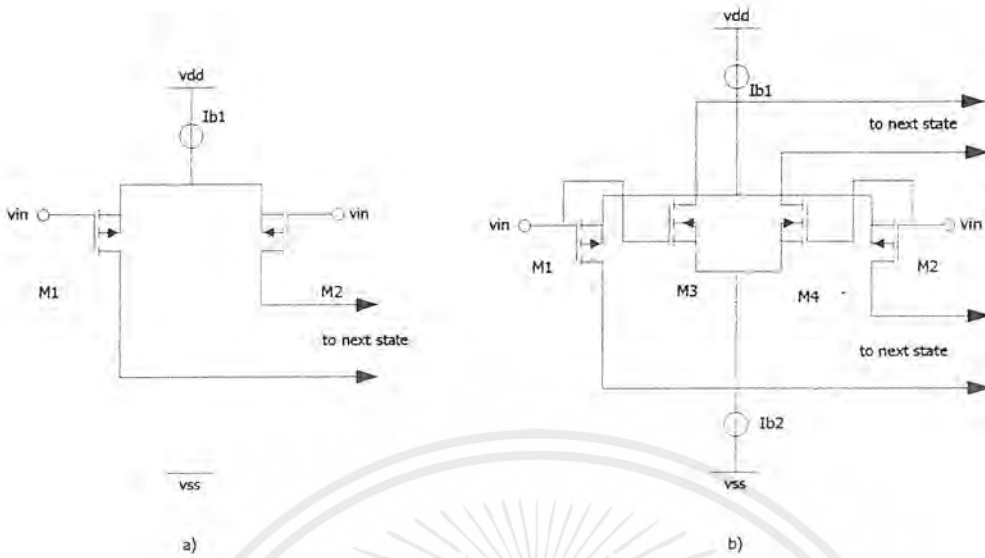
6.3.1 วงจรภาคอินพุท

ทางด้านภาค อินพุท ดังรูป6.2a. สัญญาณคอมมอน โหมดจะถูกจำกัดไม่สามารถเรลทูเรล ได้ ต้องแทนด้วย คอมพลิเมนต์รีอิพุท ดังรูป6.2 b. ซึ่งประกอบด้วย อินพุทแบบ พีเชนแนล M_1 - M_2 และแบบ เอ็นเชนแนล M_3 , M_4 ซึ่งจะยอมให้สัญญาณมีค่าได้ถึงแรงดันไฟเลี้ยงลบและบวกตามลำดับ ผลก็คือย่านของคอมมอน โหมดอินพุท ของวงจรมีค่าได้สูงถึงแรงดันไฟเลี้ยง

$$V_{sup}^{min} = V_{sgp} + 2 V_{dsat}$$

ถ้าไฟเลี้ยงมีค่าสูงกว่าค่าต่ำสุด ย่านคอมมอน โหมดอินพุทจะถูกแบ่งออกเป็น 3 ส่วน คือ

1. แรงดันคอมมอน โหมดอินพุทค่าต่ำ : พีมอสทำงาน
2. แรงดันคอมมอน โหมดอินพุทส่วนกลาง : ทั้งพีมอสและเอ็นมอสทำงาน
3. แรงดันคอมมอน โหมดอินพุทค่าสูง : เอ็นมอสทำงาน



รูปที่ 6.2 ลักษณะวงจรภาคอินพุทแบบเรลทูเรล

วงจรคอมพลีเมนต์รี จะมีความสามารถในการเป็นเรลทูเรลได้โหดจะต้องเป็นวงจรแบบ โฟลด์แคสโคด (folded cascode) ถ้าโหดด้วยวงจรแบบสะท้อนกระแสจะทำให้ความสามารถของ เรลทูเรลลดลง ดังรูป 6.3 $M_{11}-M_{12}$ ทำหน้าที่เป็นแหล่งจ่ายกระแส ซึ่งต้องมีค่าเป็น $2I_{ref}$

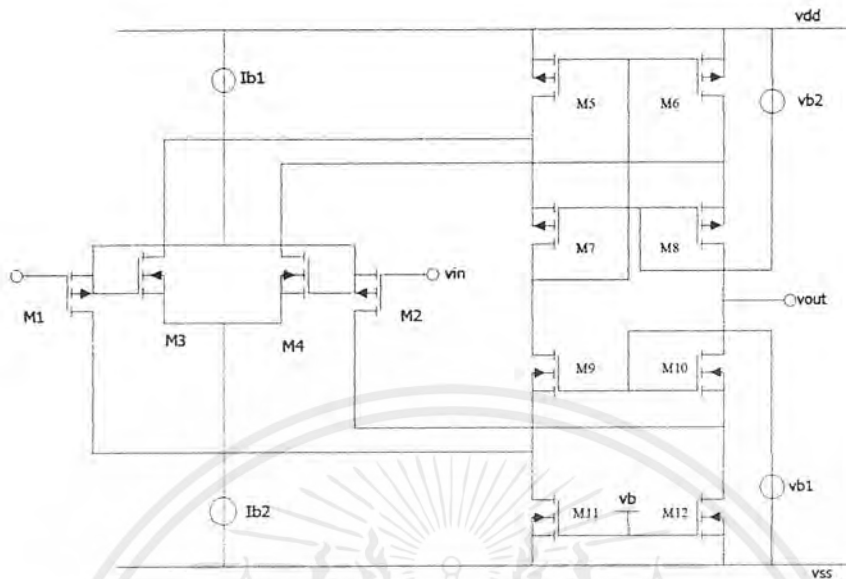
ถ้าต้องการให้กระแสเอาต์พุทของภาคอินพุทมีค่าสูงสุดที่สำคัญคือการมีสมมาตรของอุปกรณ์ จะทำให้เกิดออฟเซต เช่นค่าของ V_t , ทรานส์คอนดักแตนซ์แฟกเตอร์ (β) ข้อเสียของวงจรแบบเรลทูเรลคือค่าทรานคอนดักแตนซ์จะมีการเปลี่ยนแปลงช่วงที่อินพุทอยู่นอกคอมมอน โหมดผลก็คือค่า เกนมีการเปลี่ยนแปลง

การเปลี่ยนแปลงของดูปเกน ; AB อาจทำให้เกิดการ ผิดเพี้ยนของสัญญาณได้ (distortion) ถ้าค่าเกน มีค่าต่ำ

นอกจากนี้ การเปลี่ยนแปลงของค่าทรานส์คอนดักแตนซ์ ยังมีผลต่อการชดเชยทางความถี่ (frequency compensation) เช่นวงจรดังรูป 6.4 ถ้าต้องการให้ เกน-แบนด์วิด ; ω_u มีค่าอย่างน้อยเป็น

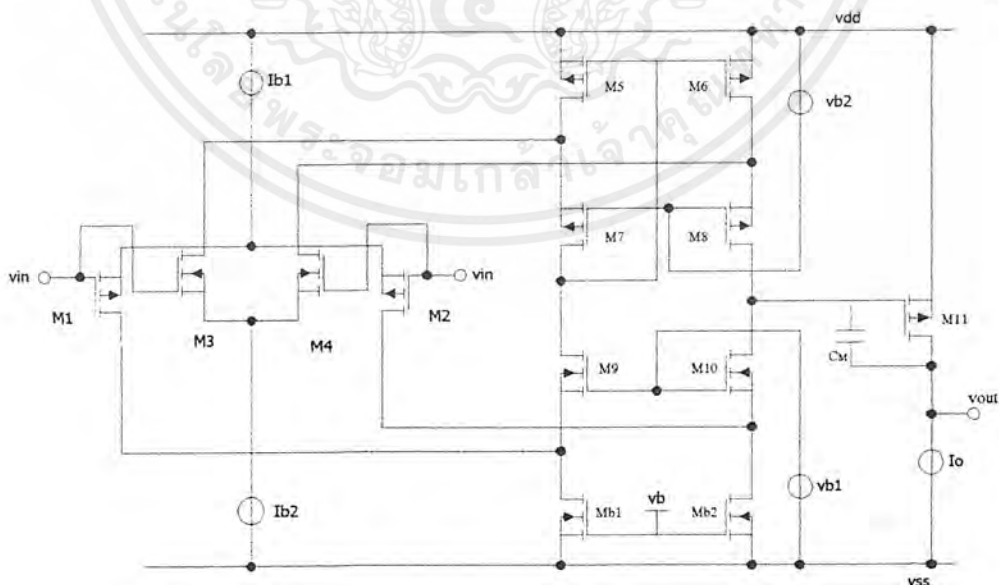
$$\omega_{u_{min}} \text{ เนื่องจาก } \omega_u = \frac{g_{mi}}{C_M} = \frac{g_{mo}}{2C_L} \text{ ถ้าค่า } g_{mi} \text{ เพิ่มขึ้นเป็น 2 เท่า ค่าของ } g_{mo} \text{ ต้องมีค่าเป็นเพิ่ม 2}$$

เท่า



รูปที่ 6.3 วงจร โฟลด์แคส โคลแบบเรลทูลเรด

เพื่อที่จะทำให้นั่นใจได้ว่าวงจรจะมีเสถียรภาพในการชดเชยความถี่ซึ่งเป็นการสั่นเปลืองโดยเปล่าประโยชน์ (กระแสหรือขนาดของทรานซิสเตอร์ต้องมีค่ามากขึ้น) วิธีการแก้ไขคือ การหาวิธีการมาควบคุมค่าทรานส์คอนดักแตนซ์ ให้มีค่าคงที่ทุกช่วงอินพุต



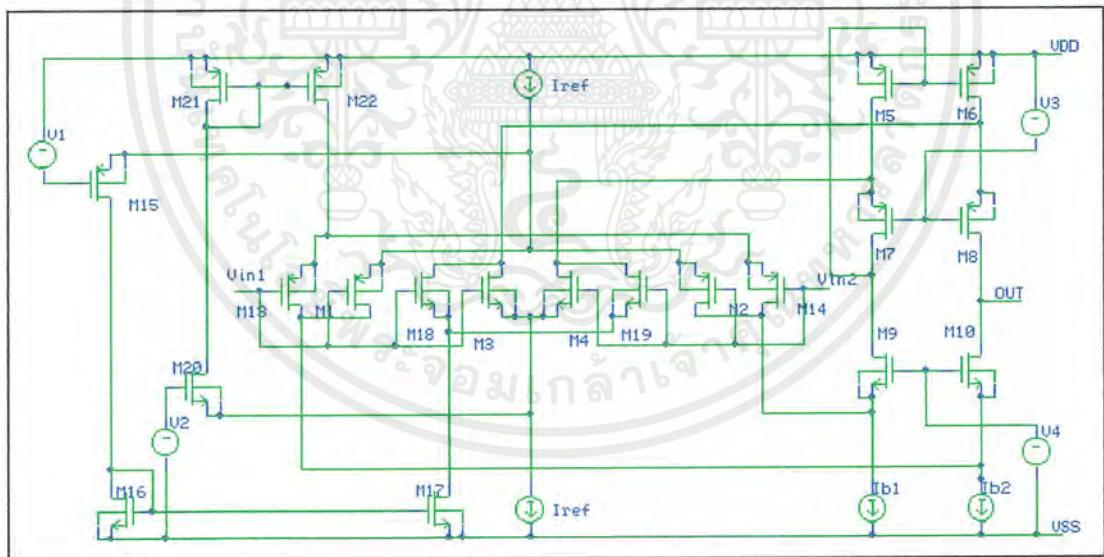
รูปที่ 6.4 ออปแอมป์แบบ 2 ภาค(เอาต์พุตแบบคลาสเอ)

เอกสารนี้เป็นเอกสารที่สงวนไว้สำหรับการใช้งานเพื่อการศึกษาเท่านั้น ไม่อนุญาตให้นำไปใช้ประโยชน์ด้านการค้าไม่ว่ากรณีใดๆ ทั้งสิ้น อีกทั้งห้ามมิให้ดัดแปลงเนื้อหาและต้องอ้างอิงถึงเจ้าของเอกสารทุกครั้งที่มีการนำไปใช้

วงจรในรูป 6.5 คือวงจรแบบเรลทูเรลที่มีการควบคุมค่าทรานส์คอนดักแตนซ์แบบอินพุทโดยใช้มัลติเพิลอินพุท

หลักการของวงจรคือ การให้ค่าคอนดักแตนซ์ของวงจรมีค่าเป็น 2 เท่าเมื่ออินพุทอยู่นอกย่านคอมมอนโหมด โดยการเพิ่มอินพุทขนานกับอินพุทหลักเดิม วงจรประกอบด้วย คอมพลิเมนต์นาเรียเต็ม M_1, M_4 ส่วนควบคุมทรานส์คอนดักแตนซ์ คือ ส่วนอินพุทที่เพิ่มเติม M_{13}, M_{14} และ M_{18}, M_{19} ส่วนที่เป็นสวิตช์ M_{15} และ M_{20} ส่วนสะท้อนกระแส M_{16}, M_{17} และ M_{20}, M_{21}

ในช่วงกลางของคอมมอนโหมดอินพุท M_1-M_4 จะถูกไบอัสด้วยกระแสของ I_{ref} ในขณะที่กระแสไบอัสของอินพุทเสริมเป็นศูนย์ ขณะนี้อินพุทจะมีค่าทรานส์คอนดักแตนซ์เป็น $2g_{mi}$ ในช่วงล่างของคอมมอนโหมดอินพุท M_{20} จะดึงเอากระแสไบอัสของเอ็นเซนเนลอินพุท M_3, M_4 ไปป้อนผ่านวงจรสะท้อนกระแส M_{21}, M_{22} แล้วกระแสจะไบอัสให้กับ M_{13}, M_{14} ซึ่งต่อขนานอยู่กับ M_1 และ M_2 ผลก็คือ ค่าทรานส์คอนดักแตนซ์ของวงจรมีค่าเท่ากับ $2g_{mi}$ ซึ่งมีค่าเท่ากับช่วงกลางของคอมมอนโหมด คอมมอนโหมดอินพุทในช่วงบนของคอมมอนโหมดอินพุทก็เกิดเหตุการณ์ลักษณะคล้ายกัน



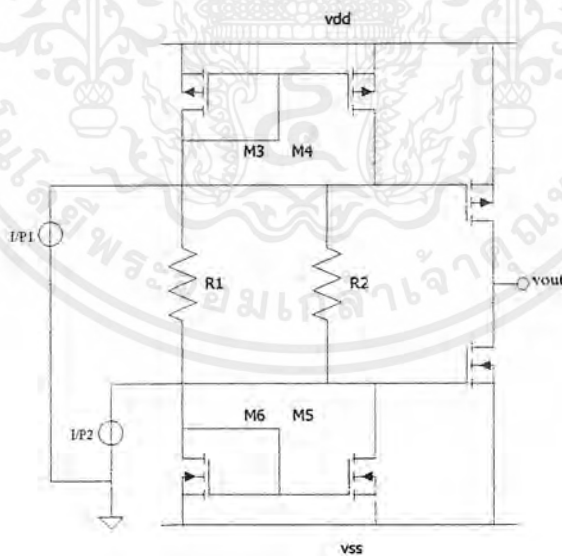
รูปที่ 6.5 วงจรควบคุมทรานส์คอนดักแตนซ์แบบมัลติเพิลอินพุท

6.3.2 วงจรภาคเอาต์พุท (output stage)

จุดประสงค์ที่มีภาคเอาต์พุท คือ การทำให้ออปแอมป์สามารถส่งสัญญาณที่มีกำลังเพียงพอให้กับโหลดโดยให้เกิดการเพี้ยนต่ำ ๆ (ขนาดที่ยอมรับได้) ในการทำงานที่ภาคเอาต์พุทเป็นวงจรแบบเรลทูเรล จะต้องใช้การต่อทรานซิสเตอร์แบบคอมมอนซอส อัตราส่วนของกระแสสูงสุดที่สามารถป้อนให้กับโหลดต่อกระแสไควเซนต์ (quiescent) จะต้องมีค่าสูง นั่นคือมีประสิทธิภาพดี ซึ่งก็คือการให้ไบอัสในคลาส เอบี

วงจรคลาสเอบี จะมีการตั้งค่าแรงดันระหว่างเกทของเอาต์พุททรานซิสเตอร์ วิธีหนึ่งที่จะสร้างแรงดันนี้ขึ้นมาคือ วงจรแสดงในรูป 6.7 วงจรประกอบด้วยเอาต์พุทแบบเรลทูเรล M_1 , M_2 และส่วนสร้างแรงดัน M_3 , M_4 และ R_1 , R_2 ทรานซิสเตอร์ M_3 - M_6 และ R_2 จะสร้างกระแสไบอัส I_{ref} ซึ่งจะถูกป้อนให้กับ R_1 เพื่อให้เกิดแรงดันตกคร่อม R_1 เป็นการตั้งค่าแรงดันระหว่างเกทของเอาต์พุททรานซิสเตอร์

$$\sqrt{I_{push}} + \sqrt{I_{pull}} = 2\sqrt{I_q} \quad \text{โดย } I_q = \frac{S_1}{S_3} I_{ref}$$



รูปที่ 6.6 วงจรภาคเอาต์พุทแบบเรลทูเรลคลาสเอบี

เอกสารนี้เป็นเอกสารที่สงวนไว้สำหรับการใช้งานเพื่อการศึกษาเท่านั้น ไม่อนุญาตให้นำไปใช้ประโยชน์ด้านการค้า ไม่ว่าจะกรณีใดๆ ทั้งสิ้น อีกทั้งห้ามมิให้ตัดแปลงเนื้อหาและต้องอ้างอิงถึงเจ้าของเอกสารทุกครั้งที่มีการนำไปใช้

บทที่ 7

การออกแบบวงจรและการทดลอง

ออปแอมป์ที่ใช้งานกัน โดยทั่วไป จะประกอบด้วย 3 ส่วนที่สำคัญคือ

1.ภาคคิฟเฟอร์เรนเซียลแอมป์ 2.ภาคขยายที่2 3.ภาคเอาต์พุตสเตจ โดยภาคแรก ทำหน้าที่เป็นอินพุทขยายสัญญาณความแตกต่าง และจะถูกส่งต่อให้กับภาคขยายที่2 โดยทั่วไปจะเป็น ทรานซิสเตอร์ตัวเดียว เมื่อผ่านจากภาคนี้ สัญญาณที่ได้จะมีขนาดเพียงพอตามที่เราต้องการ แต่หากต้องการนำไปใช้กับวงจรที่มีความต้านทานต่ำ จะมีภาคที่ 3 ด้วยเป็นภาคขยายกำลัง ให้สามารถขับกระแสให้กับโหลดได้ และยังลดค่าความต้านทานที่เอาต์พุตด้วย

วงจรที่ใช้ออกแบบนี้จะเป็น วงจรที่ใช้งานเฉพาะอย่าง ไม่ได้เป็นวงจรที่ใช้งานกัน โดยทั่วไป เนื่องจากมีค่าความต้านทานเอาต์พุตสูงแต่ก็มีข้อดีอื่นๆทดแทน

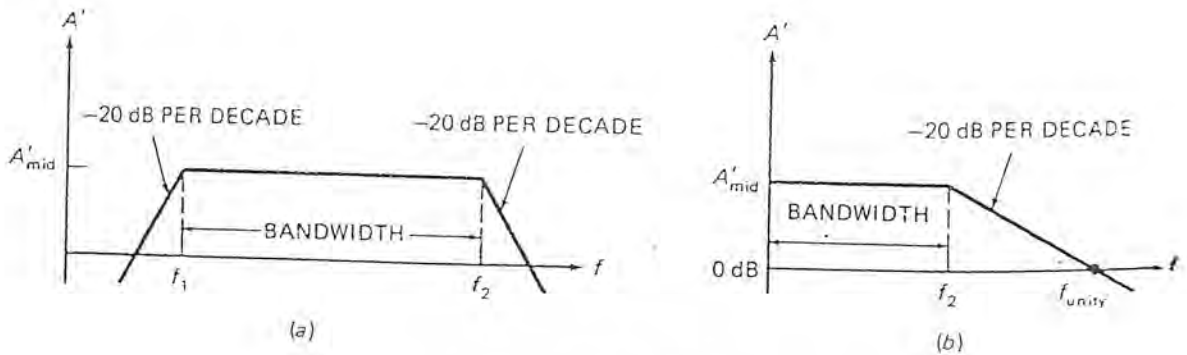
7.1 ขั้นตอนการออกแบบ

ในการออกแบบวงจร เราสามารถกำหนดขั้นตอนใหญ่ๆ ได้ดังนี้

- 1.เลือกลักษณะของวงจรที่ต้องการใช้งาน แต่ละลักษณะก็จะมีข้อดี และข้อเสียต่างกัน ไป ขึ้นอยู่กับความต้องการ
- 2.กำหนดค่าพารามิเตอร์ต่างของวงจร รวมถึงการเลือกเทคโนโลยีของอุปกรณ์ และการคำนวณด้วยมือ เมื่อได้แล้วจึงนำไป จำลอง โดยโปรแกรม เพื่อ ได้ทำการปรับค่าให้ได้ตามต้องการ

ค่าพารามิเตอร์ต่างๆของออปแอมป์ ที่สำคัญคือ เกน, เกนแบนด์วิดท์, เซ็ททลิงไทม์, สลัฟเรท, คอมมอน โหมดอินพุทเรนจ์, แรงดันเอาต์พุตที่สามารถเป็นได้, CMRR, PSRR และค่าออฟเซ็ท

ค่าแบนด์วิดท์ ;B ของวงจขยาย หาได้จากความแตกต่างของค่าความถี่คutoffความถี่สูงและความถี่ต่ำ นั่นคือ $B = f_2 - f_1$ ดังรูปที่6.1(a)แต่เนื่องจากออปแอมป์เป็นคัปปลิงแบบ direct ดังนั้นจะไม่มี ความถี่คutoffความถี่ต่ำ ดังรูป6.1(b) เป็นกราฟเกนกระแสที่มีแบนด์วิดท์ $B = f_2$ เช่นออปแอมป์ 741 มีค่า $f_2 = 10\text{Hz}$



รูปที่ 7.1 กราฟตอบสนองความถี่

ค่าเกนแบนด์วิดท์ :GB หาได้จากการนำค่าเกนของวงจรคูณกับแบนด์วิดท์ของวงจร ค่านี้ อาจพิจารณาได้ว่าเป็นค่าคงที่สำหรับวงจรมันๆ ค่าของ GB มีความสัมพันธ์กับค่าพารามิเตอร์อีก อย่างคือ unity gain frequency ทั้ง 2 ค่านี้ สามารถหาได้จากสมการเดียวกันคือ

$$GB = f_{\text{unity}} = A_{\text{cl}} * f_{2\text{cl}}$$

ดังนั้นจะพบว่าออปแอมป์ที่มี ค่า GB ที่มีค่ามาก หมายความว่ามีความถี่แบนด์วิดท์ที่กว้างกว่า ค่า GB น้อยกว่า เมื่อเปรียบเทียบกับค่าความถี่ใช้งานค่าเดียวกัน

ค่าสlew rate คือค่าอัตราความเร็วความเปลี่ยนแปลงของแรงดันเอาต์พุต เกิดจากการที่ กระแสสูงสุดผ่านตัวเก็บประจุ มีหน่วยเป็น โวลต์/ไมโครวินาที ค่าของสlew rate จะถูกกำหนด โดยค่า กระแสสูงสุดที่เหมาะสมต่อการทำงาน ค่าอีกค่าหนึ่งคือ settling time เป็นเวลาที่แรงดันเอาต์พุต ออปแอมป์เริ่มมีความคงที่

ค่า CMRR คือค่าอัตราส่วนของ differential voltage gain ต่อ common mode voltage gain สามารถเขียนสมการได้เป็น $CMRR = A_{\text{diff}}/A_{\text{cm}}$ ค่านี้ยังมีค่ามาก จะยิ่งทำให้ ออปแอมป์มีคุณภาพดี ตาม

ค่า PSRR คือค่าความสามารถ ในการกำจัดเปลี่ยนแปลงที่ผ่านทางแหล่งจ่ายแรงดันต่อแรงดันเอาต์พุตซึ่งเป็นตัวกำหนดคุณภาพอย่างหนึ่งของออปแอมป์

เอกสารนี้เป็นเอกสารที่สงวนไว้สำหรับการใช้งานเพื่อการศึกษาเท่านั้น ไม่อนุญาตให้นำไปใช้ประโยชน์ด้านการค้า ไม่ว่ากรณีใด ทั้งสิ้น อีกทั้งห้ามมิให้ตัดแปลงเนื้อหาและต้องอ้างอิงถึงเจ้าของเอกสารทุกครั้งที่มีการนำไปใช้

ค่าออฟเซต คือ ค่าที่เกิดจากความไม่ สมดุลที่รวมทั้งความไม่สมดุลจากการออกแบบ และความไม่สมดุลของอุปกรณ์เอง นั่นคือในสถานะที่ไม่มีอินพุตใดๆ ค่าแรงดันที่เอาท์พุทไม่เป็น ศูนย์ ค่าที่ปรากฏก็คือค่าออฟเซต หรือค่าแรงดันออฟเซตคือ ค่าแรงดันที่จะทำให้เอาท์พุทเป็น ศูนย์เมื่อ ไม่มีอินพุตใดๆ

7.2 การกำหนดค่าพารามิเตอร์วงจรโพลต์คาสโคด

ออกแบบให้วงจรมีค่าต่างๆดังนี้

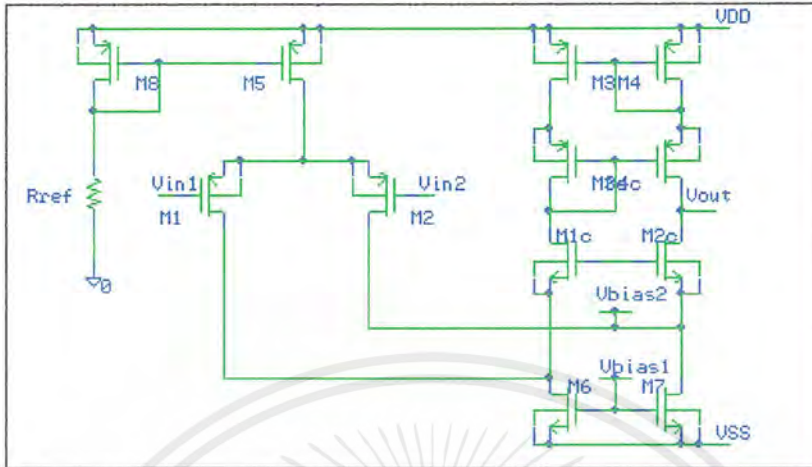
1. GB = 3MHz
2. I/P CMR = 3.2v ถึง -5v
3. $C_L = 10\text{pF}$
4. SR = 5v/ μsec
5. $V_{DD} = 5\text{v}$
6. $V_{SS} = -5\text{v}$
7. Gain > 70dB
8. $v_{\text{out}} \text{ range} = 4\text{v}$ ถึง -4v
9. channel length = 10 μm

วิธีการออกแบบ

1. จากค่า GB = $\frac{gm_1}{C_L}$ สามารถหาค่า gm_1 ได้
2. เมื่อทราบค่า gm_1 นำไปหาค่า S_1 ($S = W/L$) = $\frac{gm_1^2}{2KI_{D1}}$ และหาค่า V_{SG1} ได้
3. $V_{SD5}(\text{sat.}) = V_{DD} - V_{in\text{max}} - V_{SG1}$ นำค่า $V_{SD5}(\text{sat.})$ ไปหาค่า $S_5 = \frac{2I_{D5}}{K(V_{DS}^2(\text{sat.}))}$
4. หาค่า S_6 เช่นเดียวกับ S_5 แล้วสามารถหาค่า V_{GS6} ได้
5. หาค่า S_{2c} เช่นเดียวกับ S_6 โดยต้องพิจารณา output swing ด้วย
6. หาค่า S_{4c} เหมือนกับ S_{2c} ซึ่งค่า S_{4c} จะกำหนดให้เท่ากับ S_4

ค่าขนาดของ MOSFET และลักษณะวงจรที่ใช้เป็นดังนี้

$$\begin{aligned} S_1 &= S_2 = 71 & S_5 &= S_8 = 35 \\ S_6 &= S_7 = 5 & S_{1c} &= S_{2c} = 10 \\ S_4 &= S_{4c} = S_3 &= S_{3c} &= 80 \\ S_9 - S_{18} &= 1 \end{aligned}$$



รูปที่ 7.2 วงจร โพลต์คาสโคดที่ใช้ในการออกแบบ

การจำลองโดยโปรแกรม

ผลการทดลอง โดยโปรแกรม P-spice (LEVEL = 1)

1.การทดลองหาค่าแรงดันอินพุตออฟเซ็ท

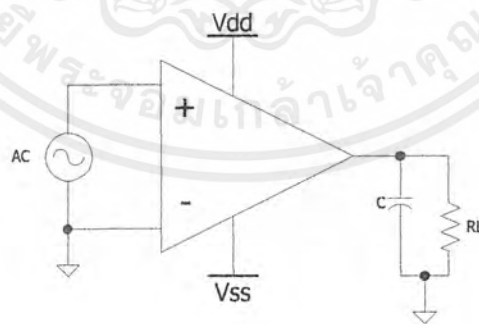
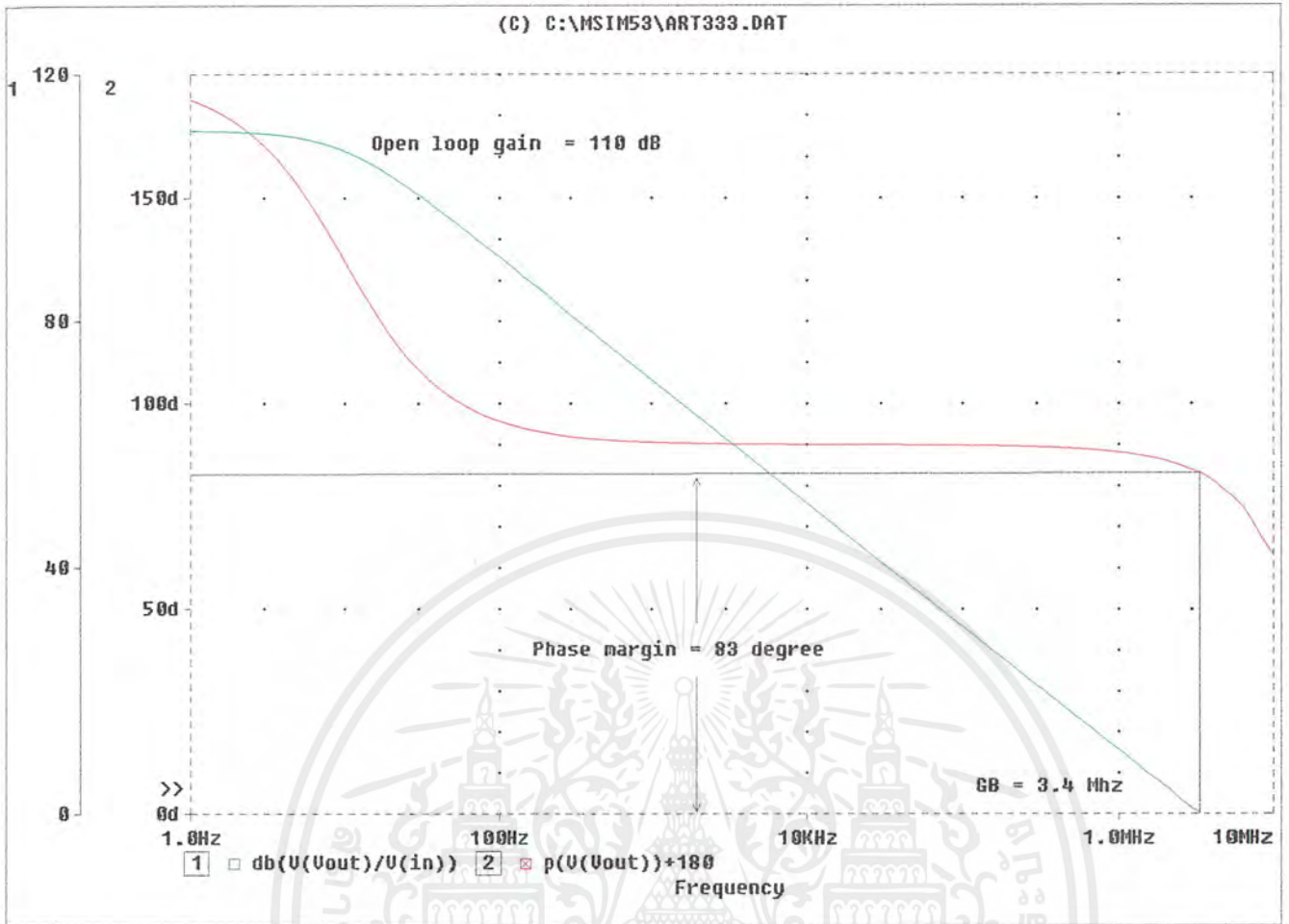
NODE	VOLTAGE	NODE	VOLTAGE	NODE	VOLTAGE	NODE	VOLTAGE
(1)	-5.0000	(2)	-4.5011	(3)	-4.0015	(4)	-3.5017
(5)	-3.0017	(6)	-2.5016	(7)	-2.0014	(8)	-1.5012
(9)	-1.0008	(10)	-5004	(\$N_0001)	-3.8380		
(\$N_0002)	2.5749	(\$N_0003)	1.2298				
(\$N_0004)	-3.8421	(\$N_0005)	3.5332				
(\$N_0006)	5.0000	(\$N_0007)	3.7861				
(\$N_0008)	3.7888	(Voffset)	7.382E-06				

2.การทดลองหาค่า Unity gain frequency = 3.35MHz

3.การทดลองหาค่า Open loop gain = 110.8 dB

4.การทดลองหาค่า Input CMR = 4,-4 v

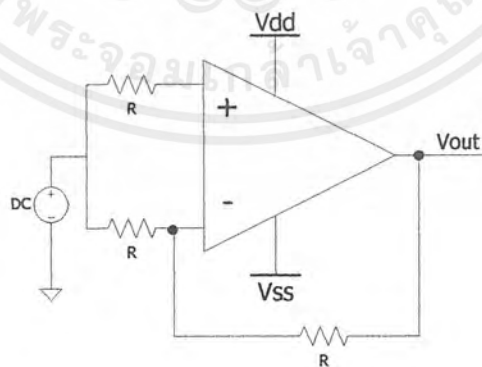
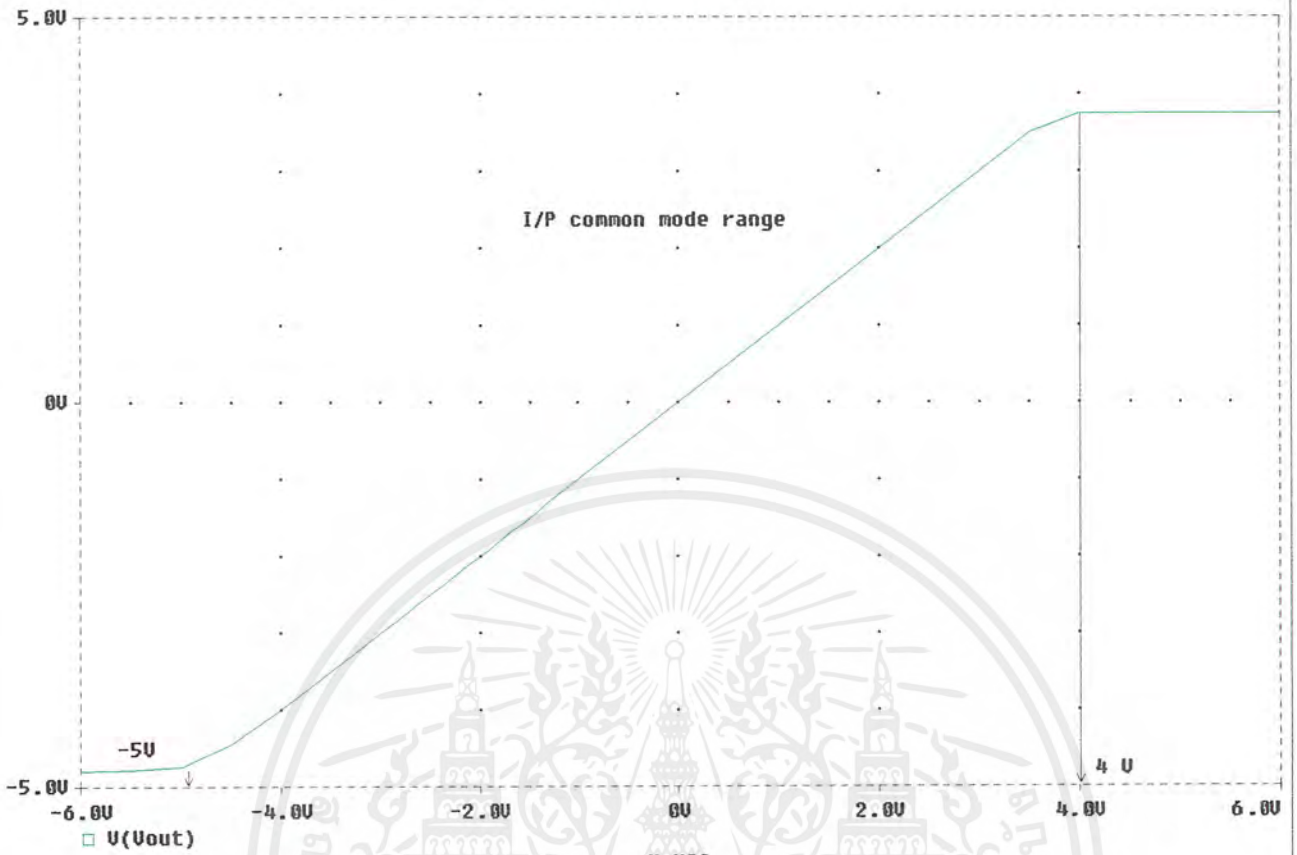
เอกสารนี้เป็นเอกสารที่สงวนไว้สำหรับการใช้งานเพื่อการศึกษาเท่านั้น ไม่อนุญาตให้นำไปใช้ประโยชน์ด้านการค้า ไม่ว่าจะกรณีใดๆ ทั้งสิ้น อีกทั้งห้ามมิให้ตัดแปลงเนื้อหาและต้องอ้างอิงถึงเจ้าของเอกสารทุกครั้งที่มีการนำไปใช้



การทดลองหาค่าอัตราขยายโอเพ่นลูปและเฟสมาร์จิ้น

เอกสารนี้เป็นเอกสารที่สงวนไว้สำหรับการใช้งานเพื่อการศึกษาเท่านั้น ไม่อนุญาตให้นำไปใช้ประโยชน์ด้านการค้าไม่ว่ากรณีใดๆ ทั้งสิ้น อีกทั้งห้ามมิให้ตัดแปลงเนื้อหาและต้องอ้างอิงถึงเจ้าของเอกสารทุกครั้งที่มีการนำไปใช้

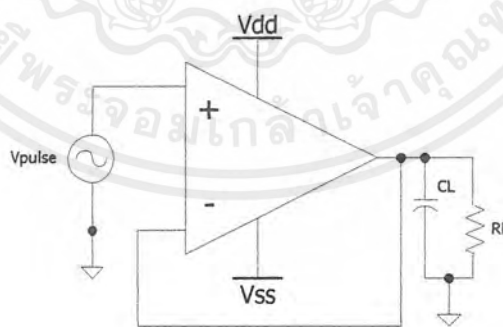
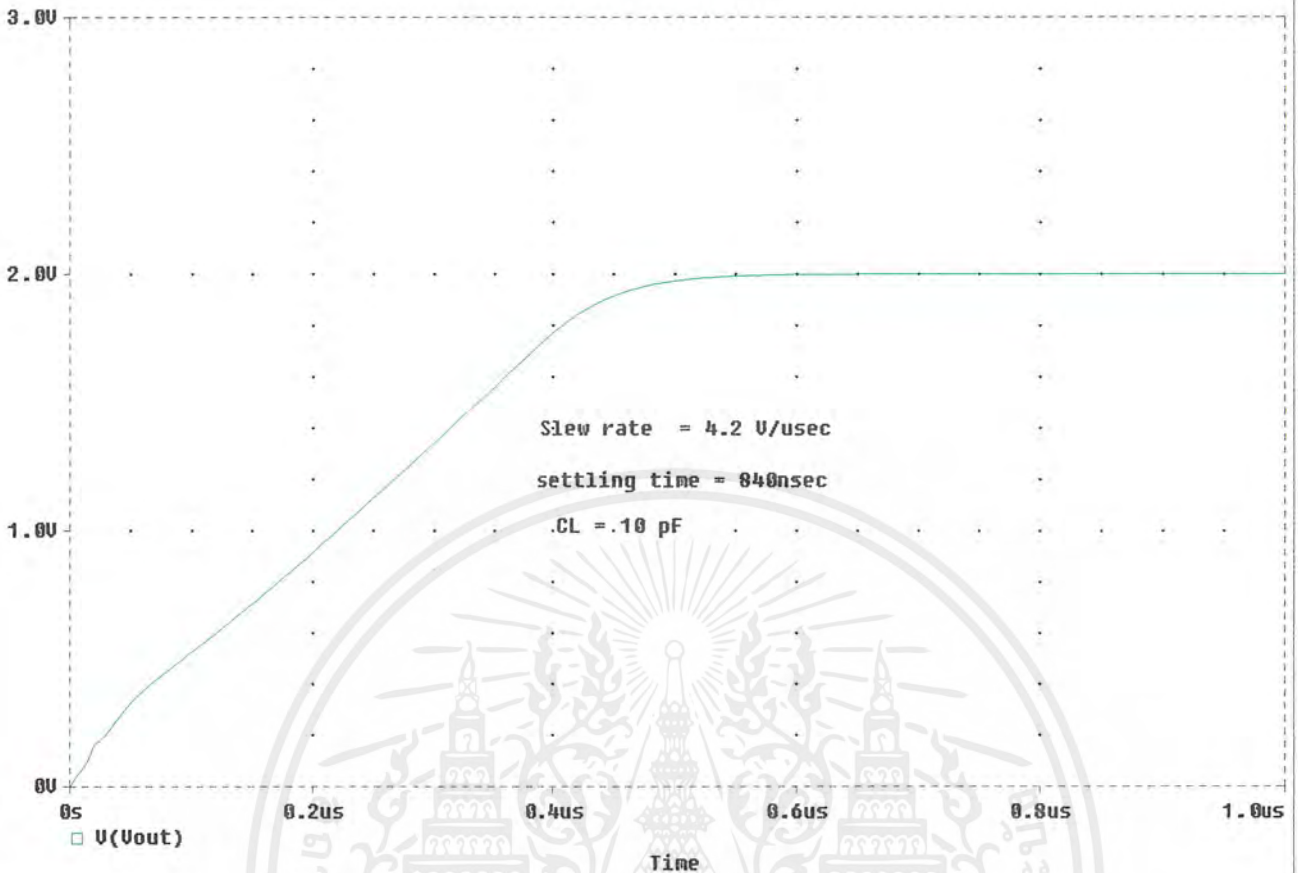
(E) C:\MSIM53\ART333.DAT



การทดลองหาค่าอินพุตคอมมอน โหมด

เอกสารนี้เป็นเอกสารที่สงวนไว้สำหรับการใช้งานเพื่อการศึกษาเท่านั้น ไม่อนุญาตให้นำไปใช้ประโยชน์ด้านการค้าไม่ว่ากรณีใดๆ ทั้งสิ้น อีกทั้งห้ามมิให้ตัดแปลงเนื้อหาและต้องอ้างอิงถึงเจ้าของเอกสารทุกครั้งที่มีการนำไปใช้

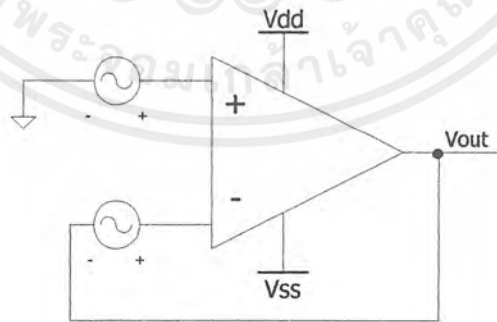
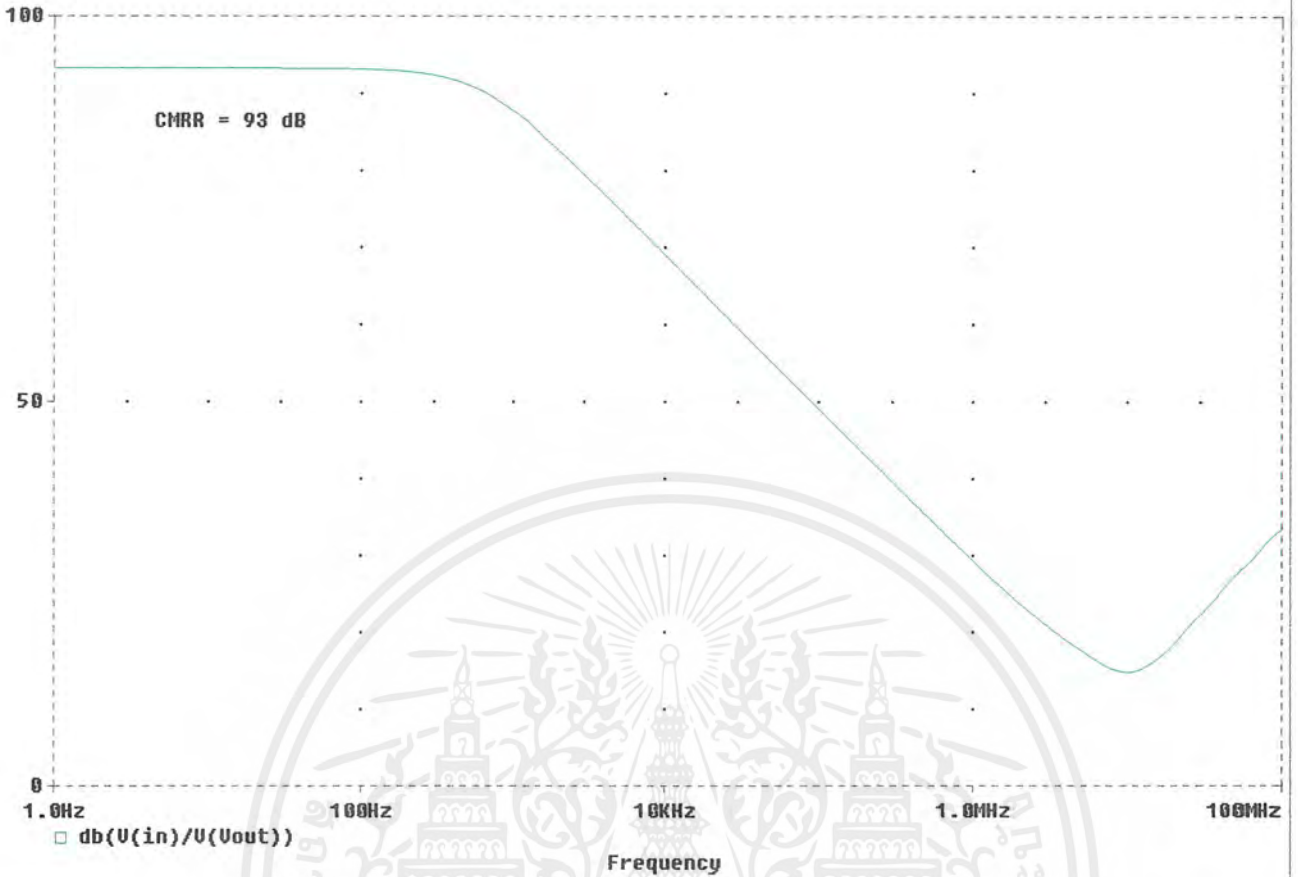
(K) C:\MSIM53\ART333.DAT



การทดลองหาค่า slew rate และ เซ็ทตลิ่งไทม์

เอกสารนี้เป็นเอกสารที่สงวนไว้สำหรับการใช้งานเพื่อการศึกษาเท่านั้น ไม่อนุญาตให้นำไปใช้ประโยชน์ด้านการค้าไม่ว่ากรณีใดๆ ทั้งสิ้น อีกทั้งห้ามมิให้ตัดแปลงเนื้อหาและต้องอ้างอิงถึงเจ้าของเอกสารทุกครั้งที่มีการนำไปใช้

(C) C:\MSIM53\ART333.DAT



การทดลองหาค่าอัตราคอมมอนมอดรีเจ็คชั่น

เอกสารนี้เป็นเอกสารที่สงวนไว้สำหรับการใช้งานเพื่อการศึกษาเท่านั้น ไม่อนุญาตให้นำไปใช้ประโยชน์ด้านการค้าไม่ว่ากรณีใดๆ ทั้งสิ้น อีกทั้งห้ามมิให้ตัดแปลงเนื้อหาและต้องอ้างอิงถึงเจ้าของเอกสารทุกครั้งที่มีการนำไปใช้

5.การทดลองหาค่า

slew rate = 4.2 v/ μ sec

settling time = 840 nsec

6.การทดลองหาค่า PSRR

PSRR (+) = 117.4 dB

PSRR (-) = 110.8 dB

7.การทดลองหาค่า Phase Margin = 83 °

8.การทดลองหาค่า CMRR = 93 dB

ตารางผลการทดลองวงจรโพลด์คาสโคด

Parameter	การทดลอง	Specification	หน่วย
Gain	110.8	>70	dB
GB	3.35	3	MHz
I/P CMR	+5,-4	3.2,-5	V
CL	10	10	pF
SR	4.2	5	v/ μ sec

เอกสารนี้เป็นเอกสารที่สงวนไว้สำหรับการใช้งานเพื่อการศึกษาเท่านั้น ไม่อนุญาตให้นำไปใช้ประโยชน์ด้านการค้า
ไม่ว่ากรณีใดๆ ทั้งสิ้น อีกทั้งห้ามมิให้ตัดแปลงเนื้อหาและต้องอ้างอิงถึงเจ้าของเอกสารทุกครั้งที่มีการนำไปใช้

O/P Swing	-3.7,3.78	4.-4	v
PSRR	110.83	-	dB
CMRR	93	-	dB

ตารางที่ 7.1

7.3 การกำหนดค่าพารามิเตอร์วงจรแรงดันต่ำแบบเรลทูเรล

ออกแบบให้วงจรมีค่าต่างๆดังนี้

1. GB = 1MHz
2. $V_{DD} = -V_{SS} = 2.5v$
3. เฟสมาร์จิ้น > 60 องศา
4. เวลาเซ็ทตลิ่ง (ที่โหลดคาปาซิเตอร์ 10 พิโคฟารัด และความต้านทาน 1 กิโลโอมห์) < 1.2 μ sec
5. SR = 5v/ μ sec
6. Gain > 65dB
7. ค่า نویส์ 200nV ที่ 100 เฮิรตซ์ และ 30nV ที่ 10 กิโลเฮิรตซ์
8. เอาท์พุทสวิง = ± 1 V.
9. channel length = 1 μ m

วิธีการออกแบบ

ส่วนภาคอินพุท

1. หาค่า Gm_i โดยมีค่าเท่ากับ $GB \times C_L$

2. หาขนาดของ M1 จากค่า $gm_i = \frac{Gm_i}{2}$ โดยมี $S_1 = \frac{(gm_i)^2}{2KI_{D1}}$,

$$(S_1 = S_2 = S_{13} = S_{14} = 2S_3 = 2S_4 = 2S_{18} = 2S_{19})$$

3. หาค่า $V_{GS1} = \sqrt{\frac{2I_{D1}}{KS_1}} + V_t$ เพื่อนำไปหาค่า $V_{Db3(sat)}$

$$4. V_{Db3(sat)} = V_{DD} - V_{in_{max}} - V_{GS1}$$

5. นำค่า $V_{Db3(sat)}$ ไปหาขนาด M_{b3} โดยมี $S_{b3} = \frac{2I_{Db3}}{K \times V_{D33(sat)}}$, ($S_{b3} = S_{b4} = 2S_{b5} = 2S_{b6}$)

ส่วนวงจรสะท้อนกระแส

1. หาขนาดของ M_{22} โดยวิธีเดียวกับการหาขนาดของ M_{b3} , ($S_{22} = S_{21} = 2S_{16} = 2S_{17}$)

2. หาขนาดของสวิทช์ M_{15} จาก $S_{15} = \frac{2I_{D15}}{K \times V_{D15(sat)}}$, ($S_{15} = 2S_{20}$)

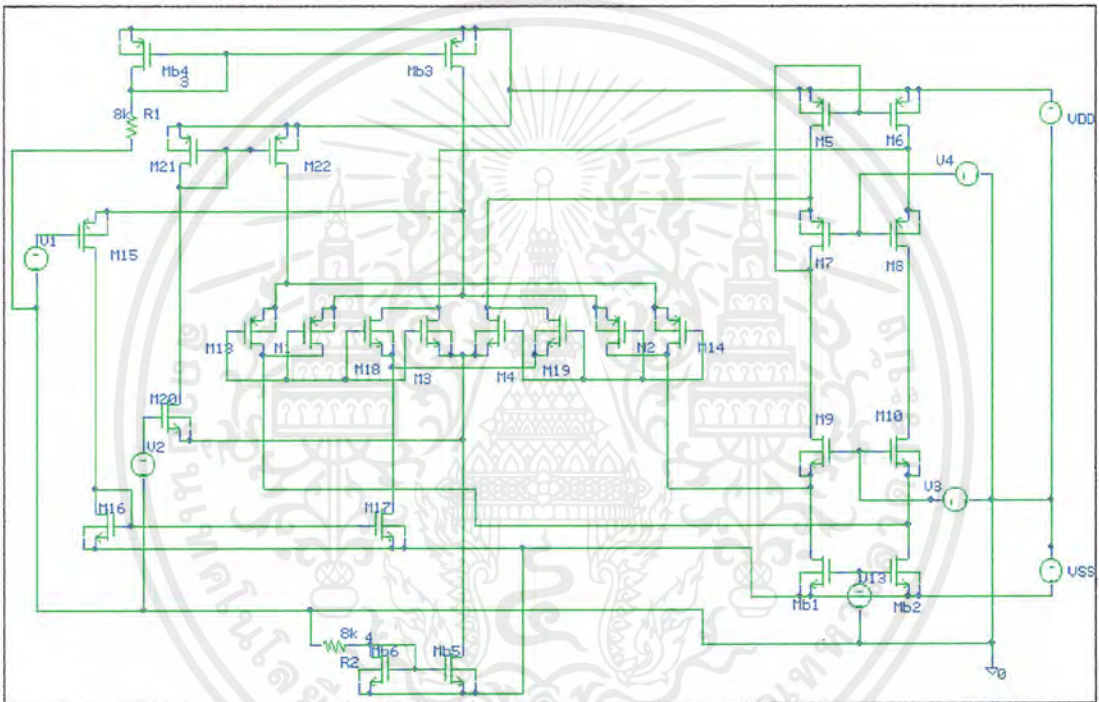
เอกสารนี้เป็นเอกสารที่สงวนไว้สำหรับการใช้งานเพื่อการศึกษาเท่านั้น ไม่อนุญาตให้นำไปใช้ประโยชน์ด้านการค้า ไม่ว่าจะกรณีใดๆ ทั้งสิ้น อีกทั้งห้ามมิให้ตัดแปลงเนื้อหาและต้องอ้างอิงถึงเจ้าของเอกสารทุกครั้งที่มีการนำไปใช้

ส่วนวงจรรวมกระแส

1. หาค่า $V_{D_{Mb1}(sat)} = (V_{in_{min}} + V_I) - V_{SS}$ นำไปหาขนาดของ M_{b1} โดย $S_{b1} = \frac{2I_{Db1}}{K \times V_{Db1}(sat)}$,

$$(S_{b1} = S_{b2} = 2S_5 = 2S_6)$$

2. หาขนาดของ M_9 โดย $S_9 = \frac{2I_{D9}}{K \times V_{D9}(sat)}$, ($S_9 = S_{10} = 2S_7 = 2S_8$)



รูปที่ 7.3 วงจรแรงดันต่ำแบบเรลทูเรลที่ใช้ในการออกแบบ

ส่วนวงจรไบอัสกระแสคงที่

1. กำหนดค่าแรงดันเกต-ซอส เพื่อหาขนาดของ M111 โดย

$$S_{111} = \frac{2I_{111}}{K(V_{Dsat})^2}, (2S_{111} = 2S_{666} = S_{333} = S_{444})$$

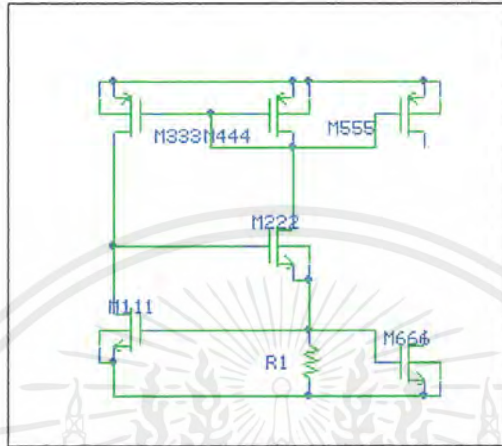
2. หาค่าความต้านทานอ้างอิงจาก

$$IR = V_{GS1} \therefore R = \frac{V_{GS1}}{I_1}$$

3. หาขนาดของ S_{222} จาก

เอกสารนี้เป็นเอกสารที่สงวนไว้สำหรับการใช้งานเพื่อการศึกษาเท่านั้น ไม่อนุญาตให้นำไปใช้ประโยชน์ด้านการค้า ไม่ว่าจะกรณีใดๆ ทั้งสิ้น อีกทั้งห้ามมิให้ตัดแปลงเนื้อหาและต้องอ้างอิงถึงเจ้าของเอกสารทุกครั้งที่มีการนำไปใช้

$$S_{222} = \frac{2I_{222}}{K(V_{Dsat})^2}$$



รูปที่ 7.4 วงจรจ่ายกระแส

ภาคเอาต์พุต

1. หาขนาดของ S_{500} โดย $S_{500} = \frac{2I_{max}}{K(V_{D500sat})^2}$

จากนั้นหาค่าแรงดันเกตซอส ของ S_{500} ขณะนำกระแสด้วยค่าไอเดิล (Idling current) โดย

$$V_{GS} = \frac{2I_{idle}}{KS_{500}} + V_t$$

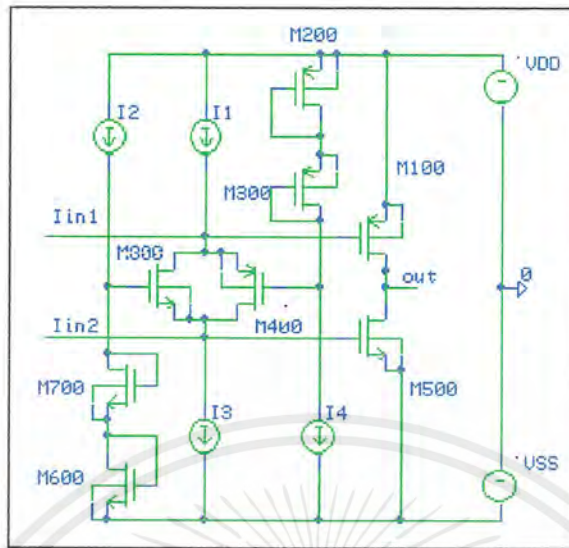
2. จากความสัมพันธ์ $V_{GS500} = V_{GS600}$ จะได้ว่า $I_q = \frac{S_5}{S_6} I_6$ นำมาหาค่าขนาด S_6

3. จากความสัมพันธ์ $V_{GS500} + V_{GS800} = V_{GS600} + V_{GS700}$ จะได้ว่า $\frac{I_{700}}{I_{800}} = \frac{S_{700}}{S_{800}}$

นำค่าอัตราส่วนไปหาค่าขนาด S_{700} และ S_{800}

$$(2S_{500} = S_{100}, 2S_{800} = S_{400}, 2S_{700} = S_{300}, 2S_{600} = S_{200})$$

เอกสารนี้เป็นเอกสารที่สงวนไว้สำหรับการใช้งานเพื่อการศึกษาเท่านั้น ไม่อนุญาตให้นำไปใช้ประโยชน์ด้านการค้า ไม่ว่าจะกรณีใดๆ ทั้งสิ้น อีกทั้งห้ามมิให้ตัดแปลงเนื้อหาและต้องอ้างอิงถึงเจ้าของเอกสารทุกครั้งที่มีการนำไปใช้



รูปที่ 7.5 วงจรภาคเอาต์พุต

การจำลองโดยโปรแกรม

ผลการทดลองโดยโปรแกรม P-Spice(LEVEL = 3)

1.การทดลองหาค่าแรงดันอินพุตออฟเซ็ท

NODE VOLTAGE NODE VOLTAGE NODE VOLTAGE NODE VOLTAGE

(1)1.1263 (2)-1.1245 (3) .8323 (4) -.8013

(555) .8162 (666)1.3935 (888)-1.3934 (999) -1.1612

(offset) 514.3E-06

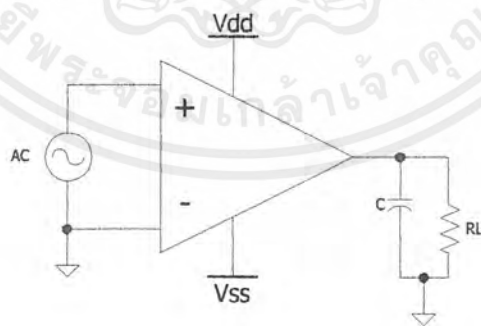
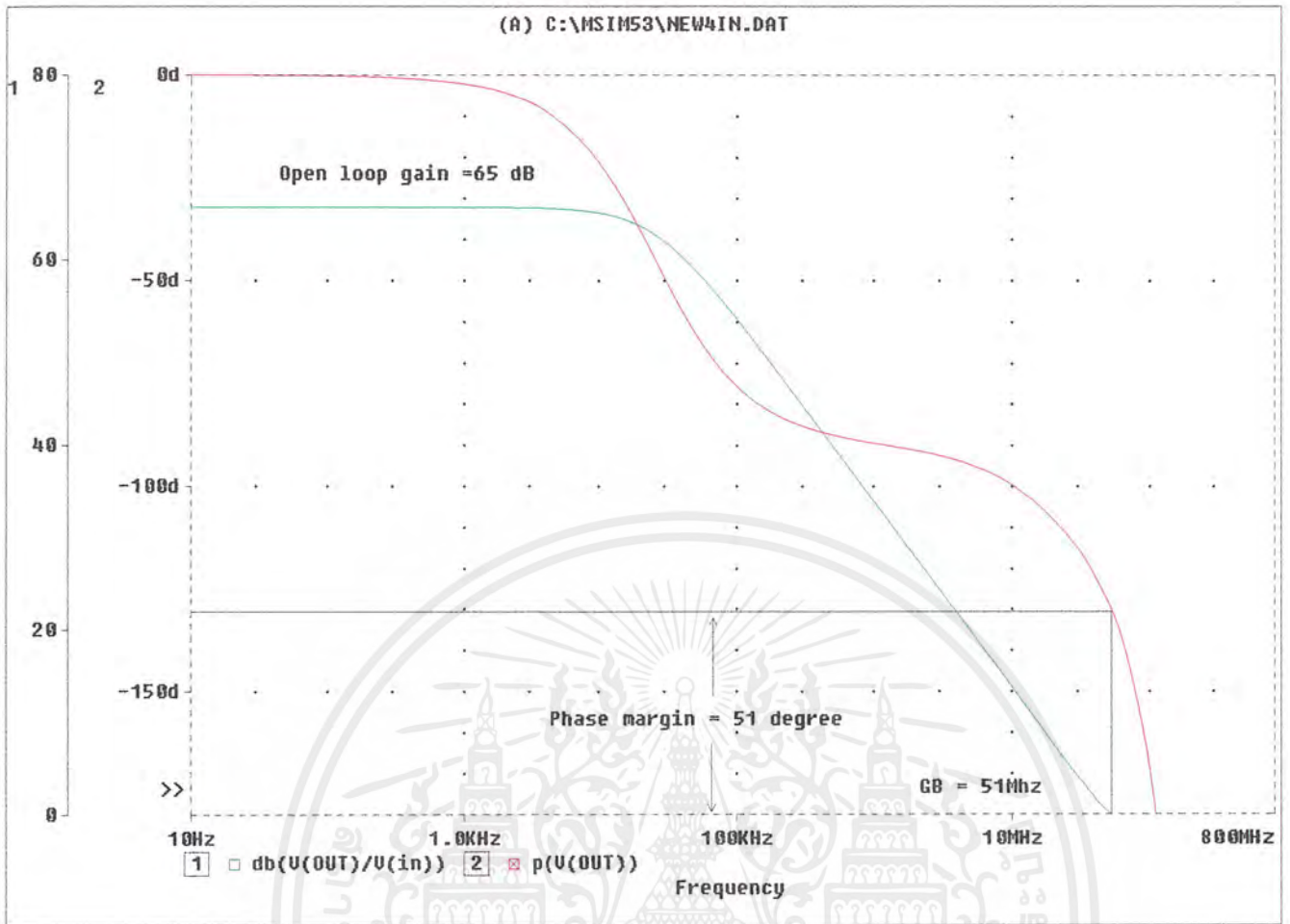
2.การทดลองหาค่า Unity gain frequency = 51MHz

3.การทดลองหาค่า Open loop gain = 65 dB

4.การทดลองหาค่า Input CMR = 2.4V,-2.2V

5. การทดลองหาค่าเอาต์พุต โวลเตจสวิง = 2.4V,-2.2V

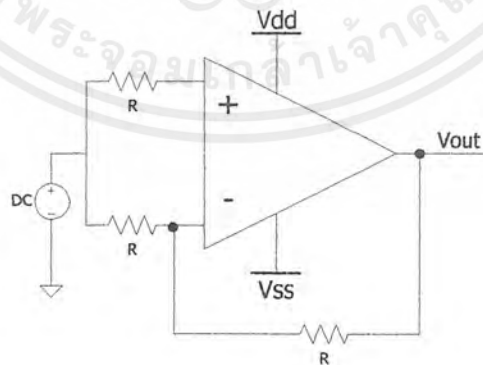
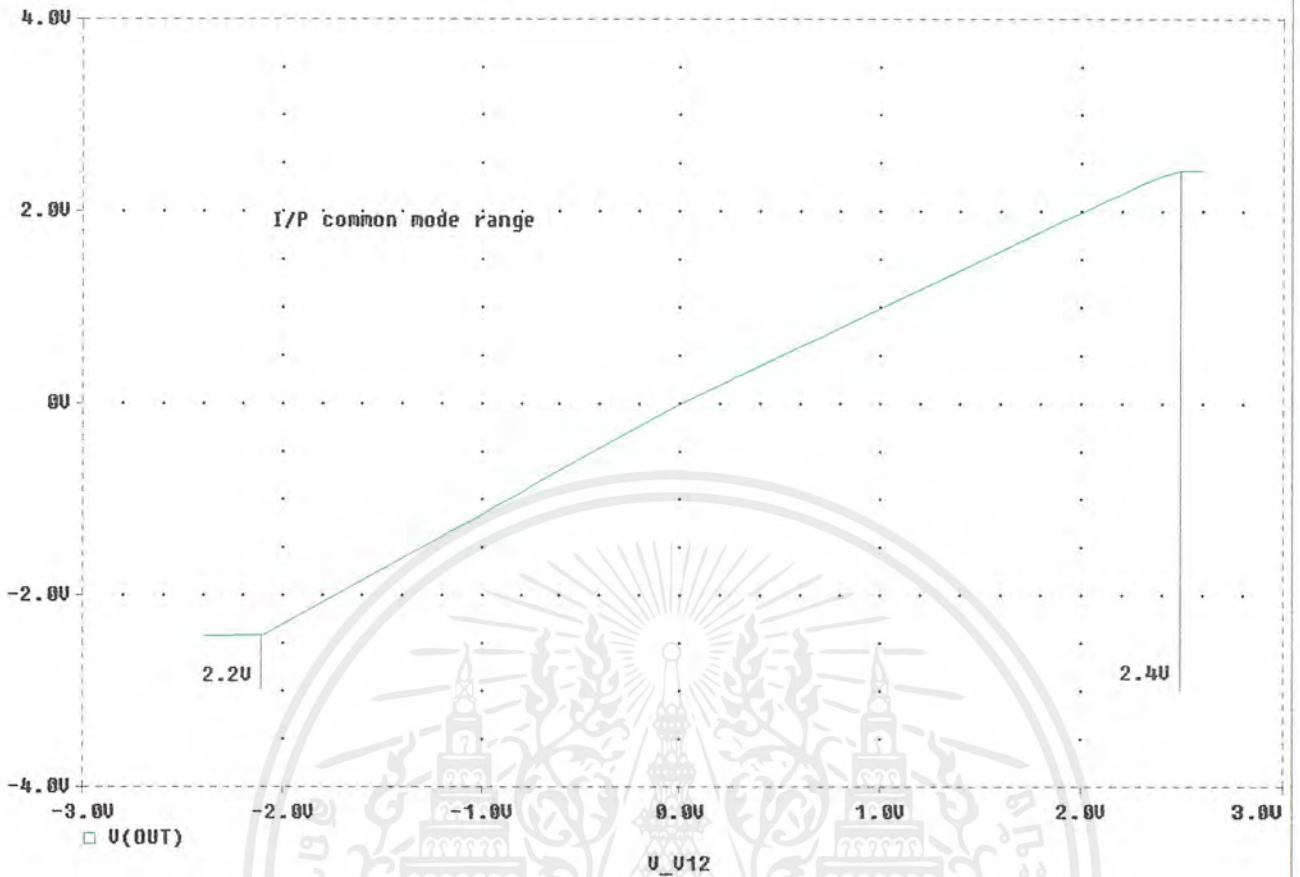
เอกสารนี้เป็นเอกสารที่สงวนไว้สำหรับการใช้งานเพื่อการศึกษาเท่านั้น ไม่อนุญาตให้นำไปใช้ประโยชน์ด้านการค้า ไม่ว่าจะกรณีใดๆ ทั้งสิ้น อีกทั้งห้ามมิให้ตัดแปลงเนื้อหาและต้องอ้างอิงถึงเจ้าของเอกสารทุกครั้งที่มีการนำไปใช้



การทดลองหาค่าอัตราขยายโอเพ่นลูปและเฟสมาร์จิ้น

เอกสารนี้เป็นเอกสารที่สงวนไว้สำหรับการใช้งานเพื่อการศึกษาเท่านั้น ไม่อนุญาตให้นำไปใช้ประโยชน์ด้านการค้าไม่ว่ากรณีใดๆ ทั้งสิ้น อีกทั้งห้ามมิให้ตัดแปลงเนื้อหาและต้องอ้างอิงถึงเจ้าของเอกสารทุกครั้งที่มีการนำไปใช้

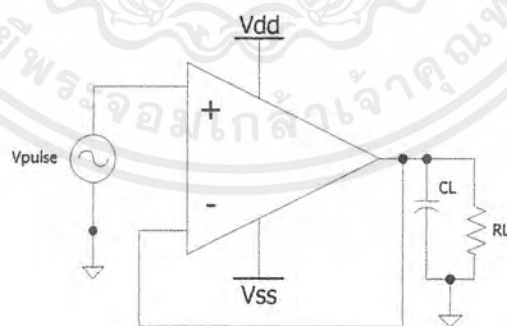
(F) C:\MSIM53\NEW4IN.DAT



การทดลองหาค่าอินพุตคอมมอนโหมด

เอกสารนี้เป็นเอกสารที่สงวนไว้สำหรับการใช้งานเพื่อการศึกษาเท่านั้น ไม่อนุญาตให้นำไปใช้ประโยชน์ด้านการค้าไม่ว่ากรณีใดๆ ทั้งสิ้น อีกทั้งห้ามมิให้ตัดแปลงเนื้อหาและต้องอ้างอิงถึงเจ้าของเอกสารทุกครั้งที่มีการนำไปใช้

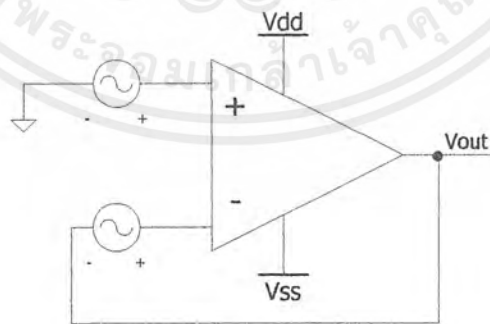
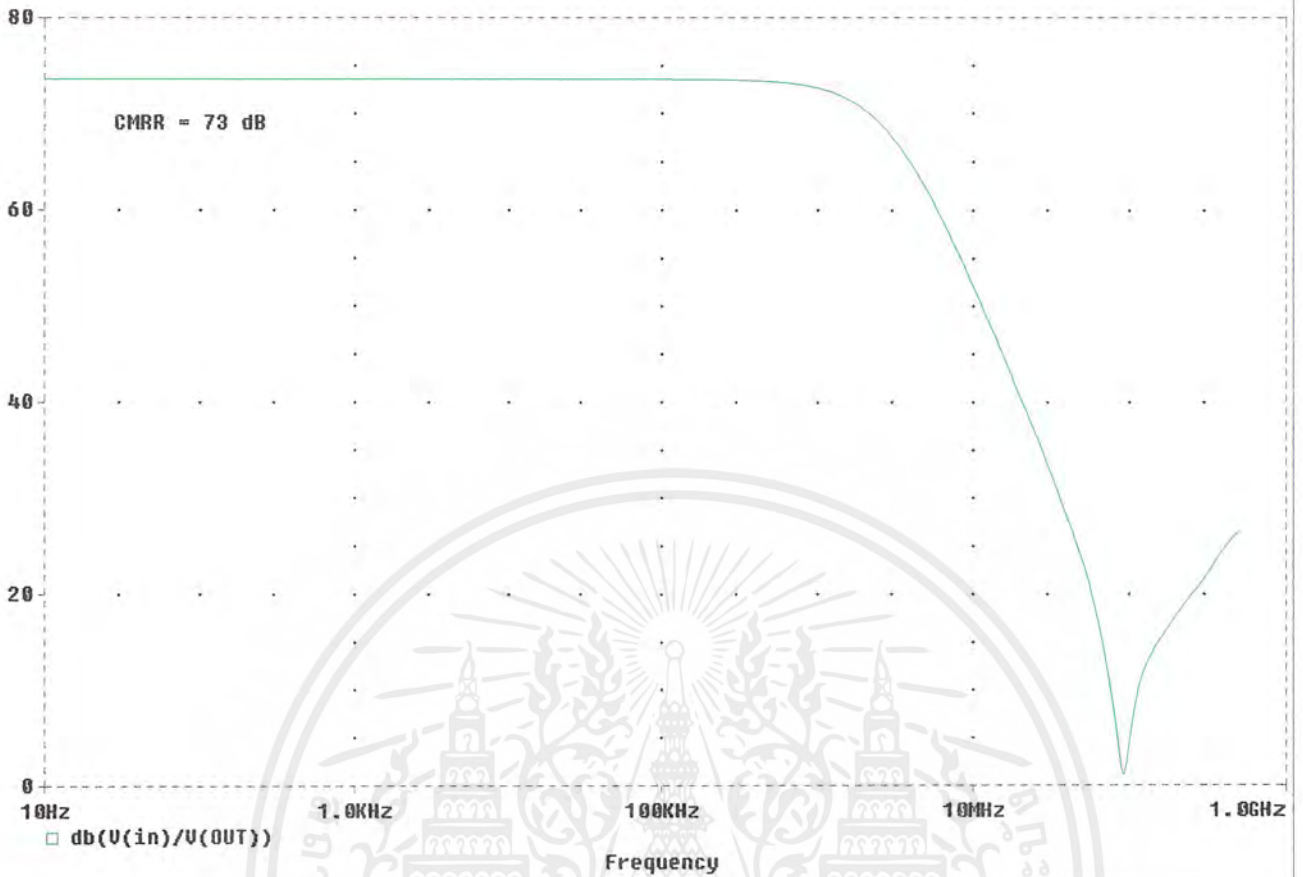
(B) C:\MSIM53\NEW4IN.DAT



การทดลองหาค่าสlew rate และเซ็ทตลิ่งไทม์

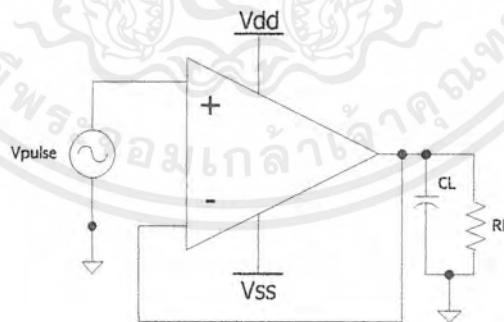
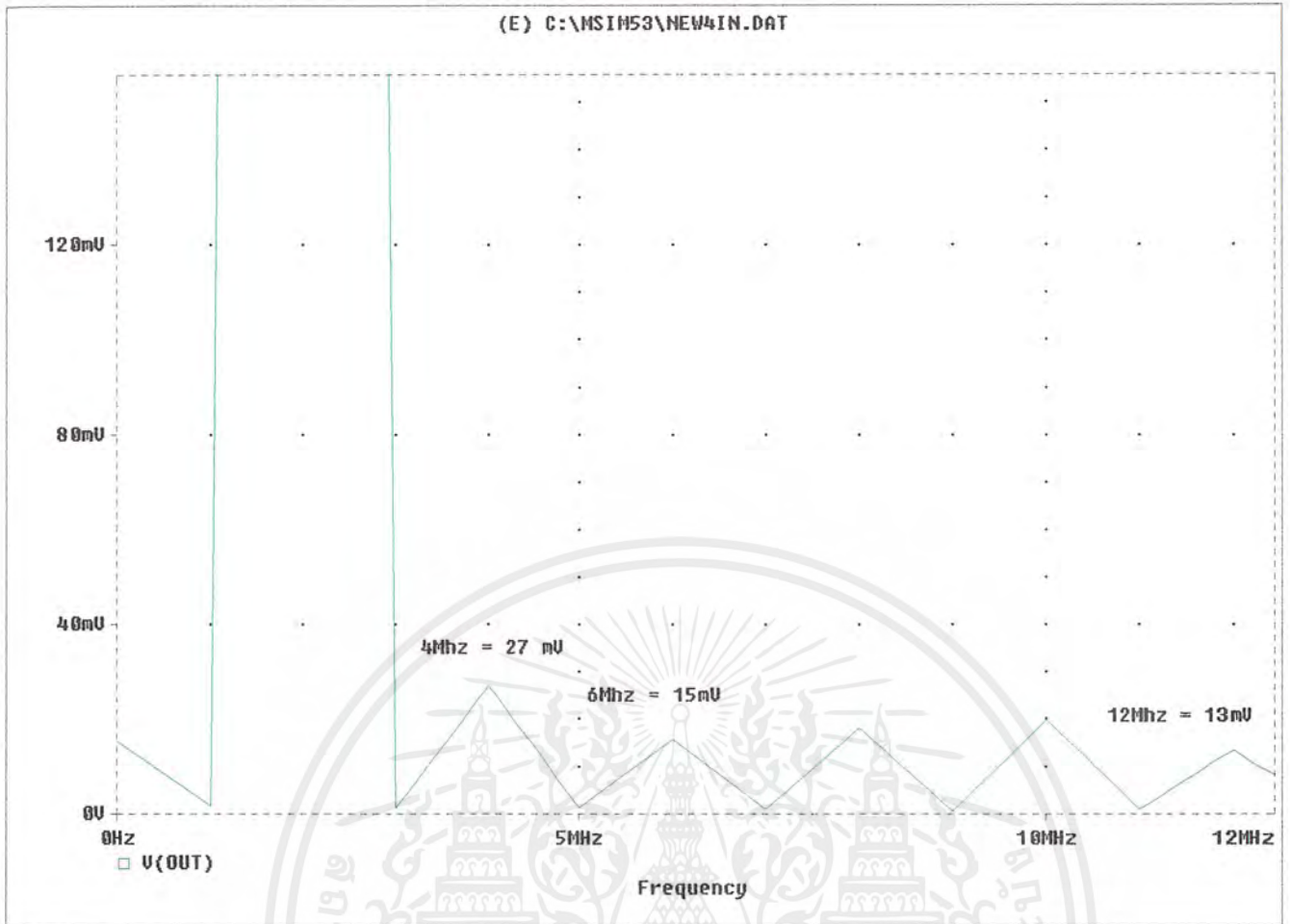
เอกสารนี้เป็นเอกสารที่สงวนไว้สำหรับการใช้งานเพื่อการศึกษาเท่านั้น ไม่อนุญาตให้นำไปใช้ประโยชน์ด้านการค้าไม่ว่ากรณีใดๆ ทั้งสิ้น อีกทั้งห้ามมิให้ตัดแปลงเนื้อหาและต้องอ้างอิงถึงเจ้าของเอกสารทุกครั้งที่มีการนำไปใช้

(G) C:\MSIM53\NEW4IN.DAT



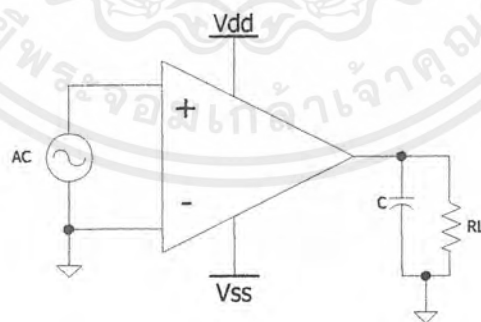
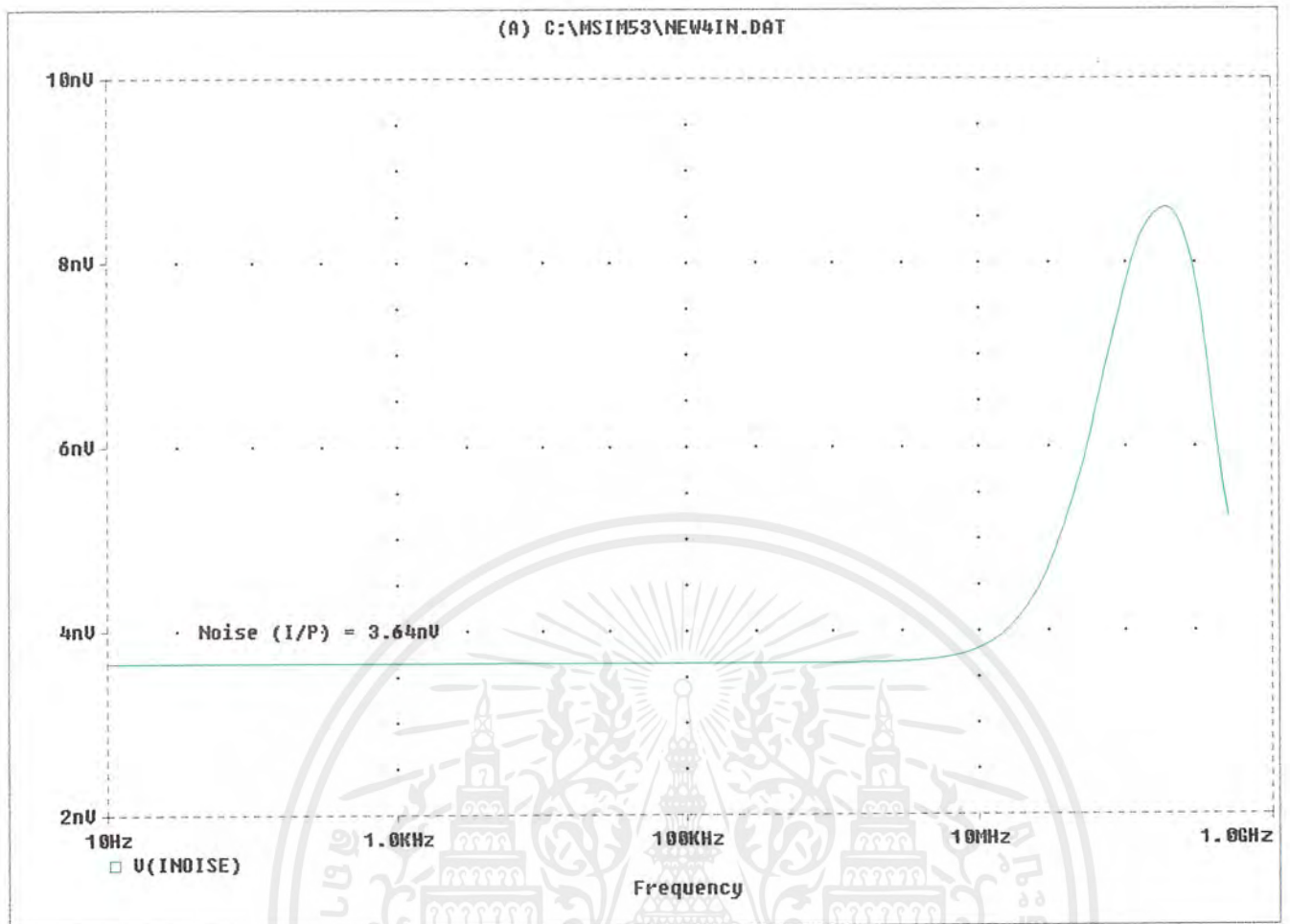
การทดลองหาค่าอัตราคอมมอนครีเจ็ชั่น

เอกสารนี้เป็นเอกสารที่สงวนไว้สำหรับการใช้งานเพื่อการศึกษาเท่านั้น ไม่อนุญาตให้นำไปใช้ประโยชน์ด้านการค้าไม่ว่ากรณีใดๆ ทั้งสิ้น อีกทั้งห้ามมิให้ตัดแปลงเนื้อหาและต้องอ้างอิงถึงเจ้าของเอกสารทุกครั้งที่มีการนำไปใช้



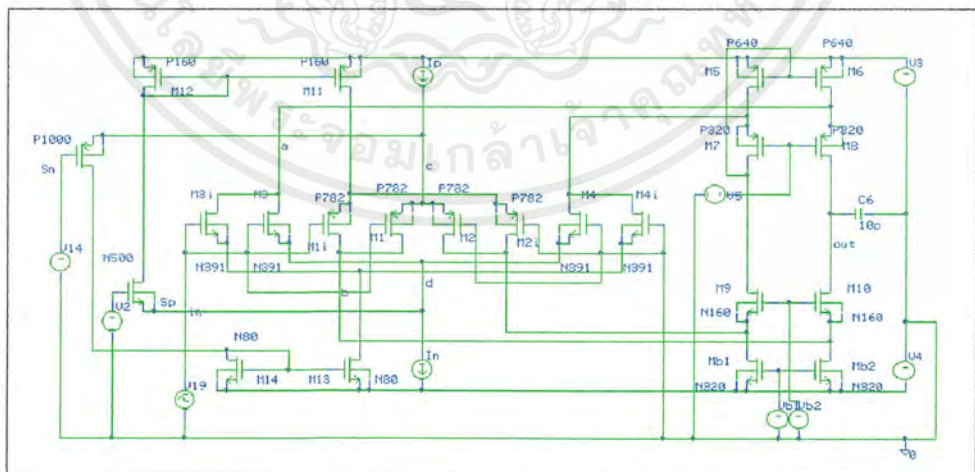
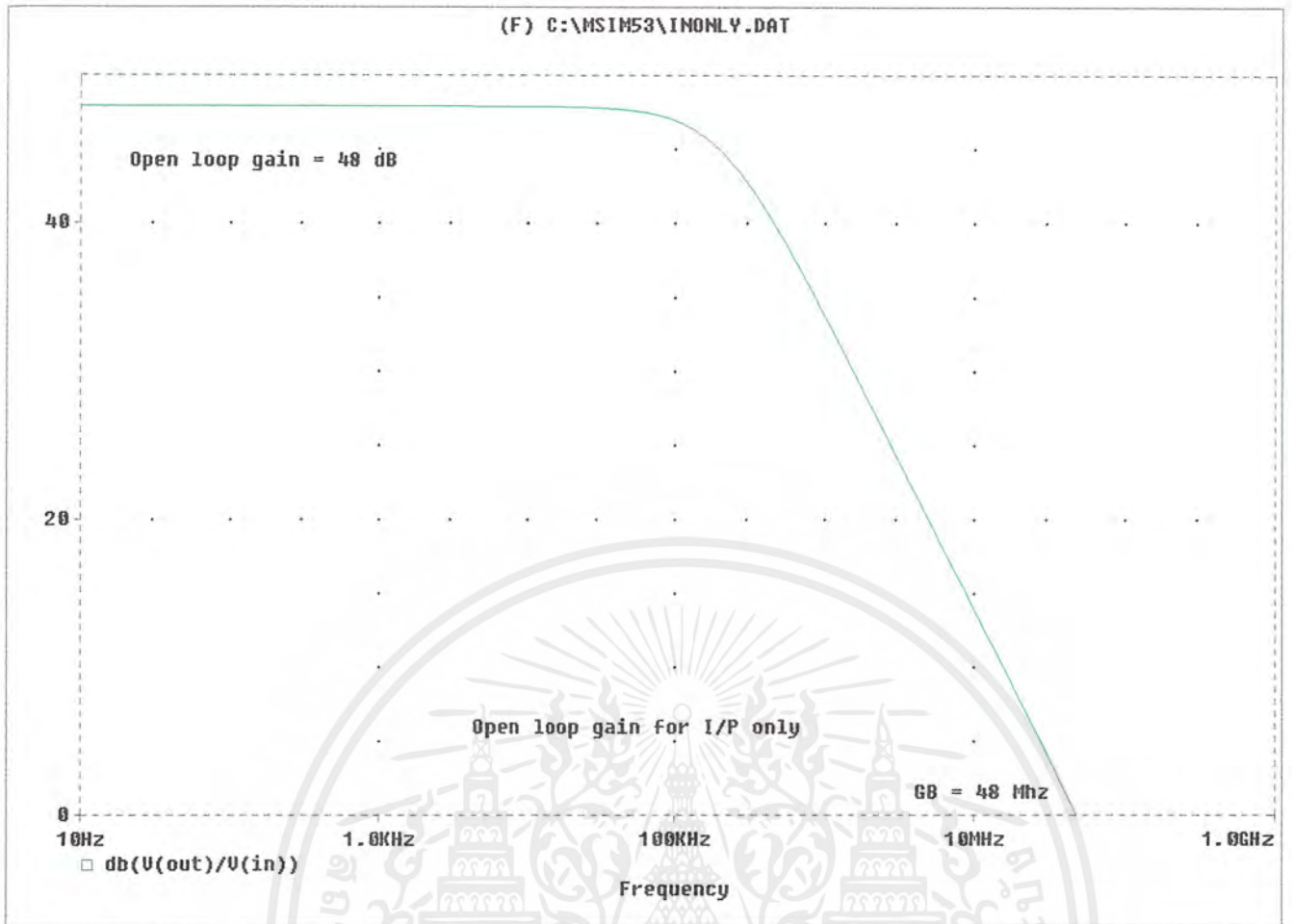
การทดลองหาค่าฮาร์โมนิคส์คิสทอร์ชัน

เอกสารนี้เป็นเอกสารที่สงวนไว้สำหรับการใช้งานเพื่อการศึกษาเท่านั้น ไม่อนุญาตให้นำไปใช้ประโยชน์ด้านการค้าไม่ว่ากรณีใดๆ ทั้งสิ้น อีกทั้งห้ามมิให้ตัดแปลงเนื้อหาและต้องอ้างอิงถึงเจ้าของเอกสารทุกครั้งที่มีการนำไปใช้



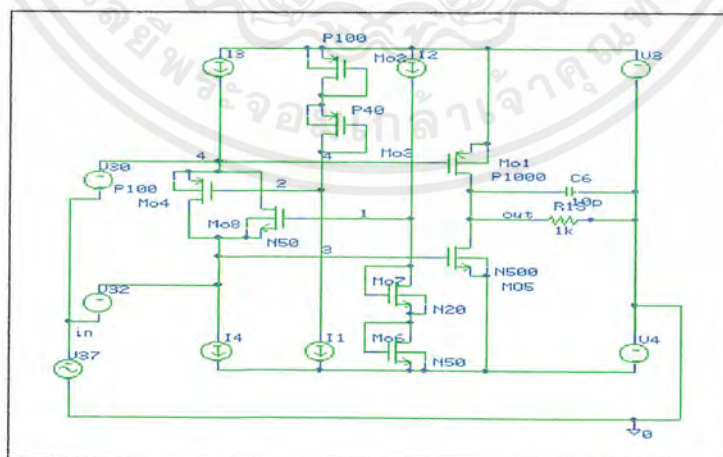
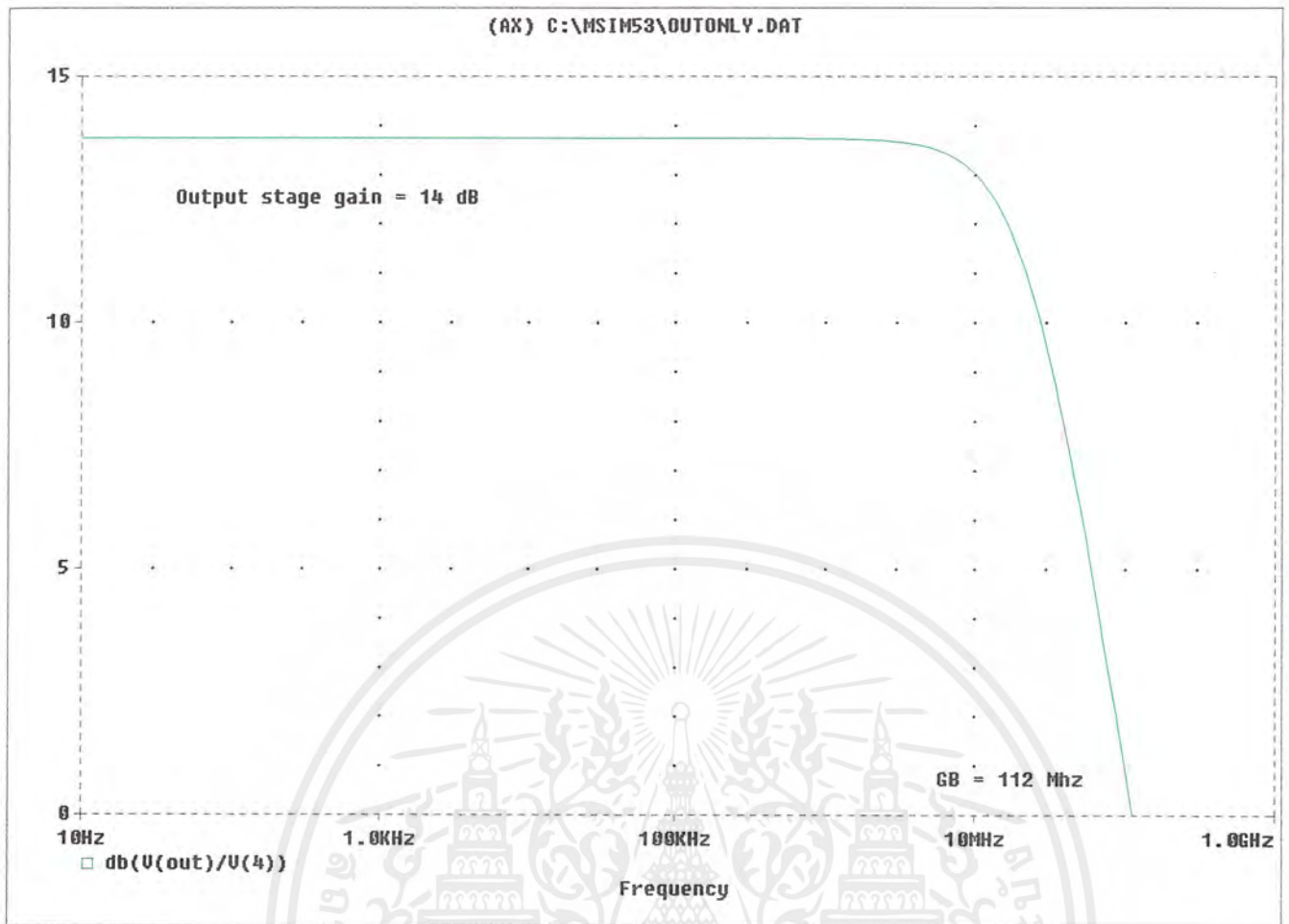
การทดลองหาค่าน้อยซ์ทางอินพุต

เอกสารนี้เป็นเอกสารที่สงวนไว้สำหรับการใช้งานเพื่อการศึกษาเท่านั้น ไม่อนุญาตให้นำไปใช้ประโยชน์ด้านการค้าไม่ว่ากรณีใดๆ ทั้งสิ้น อีกทั้งห้ามมิให้ตัดแปลงเนื้อหาและต้องอ้างอิงถึงเจ้าของเอกสารทุกครั้งที่มีการนำไปใช้



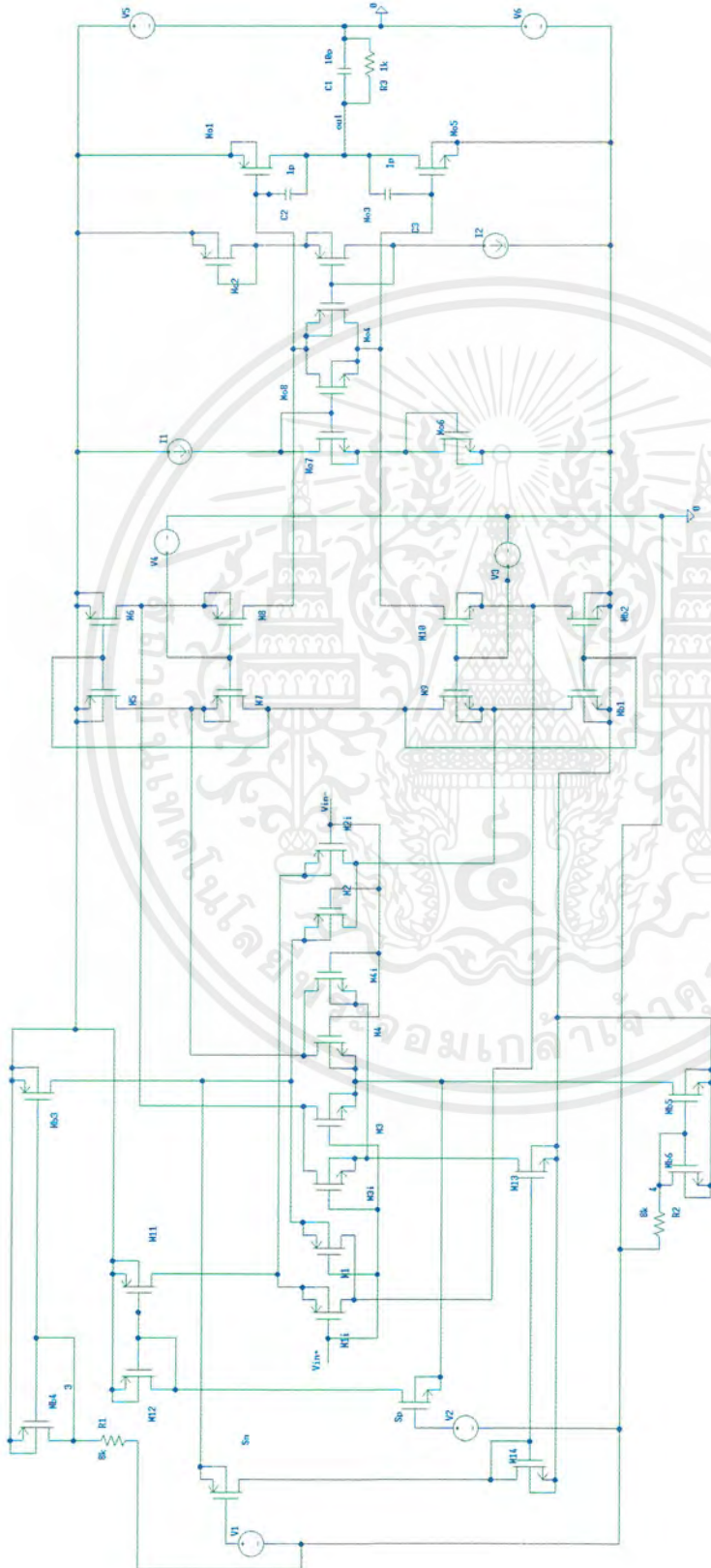
การทดลองหาค่าโอเพ่นลูปเกนภาคอินพุทเพียงอย่างเดียว

เอกสารนี้เป็นเอกสารที่สงวนไว้สำหรับการใช้งานเพื่อการศึกษาเท่านั้น ไม่อนุญาตให้นำไปใช้ประโยชน์ด้านการค้า
ไม่ว่ากรณีใดๆ ทั้งสิ้น อีกทั้งห้ามมิให้ตัดแปลงเนื้อหาและต้องอ้างอิงถึงเจ้าของเอกสารทุกครั้งที่มีการนำไปใช้



การทดลองหาค่าอัตราขยายภาคเอาต์พุตอย่างเดี่ยว

เอกสารนี้เป็นเอกสารที่สงวนไว้สำหรับการใช้งานเพื่อการศึกษาเท่านั้น ไม่อนุญาตให้นำไปใช้ประโยชน์ด้านการค้า ไม่ว่ากรณีใดๆ ทั้งสิ้น อีกทั้งห้ามมิให้ตัดแปลงเนื้อหาและต้องอ้างอิงถึงเจ้าของเอกสารทุกครั้งที่มีการนำไปใช้



เอกสารนี้เป็นเอกสารที่สงวนไว้สำหรับการใช้งานเพื่อการศึกษาเท่านั้น ไม่อนุญาตให้นำไปใช้ประโยชน์ด้านการค้า
 ไม่ว่าจะกรณีใดๆ ทั้งสิ้น อีกทั้งห้ามมิให้คัดแปลงเนื้อหาและต้องอ้างอิงถึงเจ้าของเอกสารทุกครั้งที่มีการนำไปใช้

6. การทดลองหาค่า

slew rate = 38.2 v/usec

settling time = 50 nsec (0.1%)

7. การทดลองหาค่า Phase Margin = 51 °

8. การทดลองหาค่า CMRR = 73 dB

9. การทดลองหาค่า THD = 7.3%

10. การทดลองหาค่าน้อยส์

อินพุต = $3.64 \text{ nV}/\sqrt{\text{Hz}}$

HARMONIC NO	FREQUENCY (HZ)	FOURIER COMPONENT	NORMALIZED COMPONENT	PHASE (DEG)	NORMALIZED PHASE (DEG)
1	5.000E+06	1.880E+00	1.000E+00	-2.042E+01	0.000E+00
2	1.000E+07	1.111E-01	5.910E-02	1.953E+01	3.996E+01
3	1.500E+07	7.484E-02	3.982E-02	1.467E+02	1.671E+02
4	2.000E+07	2.086E-02	1.110E-02	1.770E+02	1.974E+02
5	2.500E+07	2.373E-02	1.263E-02	-1.222E+01	8.208E+00
TOTAL HARMONIC DISTORTION = 7.321617E+00 PERCENT					

เอกสารนี้เป็นเอกสารที่สงวนไว้สำหรับการใช้งานเพื่อการศึกษาเท่านั้น ไม่อนุญาตให้นำไปใช้ประโยชน์ด้านการค้า
ไม่ว่ากรณีใดๆ ทั้งสิ้น อีกทั้งห้ามมิให้ตัดแปลงเนื้อหาและต้องอ้างอิงถึงเจ้าของเอกสารทุกครั้งที่มีการนำไปใช้

ตารางผลการทดลองวงจรแรงดันต่ำ

พารามิเตอร์	การทดลอง	สเปคิฟิเคชัน	หน่วย
อินพุตออฟเซ็ท	514	-	μ Volt
เกนแบนด์วิดท์	51	1	Mhz
อัตราขยายเปิดวงจร	65	60	dB
อินพุตคอมมอนโหมด	2.4, -2.2	-	Volt
เอาต์พุตสวิง	2.4, -2.2	± 1	Volt
สลูว์เรท	38.2	5	Volt/ μ sec
เวลาเซ็ททลิ่ง	50n	1.2 μ	sec
เฟสมาร์จิ้น	51	60	degree
CMRR	73	-	dB
THD	7.3	-	%
นอยซ์	3.64n	200n	Volt/ \sqrt{Hz}

ตารางที่ 7.2

เอกสารนี้เป็นเอกสารที่สงวนไว้สำหรับการใช้งานเพื่อการศึกษาเท่านั้น ไม่อนุญาตให้นำไปใช้ประโยชน์ด้านการค้า
ไม่ว่ากรณีใดๆ ทั้งสิ้น อีกทั้งห้ามมิให้ตัดแปลงเนื้อหาและต้องอ้างอิงถึงเจ้าของเอกสารทุกครั้งที่มีการนำไปใช้

บทที่ 8

สรุปและวิจารณ์ผลการทดลอง

วงจรโพลีคาสโตลเป็นวงจรประยุกต์มาจาก วงจรขยายความแตกต่างแบบแอกทิฟโหลด ซึ่งมีข้อเสียคือสัญญาณแบบคอมมอนโหมดมีค่าได้ไม่สูง และความต้านทานเอาต์พุตมีค่าไม่สูงมาก แก้ไขโดยการใช่วงจรแบบคาสโตล ซึ่งมีปัญหาตามมาคือเอาต์พุตสวิงมีค่าจำกัดด้วยค่าแรงดันอิมิตัวที่ซ้อนกันอยู่ วงจรโพลีคาสโตลสามารถแก้ไขปัญหาเหล่านี้ได้มีความต้านทานเอาต์พุตสูงและอินพุตคอมมอนโหมดสามารถมีค่ามากได้ถึงเรลไครเรลหนึ่ง

สำหรับวงจรแรงดันต่ำข้อสำคัญคือควรมีความสามารถรับสัญญาณคอมมอนโหมดได้สูงๆ เพราะว่าสัญญาณที่มีขนาดเล็กจะมีปัญหาของการรบกวนจากน้อยลงได้ง่าย วงจรจึงควรมีความสามารถรองรับสัญญาณ ได้สูงๆ นั่นคือความสามารถของวงจรแบบเรลทูเรลจะเหมาะสมกับงานประเภทนี้

วงจรแบบเรลทูเรลมีลักษณะเฉพาะเป็นการปรับปรุงจากวงจรโพลีคาสโตลที่สามารถรับสัญญาณสูงได้ถึงเพียงเรลเดียว โดยการขนานอินพุตเข้าไปรองรับสัญญาณอีกเรลหนึ่ง แต่วงจรเรลทูเรลมีปัญหาเรื่องความไม่คงที่ของค่าทรานส์คอนคักเตนซ์ ดังนั้นจะต้องมีวงจรเฉพาะอีกสำหรับควบคุมค่าทรานส์คอนคักเตนซ์ให้มีค่าคงที่ตลอดช่วงของสัญญาณ วงจรควบคุมมีด้วยกันหลายชนิด สามารถเลือกใช้ตามความเหมาะสม ปัญหาอีกประการหนึ่งของวงจรโพลีคาสโตลและวงจรแบบเรลทูเรลที่เหมือนกันคือ ไม่สามารถรองรับโหลดความต้านทานได้ โดยปกติวงจรทั้งสองชนิดจะเหมาะกับโหลดที่เป็นคาปาซิเตอร์ ลักษณะเป็นแบบคอมเพนเสทโดยอัตโนมัติเนื่องจากมีจุดที่มีความต้านทานสูงเพียงจุดเดียว ดังนั้นหากต้องการใช้โหลดที่เป็นความต้านทานจึงจำเป็นต้องมีวงจรภาคเอาต์พุตเป็นตัวขับกระแส ผลเสียก็คือจะเกิดโพลขึ้น ได้อีกหนึ่งจุดซึ่งอาจสร้างปัญหาการฟีดแบ็กได้

จากการทดลองผลส่วนใหญ่มีค่าที่ได้ตามต้องการ สำหรับพารามิเตอร์บางตัวจะ ได้ค่าไม่ได้ตามที่ตั้งไว้คือ เฟสมาร์จิ้นซึ่งแก้ปัญหาได้โดยการจัดการชดเชยความถี่ที่เหมาะสมให้กับวงจร ปัญหาที่พบส่วนใหญ่เกิดจากความเข้าใจในวงจรมีน้อย ใช้เวลาศึกษานาน ซึ่งวงจรที่มีลักษณะต่างกันก็มีแนวคิดต่างกัน นอกจากนี้การทดลองในระดับ 3 ต้องการค่าแบบจำลองมากกว่าที่มีอยู่ซึ่งจะทำให้เกิดการผิดพลาดจากการคำนวณ ปัญหาอีกประการก็คือ โปรแกรมที่ใช้มักมีปัญหาการลู่เข้าของผลลัพธ์ทำให้เสียเวลาในการหาค่าที่เหมาะสมที่จะทำให้มีผลลัพธ์ออกมาได้



เอกสารนี้เป็นเอกสารที่สงวนไว้สำหรับการใช้งานเพื่อการศึกษาเท่านั้น ไม่อนุญาตให้นำไปใช้ประโยชน์ด้านการค้า
ไม่ว่ากรณีใดๆ ทั้งสิ้น อีกทั้งห้ามมิให้ตัดแปลงเนื้อหาและต้องอ้างอิงถึงเจ้าของเอกสารทุกครั้งที่มีการนำไปใช้

1. ผลการรันโปรแกรมหาค่าไบอัสวงจรรูปแอมป์แบบโพลต์กาลโคด

MOSFET MODEL PARAMETERS

P710	P800	N100	N50
PMOS	PMOS	NMOS	NMOS
LEVEL	1	1	1
TPG	0	0	0
L	10.000000E-06	10.000000E-06	10.000000E-06
W	710.000000E-06	800.000000E-06	156.000000E-06
LD	1.200000E-06	1.200000E-06	1.200000E-06
WD	1.400000E-06	1.400000E-06	1.400000E-06
VTO	-1	-1	1
KP	10.000000E-06	10.000000E-06	20.000000E-06
GAMMA	.4	.4	.4
PHI	.65	.61218	.65
LAMBDA	.01	.01	10.000000E-06
RD	2	2	2
RS	2	2	2
RG	2	2	2
PBSW	.8	.8	.8
CJ	144.039000E-06	144.039000E-06	227.745700E-06
TT	80.000000E-09	80.000000E-09	100.000000E-09
CGSO	414.000000E-12	414.000000E-12	414.000000E-12
CGDO	414.000000E-12	414.000000E-12	414.000000E-12
CGBO	161.000000E-12	161.000000E-12	161.000000E-12
NSUB	2.000000E+15	2.000000E+15	5.000000E+15
TOX	100.000000E-09	100.000000E-09	100.000000E-09

เอกสารนี้เป็นเอกสารที่สงวนไว้สำหรับการใช้งานเพื่อการศึกษาเท่านั้น ไม่อนุญาตให้นำไปใช้ประโยชน์ด้านการค้า
ไม่ว่ากรณีใดๆ ทั้งสิ้น อีกทั้งห้ามมิให้ตัดแปลงเนื้อหาและต้องอ้างอิงถึงเจ้าของเอกสารทุกครั้งที่มีการนำไปใช้

	P350	P10
PMOS	PMOS	
LEVEL	1	1
TPG	0	0
V _L	10.000000E-06	10.000000E-06
W	350.000000E-06	10.000000E-06
LD	1.200000E-06	1.200000E-06
WD	1.400000E-06	1.400000E-06
VTO	-1	-1
KP	10.000000E-06	10.000000E-06
GAMMA	.4	.4
PHI	.65	.65
LAMBDA	.01	.01
RD	2	2
RS	2	2
RG	2	2
PBSW	.8	.8
CJ	144.039000E-06	144.039000E-06
TT	80.000000E-09	80.000000E-09
CGSO	414.000000E-12	414.000000E-12
CGDO	414.000000E-12	414.000000E-12
CGBO	161.000000E-12	161.000000E-12
NSUB	2.000000E+15	2.000000E+15
TOX	100.000000E-09	100.000000E-09

เอกสารนี้เป็นเอกสารที่สงวนไว้สำหรับการใช้งานเพื่อการศึกษาเท่านั้น ไม่อนุญาตให้นำไปใช้ประโยชน์ด้านการค้า
ไม่ว่ากรณีใดๆ ทั้งสิ้น อีกทั้งห้ามมิให้ตัดแปลงเนื้อหาและต้องอ้างอิงถึงเจ้าของเอกสารทุกครั้งที่มีการนำไปใช้

SMALL SIGNAL BIAS SOLUTION TEMPERATURE = 27.000 DEG C

NODE VOLTAGE NODE VOLTAGE NODE VOLTAGE NODE VOLTAGE

(1) -5.0000 (2) -4.5011 (3) -4.0015 (4) -3.5017

(5) -3.0017 (6) -2.5016 (7) -2.0014 (8) -1.5012

(9) -1.0008 (10) -.5004 (11) 5.0000 (Vout) 7.382E-06

(vref) 3.5332 (\$N_0001) -3.8380 (\$N_0002) 2.5749

(\$N_0003) 1.2298 (\$N_0004) -3.8421

(\$N_0005) 3.7861 (\$N_0006) 3.7888

VOLTAGE SOURCE CURRENTS

NAME CURRENT

V_V1 -1.506E-04

V_V2 1.002E-04

TOTAL POWER DISSIPATION 1.25E-03 WATTS

OPERATING POINT INFORMATION TEMPERATURE = 27.000 DEG C

เอกสารนี้เป็นเอกสารที่สงวนไว้สำหรับการใช้งานเพื่อการศึกษาเท่านั้น ไม่อนุญาตให้นำไปใช้ประโยชน์ด้านการค้า
ไม่ว่ากรณีใดๆ ทั้งสิ้น อีกทั้งห้ามมิให้ตัดแปลงเนื้อหาและต้องอ้างอิงถึงเจ้าของเอกสารทุกครั้งที่มีการนำไปใช้

MOSFETS

NAME	M_M6	M_M1c	M_M2	M_M5	M_M4
MODEL	N50	N100	P710	P350	P800
ID	5.01E-05	2.43E-05	-2.58E-05	-5.16E-05	-2.43E-05
VGS	2.00E+00	1.34E+00	-1.23E+00	-1.47E+00	-1.21E+00
VDS	1.16E+00	6.41E+00	-5.07E+00	-3.77E+00	-1.21E+00
VBS	0.00E+00	0.00E+00	0.00E+00	0.00E+00	0.00E+00
VTH	1.00E+00	1.00E+00	-1.00E+00	-1.00E+00	-1.00E+00
VDSAT	9.98E-01	3.36E-01	-2.30E-01	-4.67E-01	-2.14E-01
GM	1.00E-04	1.44E-04	2.25E-04	2.21E-04	2.27E-04
GDS	5.01E-10	2.28E-07	2.46E-07	4.97E-07	2.40E-07
GMB	2.49E-05	3.58E-05	5.57E-05	5.49E-05	5.80E-05
CBD	1.00E-19	1.00E-19	8.00E-20	8.00E-20	8.00E-20
CBS	1.39E-19	1.39E-19	1.11E-19	1.11E-19	1.11E-19
CGSOV	1.58E-14	6.34E-14	2.93E-13	1.44E-13	3.30E-13
CGDOV	1.58E-14	6.34E-14	2.93E-13	1.44E-13	3.30E-13
CGBOV	1.22E-15	1.22E-15	1.22E-15	1.22E-15	1.22E-15
CGS	6.68E-14	2.68E-13	1.24E-12	6.07E-13	1.39E-12
CGD	0.00E+00	0.00E+00	0.00E+00	0.00E+00	0.00E+00
CGB	0.00E+00	0.00E+00	0.00E+00	0.00E+00	0.00E+00

NAME	M_M1	M_M3	M_M4c	M_M3c	M_M2c
MODEL	P710	P800	P800	P800	N100
ID	-2.58E-05	-2.43E-05	-2.43E-05	-2.43E-05	2.43E-05
VGS	-1.23E+00	-1.21E+00	-1.21E+00	-1.21E+00	1.34E+00
VDS	-5.07E+00	-1.21E+00	-3.79E+00	-1.21E+00	3.84E+00
VBS	0.00E+00	0.00E+00	0.00E+00	0.00E+00	0.00E+00
VTH	-1.00E+00	-1.00E+00	-1.00E+00	-1.00E+00	1.00E+00
VDSAT	-2.30E-01	-2.14E-01	-2.11E-01	-2.14E-01	3.41E-01
GM	2.25E-04	2.27E-04	2.30E-04	2.27E-04	1.43E-04

เอกสารนี้เป็นเอกสารที่สงวนไว้สำหรับการใช้งานเพื่อการศึกษาเท่านั้น ไม่อนุญาตให้นำไปใช้ประโยชน์ด้านการค้า
ไม่ว่ากรณีใดๆ ทั้งสิ้น อีกทั้งห้ามมิให้ตัดแปลงเนื้อหาและต้องอ้างอิงถึงเจ้าของเอกสารทุกครั้งที่มีการนำไปใช้

GDS	2.46E-07	2.40E-07	2.34E-07	2.40E-07	2.34E-07
GMB	5.57E-05	5.80E-05	5.88E-05	5.80E-05	3.54E-05
CBD	8.00E-20	8.00E-20	8.00E-20	8.00E-20	1.00E-19
CBS	1.11E-19	1.11E-19	1.11E-19	1.11E-19	1.39E-19
CGSOV	2.93E-13	3.30E-13	3.30E-13	3.30E-13	6.34E-14
CGDOV	2.93E-13	3.30E-13	3.30E-13	3.30E-13	6.34E-14
CGBOV	1.22E-15	1.22E-15	1.22E-15	1.22E-15	1.22E-15
CGS	1.24E-12	1.39E-12	1.39E-12	1.39E-12	2.68E-13
CGD	0.00E+00	0.00E+00	0.00E+00	0.00E+00	0.00E+00
CGB	0.00E+00	0.00E+00	0.00E+00	0.00E+00	0.00E+00

NAME	M_M7	M_M8	M_M9	M_M10	M_M11
MODEL	N50	P350	P10	P10	P10
ID	5.01E-05	-5.05E-05	-5.10E-13	-5.10E-13	-5.10E-13
VGS	2.00E+00	-1.47E+00	-5.00E-01	-5.00E-01	-5.00E-01
VDS	1.16E+00	-1.47E+00	-5.00E-01	-5.00E-01	-5.00E-01
VBS	0.00E+00	0.00E+00	0.00E+00	0.00E+00	0.00E+00
VTH	1.00E+00	-1.00E+00	-1.00E+00	-1.00E+00	-1.00E+00
VDSAT	9.98E-01	-4.67E-01	0.00E+00	0.00E+00	0.00E+00
GM	1.00E-04	2.16E-04	0.00E+00	0.00E+00	0.00E+00
GDS	5.01E-10	4.97E-07	0.00E+00	0.00E+00	0.00E+00
GMB	2.49E-05	5.37E-05	0.00E+00	0.00E+00	0.00E+00
CBD	1.00E-19	8.00E-20	8.00E-20	8.00E-20	8.00E-20
CBS	1.39E-19	1.11E-19	1.11E-19	1.11E-19	1.11E-19
CGSOV	1.58E-14	1.44E-13	2.98E-15	2.98E-15	2.98E-15
CGDOV	1.58E-14	1.44E-13	2.98E-15	2.98E-15	2.98E-15
CGBOV	1.22E-15	1.22E-15	1.22E-15	1.22E-15	1.22E-15

เอกสารนี้เป็นเอกสารที่สงวนไว้สำหรับการใช้งานเพื่อการศึกษาเท่านั้น ไม่อนุญาตให้นำไปใช้ประโยชน์ด้านการค้า
ไม่ว่ากรณีใดๆ ทั้งสิ้น อีกทั้งห้ามมิให้ตัดแปลงเนื้อหาและต้องอ้างอิงถึงเจ้าของเอกสารทุกครั้งที่มีการนำไปใช้

CGS	6.68E-14	6.07E-13	0.00E+00	0.00E+00	0.00E+00
CGD	0.00E+00	0.00E+00	0.00E+00	0.00E+00	0.00E+00
CGB	0.00E+00	0.00E+00	5.28E-15	5.28E-15	5.28E-15

NAME	M_M12	M_M13	M_M14	M_M15	M_M16
MODEL	P10	P10	P10	P10	P10
ID	-5.10E-13	-5.10E-13	-5.10E-13	-5.10E-13	-5.10E-13
VGS	-5.00E-01	-5.00E-01	-5.00E-01	-5.00E-01	-5.00E-01
VDS	-5.00E-01	-5.00E-01	-5.00E-01	-5.00E-01	-5.00E-01
VBS	0.00E+00	0.00E+00	0.00E+00	0.00E+00	0.00E+00
VTH	-1.00E+00	-1.00E+00	-1.00E+00	-1.00E+00	-1.00E+00
VDSAT	0.00E+00	0.00E+00	0.00E+00	0.00E+00	0.00E+00
GM	0.00E+00	0.00E+00	0.00E+00	0.00E+00	0.00E+00
GDS	0.00E+00	0.00E+00	0.00E+00	0.00E+00	0.00E+00
GMB	0.00E+00	0.00E+00	0.00E+00	0.00E+00	0.00E+00
CBD	8.00E-20	8.00E-20	8.00E-20	8.00E-20	8.00E-20
CBS	1.11E-19	1.11E-19	1.11E-19	1.11E-19	1.11E-19
CGSOV	2.98E-15	2.98E-15	2.98E-15	2.98E-15	2.98E-15
CGDOV	2.98E-15	2.98E-15	2.98E-15	2.98E-15	2.98E-15
CGBOV	1.22E-15	1.22E-15	1.22E-15	1.22E-15	1.22E-15
CGS	0.00E+00	0.00E+00	0.00E+00	0.00E+00	0.00E+00
CGD	0.00E+00	0.00E+00	0.00E+00	0.00E+00	0.00E+00
CGB	5.28E-15	5.28E-15	5.28E-15	5.28E-15	5.28E-15

NAME	M_M17	M_M118
MODEL	P10	P10
ID	-5.10E-13	-5.09E-13
VGS	-5.00E-01	-4.99E-01
VDS	-5.00E-01	-4.99E-01
VBS	0.00E+00	0.00E+00

เอกสารนี้เป็นเอกสารที่สงวนไว้สำหรับการใช้งานเพื่อการศึกษาเท่านั้น ไม่อนุญาตให้นำไปใช้ประโยชน์ด้านการค้า
ไม่ว่ากรณีใดๆ ทั้งสิ้น อีกทั้งห้ามมิให้ตัดแปลงเนื้อหาและต้องอ้างอิงถึงเจ้าของเอกสารทุกครั้งที่มีการนำไปใช้

VTH	-1.00E+00	-1.00E+00
VDSAT	0.00E+00	0.00E+00
GM	0.00E+00	0.00E+00
GDS	0.00E+00	0.00E+00
GMB	0.00E+00	0.00E+00
CBD	8.00E-20	8.00E-20
CBS	1.11E-19	1.11E-19
CGSOV	2.98E-15	2.98E-15
CGDOV	2.98E-15	2.98E-15
CGBOV	1.22E-15	1.22E-15
CGS	0.00E+00	0.00E+00
CGD	0.00E+00	0.00E+00
CGB	5.28E-15	5.28E-15
JOB CONCLUDED		
TOTAL JOB TIME	2.57	



เอกสารนี้เป็นเอกสารที่สงวนไว้สำหรับการใช้งานเพื่อการศึกษาเท่านั้น ไม่อนุญาตให้นำไปใช้ประโยชน์ด้านการค้า
ไม่ว่ากรณีใดๆ ทั้งสิ้น อีกทั้งห้ามมิให้ตัดแปลงเนื้อหาและต้องอ้างอิงถึงเจ้าของเอกสารทุกครั้งที่มีการนำไปใช้

2. ผลการรันโปรแกรมหาค่าไปอัสวงจรรอบแอมป์แรงดันต่ำแบบเรลทูเรล

MOSFET MODEL PARAMETERS

P782	P160	P320	P640
PMOS	PMOS	PMOS	PMOS
LEVEL 3	3	3	3
TPG 0	0	0	0
L 1.000000E-06	1.000000E-06	1.000000E-06	1.000000E-06
W 782.000000E-06	160.000000E-06	640.000000E-06	640.000000E-06
WD 1.400000E-06	1.400000E-06	1.400000E-06	1.400000E-06
VTO -.8	-.8	-.8	-.8
KP 10.000000E-06	10.000000E-06	10.000000E-06	10.000000E-06
GAMMA .4	.4	.4	.4
PHI .65	.65	.65	.65
LAMBDA 646.578700E-15	646.578700E-15	646.578700E-15	646.578700E-15
RD 2	2	2	2
RG 2	2	2	2
PBSW .8	.8	.8	.8
CJ 144.039000E-06	144.039000E-06	144.039000E-06	144.039000E-06
TT 80.000000E-09	80.000000E-09	80.000000E-09	80.000000E-09
CGSO 414.000000E-12	414.000000E-12	414.000000E-12	414.000000E-12
CGDO 414.000000E-12	414.000000E-12	414.000000E-12	414.000000E-12
CGBO 161.000000E-12	161.000000E-12	161.000000E-12	161.000000E-12
NSUB 2.000000E+15	2.000000E+15	2.000000E+15	2.000000E+15
TOX 100.000000E-09	100.000000E-09	100.000000E-09	100.000000E-09

เอกสารนี้เป็นเอกสารที่สงวนไว้สำหรับการใช้งานเพื่อการศึกษาเท่านั้น ไม่อนุญาตให้นำไปใช้ประโยชน์ด้านการค้า
ไม่ว่ากรณีใดๆ ทั้งสิ้น อีกทั้งห้ามมิให้ตัดแปลงเนื้อหาและต้องอ้างอิงถึงเจ้าของเอกสารทุกครั้งที่มีการนำไปใช้

P1000	P40	P100	N391
PMOS	PMOS	PMOS	NMOS
LEVEL 3	3	3	3
TPG 0	0	0	0
L 1.000000E-06	1.000000E-06	1.000000E-06	1.000000E-06
W 1.000000E-03	40.000000E-06	100.000000E-06	391.000000E-06
WD 1.400000E-06	1.400000E-06	1.400000E-06	1.400000E-06
VTO -.8	-.8	-.8	.8
KP 10.000000E-06	10.000000E-06	10.000000E-06	20.000000E-06
GAMMA .4	.4	.4	.4
PHI .65	.65	.65	.65
LAMBDA 646.578700E-15	646.578700E-15	646.578700E-15	646.578700E-15
RD 2	2	2	2
RG 2	2	2	2
PBSW .8	.8	.8	.8
CJ 144.039000E-06	144.039000E-06	144.039000E-06	144.039000E-06
TT 80.000000E-09	80.000000E-09	80.000000E-09	80.000000E-09
CGSO 414.000000E-12	414.000000E-12	414.000000E-12	414.000000E-12
CGDO 414.000000E-12	414.000000E-12	414.000000E-12	414.000000E-12
CGBO 161.000000E-12	161.000000E-12	161.000000E-12	161.000000E-12
NSUB 2.000000E+15	2.000000E+15	2.000000E+15	2.000000E+15
TOX 100.000000E-09	100.000000E-09	100.000000E-09	100.000000E-09

เอกสารนี้เป็นเอกสารที่สงวนไว้สำหรับการใช้งานเพื่อการศึกษาเท่านั้น ไม่อนุญาตให้นำไปใช้ประโยชน์ด้านการค้า
ไม่ว่ากรณีใดๆ ทั้งสิ้น อีกทั้งห้ามมิให้ตัดแปลงเนื้อหาและต้องอ้างอิงถึงเจ้าของเอกสารทุกครั้งที่มีการนำไปใช้

	N80	N320	N160	N500
NMOS	NMOS	NMOS	NMOS	NMOS
LEVEL	3	3	3	3
TPG	0	0	0	0
L	1.000000E-06	1.000000E-06	1.000000E-06	1.000000E-06
W	80.000000E-06	320.000000E-06	320.000000E-06	500.000000E-06
WD	1.400000E-06	1.400000E-06	1.400000E-06	1.400000E-06
VTO	.8	.8	.8	.8
KP	20.000000E-06	20.000000E-06	20.000000E-06	20.000000E-06
GAMMA	.4	.4	.4	.4
PHI	.65	.65	.65	.65
LAMBDA	646.578700E-15	646.578700E-15	646.578700E-15	646.578700E-15
RD	2	2	2	2
RG	2	2	2	2
PBSW	.8	.8	.8	.8
CJ	144.039000E-06	144.039000E-06	144.039000E-06	144.039000E-06
TT	80.000000E-09	80.000000E-09	80.000000E-09	80.000000E-09
CGSO	414.000000E-12	414.000000E-12	414.000000E-12	414.000000E-12
CGDO	414.000000E-12	414.000000E-12	414.000000E-12	414.000000E-12
CGBO	161.000000E-12	161.000000E-12	161.000000E-12	161.000000E-12
NSUB	2.000000E+15	2.000000E+15	2.000000E+15	2.000000E+15
TOX	100.000000E-09	100.000000E-09	100.000000E-09	100.000000E-09

เอกสารนี้เป็นเอกสารที่สงวนไว้สำหรับการใช้งานเพื่อการศึกษาเท่านั้น ไม่อนุญาตให้นำไปใช้ประโยชน์ด้านการค้า
ไม่ว่ากรณีใดๆ ทั้งสิ้น อีกทั้งห้ามมิให้ตัดแปลงเนื้อหาและต้องอ้างอิงถึงเจ้าของเอกสารทุกครั้งที่มีการนำไปใช้

N20	N50
NMOS	NMOS
LEVEL 3	3
TPG 0	0
L 1.000000E-06	1.000000E-06
W 20.000000E-06	50.000000E-06
WD 1.400000E-06	1.400000E-06
VTO .8	.8
KP 20.000000E-06	20.000000E-06
GAMMA .4	.4
PHI .65	.65
LAMBDA 646.578700E-15	646.578700E-15
RD 2	2
RG 2	2
PBSW .8	.8
CJ 144.039000E-06	144.039000E-06
TT 80.000000E-09	80.000000E-09
CGSO 414.000000E-12	414.000000E-12
CGDO 414.000000E-12	414.000000E-12
CGBO 161.000000E-12	161.000000E-12
NSUB 2.000000E+15	2.000000E+15
TOX 100.000000E-09	100.000000E-09

เอกสารนี้เป็นเอกสารที่สงวนไว้สำหรับการใช้งานเพื่อการศึกษาเท่านั้น ไม่อนุญาตให้นำไปใช้ประโยชน์ด้านการค้า
ไม่ว่ากรณีใดๆ ทั้งสิ้น อีกทั้งห้ามมิให้ตัดแปลงเนื้อหาและต้องอ้างอิงถึงเจ้าของเอกสารทุกครั้งที่มีการนำไปใช้

**** 04/18/100 11:54:16 ***** PSpice 5.3 (Jan 1993) ***** ID# 75225 ****

* C:\MSIM53\NEW4IN.SCH

**** SMALL SIGNAL BIAS SOLUTION TEMPERATURE = 27.000 DEG C

NODE VOLTAGE NODE VOLTAGE NODE VOLTAGE NODE VOLTAGE

(1) -.4244 (3) -1.1786 (4) 1.6249 (OUT) -1.5381

(\$N_0001) .9133 (\$N_0002) -1.6539

(\$N_0003) .8000 (\$N_0004) -1.5977

(\$N_0005) 1.7000 (\$N_0006) 2.5000

(\$N_0007) 1.1000 (\$N_0008) -1.7000

(\$N_0009) 1.4474 (\$N_0010) 1.6741

(\$N_0011) .6500 (\$N_0012) 1.7288

(\$N_0013) .4384 (\$N_0014) 1.5234

(\$N_0015) -.9127 (\$N_0016) -.5364

(\$N_0017) -1.1000 (\$N_0018) -2.5000

(\$N_0019) -.6500 (\$N_0020) -1.4500

(\$N_0021) -1.5208

VOLTAGE SOURCE CURRENTS

NAME CURRENT

V_V1 0.000E+00

V_V2 0.000E+00

V_V3 -8.087E-04

V_V4 -2.347E-03

V_Vb2 0.000E+00

V_Vb1 0.000E+00

V_V5 0.000E+00

TOTAL POWER DISSIPATION 7.89E-03 WATTS

เอกสารนี้เป็นเอกสารที่สงวนไว้สำหรับการใช้งานเพื่อการศึกษาเท่านั้น ไม่อนุญาตให้นำไปใช้ประโยชน์ด้านการค้า
ไม่ว่ากรณีใดๆ ทั้งสิ้น อีกทั้งห้ามมิให้ตัดแปลงเนื้อหาและต้องอ้างอิงถึงเจ้าของเอกสารทุกครั้งที่มีการนำไปใช้

**** 04/18/100 11:54:16 ***** PSpice 5.3 (Jan 1993) ***** ID# 75225 ****

* C:\MSIM53\NEW4IN.SCH

**** OPERATING POINT INFORMATION TEMPERATURE = 27.000 DEG C

**** MOSFETS

NAME	M_M1	M_M1i	M_M2	M_M2i	M_M12
MODEL	P782	P782	P782	P782	P160
ID	-1.01E-04	-2.46E-12	-9.94E-05	-2.41E-12	-2.67E-12
VGS	-9.13E-01	-8.00E-01	-9.13E-01	-8.00E-01	-8.00E-01
VDS	-2.57E+00	-2.45E+00	-2.51E+00	-2.40E+00	-8.00E-01
VBS	0.00E+00	0.00E+00	0.00E+00	0.00E+00	0.00E+00
VTH	-8.00E-01	-8.00E-01	-8.00E-01	-8.00E-01	-8.00E-01
VDSAT	-1.01E-01	0.00E+00	-1.01E-01	0.00E+00	-3.77E-05
GM	1.76E-03	0.00E+00	1.74E-03	0.00E+00	8.75E-08
GDS	2.04E-05	0.00E+00	2.06E-05	0.00E+00	5.50E-13
GMB	4.27E-04	0.00E+00	4.22E-04	0.00E+00	2.17E-08
CBD	8.00E-20	8.00E-20	8.00E-20	8.00E-20	8.00E-20
CBS	1.11E-19	1.11E-19	1.11E-19	1.11E-19	1.11E-19
CGSOV	3.23E-13	3.23E-13	3.23E-13	3.23E-13	6.51E-14
CGDOV	3.23E-13	3.23E-13	3.23E-13	3.23E-13	6.51E-14
CGBOV	1.61E-16	1.61E-16	1.61E-16	1.61E-16	1.61E-16
CGS	1.79E-13	0.00E+00	1.79E-13	0.00E+00	3.62E-14
CGD	0.00E+00	0.00E+00	0.00E+00	0.00E+00	0.00E+00
CGB	0.00E+00	5.35E-14	0.00E+00	5.35E-14	0.00E+00

NAME	M_M11	M_Sn	M_M5	M_M7	M_M8
MODEL	P160	P40	P640	P320	P320
ID	-4.08E-12	-2.62E-12	-2.51E-04	-1.51E-04	-1.46E-04
VGS	-8.00E-01	1.87E-01	-1.05E+00	-1.02E+00	-1.08E+00
VDS	-1.70E+00	-2.61E+00	-8.26E-01	-2.27E-01	-1.04E-01

เอกสารนี้เป็นเอกสารที่สงวนไว้สำหรับการใช้งานเพื่อการศึกษาเท่านั้น ไม่อนุญาตให้นำไปใช้ประโยชน์ด้านการค้า
ไม่ว่ากรณีใดๆ ทั้งสิ้น อีกทั้งห้ามมิให้ตัดแปลงเนื้อหาและต้องอ้างอิงถึงเจ้าของเอกสารทุกครั้งที่มีการนำไปใช้

VBS	0.00E+00	0.00E+00	0.00E+00	0.00E+00	0.00E+00
VTH	-8.00E-01	-8.00E-01	-8.00E-01	-8.00E-01	-8.00E-01
VDSAT	-3.77E-05	0.00E+00	-2.25E-01	-1.99E-01	-2.48E-01
GM	1.12E-07	0.00E+00	1.91E-03	1.19E-03	6.61E-04
GDS	6.15E-13	0.00E+00	8.06E-05	1.76E-04	1.03E-03
GMB	2.77E-08	0.00E+00	4.55E-04	2.86E-04	1.61E-04
CBD	8.00E-20	8.00E-20	8.00E-20	8.00E-20	8.06E-20
CBS	1.11E-19	1.11E-19	1.11E-19	1.11E-19	1.11E-19
CGSOV	6.51E-14	1.54E-14	2.64E-13	2.64E-13	2.64E-13
CGDOV	6.51E-14	1.54E-14	2.64E-13	2.64E-13	2.64E-13
CGBOV	1.61E-16	1.61E-16	1.61E-16	1.61E-16	1.61E-16
CGS	3.62E-14	0.00E+00	1.47E-13	1.47E-13	1.12E-13
CGD	0.00E+00	0.00E+00	0.00E+00	0.00E+00	1.04E-13
CGB	0.00E+00	1.28E-14	0.00E+00	0.00E+00	0.00E+00
NAME	M_M6	M_Mo1	M_Mo3	M_Mo2	M_Mo4
MODEL	P640	P1000	P40	P100	P100
ID	-2.46E-04	-7.18E-05	-2.00E-05	-2.00E-05	-1.46E-04
VGS	-1.05E+00	-8.75E-01	-1.09E+00	-9.77E-01	-1.19E+00
VDS	-7.71E-01	-4.04E+00	-1.09E+00	-9.77E-01	-2.80E+00
VBS	0.00E+00	0.00E+00	0.00E+00	0.00E+00	0.00E+00
VTH	-8.00E-01	-8.00E-01	-8.00E-01	-8.00E-01	-8.00E-01
VDSAT	-2.25E-01	-6.68E-02	-2.54E-01	-1.57E-01	-3.44E-01
GM	1.88E-03	1.90E-03	1.35E-04	2.21E-04	7.28E-04
GDS	8.16E-05	9.03E-06	5.87E-06	5.89E-06	2.96E-05
GMB	4.46E-04	4.66E-04	3.19E-05	5.33E-05	1.69E-04
CBD	8.00E-20	8.00E-20	8.00E-20	8.00E-20	8.00E-20
CBS	1.11E-19	1.11E-19	1.11E-19	1.11E-19	1.11E-19
CGSOV	2.64E-13	4.13E-13	1.54E-14	4.02E-14	4.02E-14
CGDOV	2.64E-13	4.13E-13	1.54E-14	4.02E-14	4.02E-14

เอกสารนี้เป็นเอกสารที่สงวนไว้สำหรับการใช้งานเพื่อการศึกษาเท่านั้น ไม่อนุญาตให้นำไปใช้ประโยชน์ด้านการค้า
ไม่ว่ากรณีใดๆ ทั้งสิ้น อีกทั้งห้ามมิให้ตัดแปลงเนื้อหาและต้องอ้างอิงถึงเจ้าของเอกสารทุกครั้งที่มีการนำไปใช้

CGBOV	1.61E-16	1.61E-16	1.61E-16	1.61E-16	1.61E-16
CGS	1.47E-13	2.30E-13	8.56E-15	2.24E-14	2.24E-14
CGD	0.00E+00	0.00E+00	0.00E+00	0.00E+00	0.00E+00
CGB	0.00E+00	0.00E+00	0.00E+00	0.00E+00	0.00E+00

NAME	M_M3	M_M3i	M_M4	M_Mi	M_Sp
MODEL	N391	N391	N391	N391	N20
ID	1.01E-04	2.28E-12	9.95E-05	2.22E-12	2.62E-12
VGS	9.13E-01	5.36E-01	9.13E-01	5.36E-01	-1.87E-01
VDS	2.64E+00	2.27E+00	2.59E+00	2.21E+00	2.61E+00
VBS	0.00E+00	0.00E+00	0.00E+00	0.00E+00	0.00E+00
VTH	8.00E-01	8.00E-01	8.00E-01	8.00E-01	8.00E-01
VDSAT	1.00E-01	0.00E+00	1.00E-01	0.00E+00	0.00E+00
GM	1.77E-03	0.00E+00	1.75E-03	0.00E+00	0.00E+00
GDS	1.98E-05	0.00E+00	2.00E-05	0.00E+00	0.00E+00
GMB	4.30E-04	0.00E+00	4.25E-04	0.00E+00	0.00E+00
CBD	8.00E-20	8.00E-20	8.00E-20	8.00E-20	8.00E-20
CBS	1.11E-19	1.11E-19	1.11E-19	1.11E-19	1.11E-19
CGSOV	1.61E-13	1.61E-13	1.61E-13	1.61E-13	7.12E-15
CGDOV	1.61E-13	1.61E-13	1.61E-13	1.61E-13	7.12E-15
CGBOV	1.61E-16	1.61E-16	1.61E-16	1.61E-16	1.61E-16
CGS	8.94E-14	0.00E+00	8.94E-14	0.00E+00	0.00E+00
CGD	0.00E+00	0.00E+00	0.00E+00	0.00E+00	0.00E+00
CGB	0.00E+00	3.10E-14	0.00E+00	3.10E-14	5.94E-15

NAME	M_M13	M_M14	M_M9	M_Mb1	M_Mb2
MODEL	N80	N80	N160	N320	N320
ID	4.50E-12	2.65E-12	1.51E-04	2.51E-04	2.46E-04
VGS	8.00E-01	8.00E-01	9.48E-01	1.05E+00	1.05E+00
VDS	1.96E+00	8.00E-01	3.05E+00	9.02E-01	8.46E-01

เอกสารนี้เป็นเอกสารที่สงวนไว้สำหรับการใช้งานเพื่อการศึกษาเท่านั้น ไม่อนุญาตให้นำไปใช้ประโยชน์ด้านการค้า
ไม่ว่ากรณีใดๆ ทั้งสิ้น อีกทั้งห้ามมิให้ตัดแปลงเนื้อหาและต้องอ้างอิงถึงเจ้าของเอกสารทุกครั้งที่มีการนำไปใช้

VBS	0.00E+00	0.00E+00	0.00E+00	0.00E+00	0.00E+00
VTH	8.00E-01	8.00E-01	8.00E-01	8.00E-01	8.00E-01
VDSAT	3.80E-05	3.80E-05	1.31E-01	2.22E-01	2.22E-01
GM	1.18E-07	8.64E-08	2.02E-03	1.94E-03	1.90E-03
GDS	6.42E-13	5.47E-13	2.60E-05	7.77E-05	7.83E-05
GMB	2.93E-08	2.14E-08	4.90E-04	4.61E-04	4.52E-04
CBD	8.00E-20	8.00E-20	8.00E-20	8.00E-20	8.00E-20
CBS	1.11E-19	1.11E-19	1.11E-19	1.11E-19	1.11E-19
CGSOV	3.20E-14	3.20E-14	1.31E-13	1.31E-13	1.31E-13
CGDOV	3.20E-14	3.20E-14	1.31E-13	1.31E-13	1.31E-13
CGBOV	1.61E-16	1.61E-16	1.61E-16	1.61E-16	1.61E-16
CGS	1.78E-14	1.78E-14	7.30E-14	7.30E-14	7.30E-14
CGD	0.00E+00	0.00E+00	0.00E+00	0.00E+00	0.00E+00
CGB	0.00E+00	0.00E+00	0.00E+00	0.00E+00	0.00E+00
NAME	M_M10	M_Mo8	M_MO5	M_Mo7	M_Mo6
MODEL	N160	N50	N500	N20	N50
ID	1.46E-04	2.81E-12	1.61E-03	2.00E-05	2.00E-05
VGS	1.00E+00	7.54E-01	1.32E+00	1.10E+00	9.79E-01
VDS	4.75E-01	2.80E+00	9.62E-01	1.10E+00	9.79E-01
VBS	0.00E+00	0.00E+00	0.00E+00	0.00E+00	0.00E+00
VTH	8.00E-01	8.00E-01	8.00E-01	8.00E-01	8.00E-01
VDSAT	1.81E-01	0.00E+00	4.64E-01	2.64E-01	1.59E-01
GM	1.38E-03	0.00E+00	5.68E-03	1.30E-04	2.18E-04
GDS	6.01E-05	0.00E+00	5.51E-04	5.87E-06	5.89E-06
GMB	3.30E-04	0.00E+00	1.30E-03	3.06E-05	5.24E-05
CBD	8.00E-20	8.00E-20	8.00E-20	8.00E-20	8.00E-20
CBS	1.11E-19	1.11E-19	1.11E-19	1.11E-19	1.11E-19
CGSOV	1.31E-13	1.95E-14	2.06E-13	7.12E-15	1.95E-14
CGDOV	1.31E-13	1.95E-14	2.06E-13	7.12E-15	1.95E-14

เอกสารนี้เป็นเอกสารที่สงวนไว้สำหรับการใช้งานเพื่อการศึกษาเท่านั้น ไม่อนุญาตให้นำไปใช้ประโยชน์ด้านการค้า
ไม่ว่ากรณีใดๆ ทั้งสิ้น อีกทั้งห้ามมิให้ตัดแปลงเนื้อหาและต้องอ้างอิงถึงเจ้าของเอกสารทุกครั้งที่มีการนำไปใช้

CGBOV	1.61E-16	1.61E-16	1.61E-16	1.61E-16	1.61E-16
CGS	7.30E-14	0.00E+00	1.14E-13	3.96E-15	1.09E-14
CGD	0.00E+00	0.00E+00	0.00E+00	0.00E+00	0.00E+00
CGB	0.00E+00	3.32E-15	0.00E+00	0.00E+00	0.00E+00
JOB CONCLUDED					
TOTAL JOB TIME	.32				



เอกสารนี้เป็นเอกสารที่สงวนไว้สำหรับการใช้งานเพื่อการศึกษาเท่านั้น ไม่อนุญาตให้นำไปใช้ประโยชน์ด้านการค้า
ไม่ว่ากรณีใดๆ ทั้งสิ้น อีกทั้งห้ามมิให้ตัดแปลงเนื้อหาและต้องอ้างอิงถึงเจ้าของเอกสารทุกครั้งที่มีการนำไปใช้

3.ผลการหาค่าไบอัสภาคอินพุทอย่างเดี่ยว

MOSFET MODEL PARAMETERS

	P782	P160	P320	P640
	PMOS	PMOS	PMOS	PMOS
LEVEL	3	3	3	3
TPG	0	0	0	0
L	1.000000E-06	1.000000E-06	1.000000E-06	1.000000E-06
W	782.000000E-06	160.000000E-06	640.000000E-06	640.000000E-06
WD	1.400000E-06	1.400000E-06	1.400000E-06	1.400000E-06
VTO	-.8	-.8	-.8	-.8
KP	10.000000E-06	10.000000E-06	10.000000E-06	10.000000E-06
GAMMA	.4	.4	.4	.4
PHI	.65	.65	.65	.65
LAMBDA	646.578700E-15	646.578700E-15	646.578700E-15	646.578700E-15
RD	2	2	2	2
RG	2	2	2	2
PBSW	.8	.8	.8	.8
CJ	144.039000E-06	144.039000E-06	144.039000E-06	144.039000E-06
TT	80.000000E-09	80.000000E-09	80.000000E-09	80.000000E-09
CGSO	414.000000E-12	414.000000E-12	414.000000E-12	414.000000E-12
CGDO	414.000000E-12	414.000000E-12	414.000000E-12	414.000000E-12
CGBO	161.000000E-12	161.000000E-12	161.000000E-12	161.000000E-12
NSUB	2.000000E+15	2.000000E+15	2.000000E+15	2.000000E+15
TOX	100.000000E-09	100.000000E-09	100.000000E-09	100.000000E-09
	N391	N500	N80	N320
	NMOS	NMOS	NMOS	NMOS
LEVEL	3	3	3	3
TPG	0	0	0	0
L	1.000000E-06	1.000000E-06	1.000000E-06	1.000000E-06

เอกสารนี้เป็นเอกสารที่สงวนไว้สำหรับการใช้งานเพื่อการศึกษาเท่านั้น ไม่อนุญาตให้นำไปใช้ประโยชน์ด้านการค้า
ไม่ว่ากรณีใดๆ ทั้งสิ้น อีกทั้งห้ามมิให้ตัดแปลงเนื้อหาและต้องอ้างอิงถึงเจ้าของเอกสารทุกครั้งที่มีการนำไปใช้

W	391.000000E-06	500.000000E-06	80.000000E-06	320.000000E-06
WD	1.400000E-06	1.400000E-06	1.400000E-06	1.400000E-06
VTO	.8	.8	.8	.8
KP	20.000000E-06	20.000000E-06	20.000000E-06	20.000000E-06
GAMMA	.4	.4	.4	.4
PHI	.65	.65	.65	.65
LAMBDA	646.578700E-15	646.578700E-15	646.578700E-15	646.578700E-15
RD	2	2	2	2
RG	2	2	2	2
PBSW	.8	.8	.8	.8
CJ	144.039000E-06	144.039000E-06	144.039000E-06	144.039000E-06
TT	80.000000E-09	80.000000E-09	80.000000E-09	80.000000E-09
CGSO	414.000000E-12	414.000000E-12	414.000000E-12	414.000000E-12
CGDO	414.000000E-12	414.000000E-12	414.000000E-12	414.000000E-12
CGBO	161.000000E-12	161.000000E-12	161.000000E-12	161.000000E-12
NSUB	2.000000E+15	2.000000E+15	2.000000E+15	2.000000E+15
TOX	100.000000E-09	100.000000E-09	100.000000E-09	100.000000E-09
	N160	P1000		
	NMOS	PMOS		
LEVEL	3	3		
TPG	0	0		
L	1.000000E-06	1.000000E-06		
W	320.000000E-06	1.000000E-03		
WD	1.400000E-06	1.400000E-06		
VTO	.8	-.8		
KP	20.000000E-06	10.000000E-06		
GAMMA	.4	.4		
PHI	.65	.65		

เอกสารนี้เป็นเอกสารที่สงวนไว้สำหรับการใช้งานเพื่อการศึกษาเท่านั้น ไม่อนุญาตให้นำไปใช้ประโยชน์ด้านการค้า
ไม่ว่ากรณีใดๆ ทั้งสิ้น อีกทั้งห้ามมิให้ตัดแปลงเนื้อหาและต้องอ้างอิงถึงเจ้าของเอกสารทุกครั้งที่มีการนำไปใช้

LAMBDA	646.578700E-15	646.578700E-15
RD	2	2
RG	2	2
PBSW	.8	.8
CJ	144.039000E-06	144.039000E-06
Tr	80.000000E-09	80.000000E-09
CGSO	414.000000E-12	414.000000E-12
CGDO	414.000000E-12	414.000000E-12
CGBO	161.000000E-12	161.000000E-12
NSUB	2.000000E+15	2.000000E+15
TOX	100.000000E-09	100.000000E-09

SMALL SIGNAL BIAS SOLUTION TEMPERATURE = 27.000 DEG C

NODE VOLTAGE NODE VOLTAGE NODE VOLTAGE NODE VOLTAGE

(a) 1.6737 (b) -1.5975 (c) .9137 (d) -.9130

(in) 0.0000 (out) 1.4474 (\$N_0001) .5818

(\$N_0002) -1.5975 (\$N_0003) 1.7000

(\$N_0004) 2.5000 (\$N_0005) 1.4474

(\$N_0006) 1.6737 (\$N_0007) .6500

(\$N_0008) -.5400 (\$N_0009) -1.1000

(\$N_0010) -2.5000 (\$N_0011) -1.7000

(\$N_0012) -.6500 (\$N_0013) -1.4500

(\$N_0014) 1.1000

เอกสารนี้เป็นเอกสารที่สงวนไว้สำหรับการใช้งานเพื่อการศึกษาเท่านั้น ไม่อนุญาตให้นำไปใช้ประโยชน์ด้านการค้า
ไม่ว่ากรณีใดๆ ทั้งสิ้น อีกทั้งห้ามมิให้ตัดแปลงเนื้อหาและต้องอ้างอิงถึงเจ้าของเอกสารทุกครั้งที่มีการนำไปใช้

TOTAL POWER DISSIPATION 3.51E-03 WATTS

OPERATING POINT INFORMATION TEMPERATURE = 27.000 DEG C

**** MOSFETS

NAME	M_M1	M_M1i	M_M2	M_M2i	M_M12
MODEL	P782	P782	P782	P782	P160
ID	-1.00E-04	-2.19E-12	-1.00E-04	-2.19E-12	-2.62E-12
VGS	-9.14E-01	-5.82E-01	-9.14E-01	-5.82E-01	-8.00E-01
VDS	-2.51E+00	-2.18E+00	-2.51E+00	-2.18E+00	-8.00E-01
VBS	0.00E+00	0.00E+00	0.00E+00	0.00E+00	0.00E+00
VTH	-8.00E-01	-8.00E-01	-8.00E-01	-8.00E-01	-8.00E-01
VDSAT	-1.01E-01	0.00E+00	-1.01E-01	0.00E+00	-3.73E-05
GM	1.74E-03	0.00E+00	1.74E-03	0.00E+00	8.65E-08
GDS	2.07E-05	0.00E+00	2.07E-05	0.00E+00	5.37E-13
GMB	4.24E-04	0.00E+00	4.24E-04	0.00E+00	2.14E-08
CBD	8.00E-20	8.00E-20	8.00E-20	8.00E-20	8.00E-20
CBS	1.11E-19	1.11E-19	1.11E-19	1.11E-19	1.11E-19
CGSOV	3.23E-13	3.23E-13	3.23E-13	3.23E-13	6.51E-14
CGDOV	3.23E-13	3.23E-13	3.23E-13	3.23E-13	6.51E-14
CGBOV	1.61E-16	1.61E-16	1.61E-16	1.61E-16	1.61E-16
CGS	1.79E-13	0.00E+00	1.79E-13	0.00E+00	3.62E-14
CGD	0.00E+00	0.00E+00	0.00E+00	0.00E+00	0.00E+00
CGB	0.00E+00	6.04E-14	0.00E+00	6.04E-14	0.00E+00

NAME	M_M11	M_M5	M_M7	M_M8	M_M6
MODEL	P160	P640	P320	P320	P640
ID	-4.38E-12	-2.51E-04	-1.51E-04	-1.51E-04	-2.51E-04
VGS	-8.00E-01	-1.05E+00	-1.02E+00	-1.02E+00	-1.05E+00
VDS	-1.92E+00	-8.26E-01	-2.26E-01	-2.26E-01	-8.26E-01
VBS	0.00E+00	0.00E+00	0.00E+00	0.00E+00	0.00E+00

เอกสารนี้เป็นเอกสารที่สงวนไว้สำหรับการใช้งานเพื่อการศึกษาเท่านั้น ไม่อนุญาตให้นำไปใช้ประโยชน์ด้านการค้า
ไม่ว่ากรณีใดๆ ทั้งสิ้น อีกทั้งห้ามมิให้ตัดแปลงเนื้อหาและต้องอ้างอิงถึงเจ้าของเอกสารทุกครั้งที่มีการนำไปใช้

VTH	-8.00E-01	-8.00E-01	-8.00E-01	-8.00E-01	-8.00E-01
VDSAT	-3.73E-05	-2.25E-01	-1.99E-01	-1.99E-01	-2.25E-01
GM	1.17E-07	1.91E-03	1.19E-03	1.19E-03	1.91E-03
GDS	6.34E-13	8.06E-05	1.75E-04	1.75E-04	8.06E-05
GMB	2.90E-08	4.55E-04	2.86E-04	2.86E-04	4.55E-04
CBD	8.00E-20	8.00E-20	8.00E-20	8.00E-20	8.00E-20
CBS	1.11E-19	1.11E-19	1.11E-19	1.11E-19	1.11E-19
CGSOV	6.51E-14	2.64E-13	2.64E-13	2.64E-13	2.64E-13
CGDOV	6.51E-14	2.64E-13	2.64E-13	2.64E-13	2.64E-13
CGBOV	1.61E-16	1.61E-16	1.61E-16	1.61E-16	1.61E-16
CGS	3.62E-14	1.47E-13	1.47E-13	1.47E-13	1.47E-13
CGD	0.00E+00	0.00E+00	0.00E+00	0.00E+00	0.00E+00
CGB	0.00E+00	0.00E+00	0.00E+00	0.00E+00	0.00E+00
NAME	M_M3	M_M3i	M_M4	M_M4i	M_Sp
MODEL	N391	N391	N391	N391	N500
ID	1.00E-04	2.22E-12	1.00E-04	2.22E-12	2.62E-12
VGS	9.13E-01	5.40E-01	9.13E-01	5.40E-01	-1.87E-01
VDS	2.59E+00	2.21E+00	2.59E+00	2.21E+00	2.61E+00
VBS	0.00E+00	0.00E+00	0.00E+00	0.00E+00	0.00E+00
VTH	8.00E-01	8.00E-01	8.00E-01	8.00E-01	8.00E-01
VDSAT	1.01E-01	0.00E+00	1.01E-01	0.00E+00	0.00E+00
GM	1.75E-03	0.00E+00	1.75E-03	0.00E+00	0.00E+00
GDS	2.01E-05	0.00E+00	2.01E-05	0.00E+00	0.00E+00
GMB	4.26E-04	0.00E+00	4.26E-04	0.00E+00	0.00E+00
CBD	8.00E-20	8.00E-20	8.00E-20	8.00E-20	8.00E-20
CBS	1.11E-19	1.11E-19	1.11E-19	1.11E-19	1.11E-19
CGSOV	1.61E-13	1.61E-13	1.61E-13	1.61E-13	2.06E-13
CGDOV	1.61E-13	1.61E-13	1.61E-13	1.61E-13	2.06E-13
CGBOV	1.61E-16	1.61E-16	1.61E-16	1.61E-16	1.61E-16

เอกสารนี้เป็นเอกสารที่สงวนไว้สำหรับการใช้งานเพื่อการศึกษาเท่านั้น ไม่อนุญาตให้นำไปใช้ประโยชน์ด้านการค้า
ไม่ว่ากรณีใดๆ ทั้งสิ้น อีกทั้งห้ามมิให้ตัดแปลงเนื้อหาและต้องอ้างอิงถึงเจ้าของเอกสารทุกครั้งที่มีการนำไปใช้

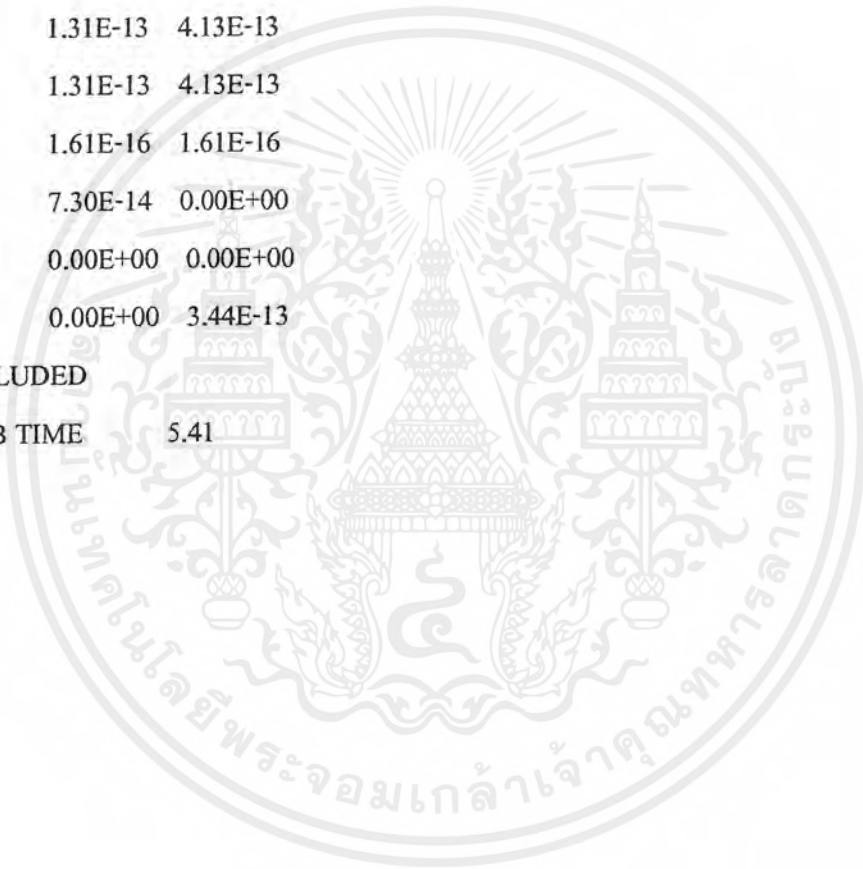
CGS	8.94E-14	0.00E+00	8.94E-14	0.00E+00	0.00E+00
CGD	0.00E+00	0.00E+00	0.00E+00	0.00E+00	0.00E+00
CGB	0.00E+00	3.09E-14	0.00E+00	3.09E-14	1.72E-13

NAME	M_M13	M_M14	M_M9	M_Mb1	M_Mb2
MODEL	N80	N80	N160	N320	N320
ID	4.45E-12	2.62E-12	1.51E-04	2.51E-04	2.51E-04
VGS	8.00E-01	8.00E-01	9.47E-01	1.05E+00	1.05E+00
VDS	1.96E+00	8.00E-01	3.04E+00	9.03E-01	9.03E-01
VBS	0.00E+00	0.00E+00	0.00E+00	0.00E+00	0.00E+00
VTH	8.00E-01	8.00E-01	8.00E-01	8.00E-01	8.00E-01
VDSAT	3.77E-05	3.77E-05	1.31E-01	2.22E-01	2.22E-01
GM	1.17E-07	8.57E-08	2.02E-03	1.94E-03	1.94E-03
GDS	6.32E-13	5.37E-13	2.59E-05	7.77E-05	7.77E-05
GMB	2.90E-08	2.13E-08	4.89E-04	4.61E-04	4.61E-04
CBD	8.00E-20	8.00E-20	8.00E-20	8.00E-20	8.00E-20
CBS	1.11E-19	1.11E-19	1.11E-19	1.11E-19	1.11E-19
CGSOV	3.20E-14	3.20E-14	1.31E-13	1.31E-13	1.31E-13
CGDOV	3.20E-14	3.20E-14	1.31E-13	1.31E-13	1.31E-13
CGBOV	1.61E-16	1.61E-16	1.61E-16	1.61E-16	1.61E-16
CGS	1.78E-14	1.78E-14	7.30E-14	7.30E-14	7.30E-14
CGD	0.00E+00	0.00E+00	0.00E+00	0.00E+00	0.00E+00
CGB	0.00E+00	0.00E+00	0.00E+00	0.00E+00	0.00E+00

NAME	M_M10	M_Sn
MODEL	N160	P1000
ID	1.51E-04	-2.62E-12
VGS	9.47E-01	1.86E-01
VDS	3.04E+00	-2.61E+00
VBS	0.00E+00	0.00E+00

เอกสารนี้เป็นเอกสารที่สงวนไว้สำหรับการใช้งานเพื่อการศึกษาเท่านั้น ไม่อนุญาตให้นำไปใช้ประโยชน์ด้านการค้า
ไม่ว่ากรณีใดๆ ทั้งสิ้น อีกทั้งห้ามมิให้ตัดแปลงเนื้อหาและต้องอ้างอิงถึงเจ้าของเอกสารทุกครั้งที่มีการนำไปใช้

VTH	8.00E-01	-8.00E-01
VDSAT	1.31E-01	0.00E+00
GM	2.02E-03	0.00E+00
GDS	2.59E-05	0.00E+00
GMB	4.89E-04	0.00E+00
CBD	8.00E-20	8.00E-20
CBS	1.11E-19	1.11E-19
CGSOV	1.31E-13	4.13E-13
CGDOV	1.31E-13	4.13E-13
CGBOV	1.61E-16	1.61E-16
CGS	7.30E-14	0.00E+00
CGD	0.00E+00	0.00E+00
CGB	0.00E+00	3.44E-13
JOB CONCLUDED		
TOTAL JOB TIME	5.41	



เอกสารนี้เป็นเอกสารที่สงวนไว้สำหรับการใช้งานเพื่อการศึกษาเท่านั้น ไม่อนุญาตให้นำไปใช้ประโยชน์ด้านการค้า
ไม่ว่ากรณีใดๆ ทั้งสิ้น อีกทั้งห้ามมิให้ตัดแปลงเนื้อหาและต้องอ้างอิงถึงเจ้าของเอกสารทุกครั้งที่มีการนำไปใช้

4.ผลการหาค่าไบอัสภาคเอาต์พุตอย่างเดียว

MOSFET MODEL PARAMETERS

	P1000	P40	P100	N500
	PMOS	PMOS	PMOS	NMOS
LEVEL	3	3	3	3
TPG	0	0	0	0
L	1.000000E-06	1.000000E-06	1.000000E-06	1.000000E-06
W	1.000000E-03	40.000000E-06	100.000000E-06	500.000000E-06
WD	1.400000E-06	1.400000E-06	1.400000E-06	1.400000E-06
VTO	-.8	-.8	-.8	.8
KP	10.000000E-06	10.000000E-06	10.000000E-06	20.000000E-06
GAMMA	.4	.4	.4	.4
PHI	.65	.65	.65	.65
LAMBDA	646.578700E-15	646.578700E-15	646.578700E-15	646.578700E-15
RD	2	2	2	2
RG	2	2	2	2
PBSW	.8	.8	.8	.8
CJ	144.039000E-06	144.039000E-06	144.039000E-06	144.039000E-06
TT	80.000000E-09	80.000000E-09	80.000000E-09	80.000000E-09
CGSO	414.000000E-12	414.000000E-12	414.000000E-12	414.000000E-12
CGDO	414.000000E-12	414.000000E-12	414.000000E-12	414.000000E-12
CGBO	161.000000E-12	161.000000E-12	161.000000E-12	161.000000E-12
NSUB	2.000000E+15	2.000000E+15	2.000000E+15	2.000000E+15
TOX	100.000000E-09	100.000000E-09	100.000000E-09	100.000000E-09
	N20	N50		
	NMOS	NMOS		
LEVEL	3	3		
TPG	0	0		
L	1.000000E-06	1.000000E-06		

เอกสารนี้เป็นเอกสารที่สงวนไว้สำหรับการใช้งานเพื่อการศึกษาเท่านั้น ไม่อนุญาตให้นำไปใช้ประโยชน์ด้านการค้าไม่ว่ากรณีใดๆ ทั้งสิ้น อีกทั้งห้ามมิให้ตัดแปลงเนื้อหาและต้องอ้างอิงถึงเจ้าของเอกสารทุกครั้งที่มีการนำไปใช้

W	20.000000E-06	50.000000E-06
WD	1.400000E-06	1.400000E-06
VTO	.8	.8
KP	20.000000E-06	20.000000E-06
GAMMA	.4	.4
PHI	.65	.65
LAMBDA	646.578700E-15	646.578700E-15
RD	2	2
RG	2	2
PBSW	.8	.8
CJ	144.039000E-06	144.039000E-06
TT	80.000000E-09	80.000000E-09
CGSO	414.000000E-12	414.000000E-12
CGDO	414.000000E-12	414.000000E-12
CGBO	161.000000E-12	161.000000E-12
NSUB	2.000000E+15	2.000000E+15
TOX	100.000000E-09	100.000000E-09



เอกสารนี้เป็นเอกสารที่สงวนไว้สำหรับการใช้งานเพื่อการศึกษาเท่านั้น ไม่อนุญาตให้นำไปใช้ประโยชน์ด้านการค้า
ไม่ว่ากรณีใดๆ ทั้งสิ้น อีกทั้งห้ามมิให้ตัดแปลงเนื้อหาและต้องอ้างอิงถึงเจ้าของเอกสารทุกครั้งที่มีการนำไปใช้

```

**** SMALL SIGNAL BIAS SOLUTION   TEMPERATURE = 27.000 DEG C
NODE VOLTAGE  NODE VOLTAGE  NODE VOLTAGE  NODE VOLTAGE
( 1) -0.4244 ( 2) 0.4384 ( 3) -1.1786 ( 4) 1.6249
( in) 0.0000 ( out) -1.5380 ($N_0001) 2.5000
($N_0002) 1.5234          ($N_0003) -2.5000
($N_0004) -1.5208
TOTAL POWER DISSIPATION 5.14E-03 WATTS

```

```

**** OPERATING POINT INFORMATION   TEMPERATURE = 27.000 DEG C
MOSFETS
NAME          M_Mo1    M_Mo3    M_Mo2    M_Mo4    M_Mo8
MODEL         P1000   P40     P100    P100    N50
ID            -7.17E-05 -2.00E-05 -2.00E-05 -1.46E-04 2.81E-12
VGS           -8.75E-01 -1.09E+00 -9.77E-01 -1.19E+00 7.54E-01
VDS           -4.04E+00 -1.09E+00 -9.77E-01 -2.80E+00 2.80E+00
VBS           0.00E+00 0.00E+00 0.00E+00 0.00E+00 0.00E+00
VTH           -8.00E-01 -8.00E-01 -8.00E-01 -8.00E-01 8.00E-01
VDSAT         -6.68E-02 -2.54E-01 -1.57E-01 -3.44E-01 0.00E+00
GM            1.90E-03 1.35E-04 2.21E-04 7.28E-04 0.00E+00
GDS           9.03E-06 5.87E-06 5.89E-06 2.96E-05 0.00E+00
GMB           4.66E-04 3.19E-05 5.33E-05 1.69E-04 0.00E+00
CBD           8.00E-20 8.00E-20 8.00E-20 8.00E-20 8.00E-20
CBS           1.11E-19 1.11E-19 1.11E-19 1.11E-19 1.11E-19
CGSOV         4.13E-13 1.54E-14 4.02E-14 4.02E-14 1.95E-14
CGDOV         4.13E-13 1.54E-14 4.02E-14 4.02E-14 1.95E-14
CGBOV         1.61E-16 1.61E-16 1.61E-16 1.61E-16 1.61E-16
CGS           2.30E-13 8.56E-15 2.24E-14 2.24E-14 0.00E+00
CGD           0.00E+00 0.00E+00 0.00E+00 0.00E+00 0.00E+00
CGB           0.00E+00 0.00E+00 0.00E+00 0.00E+00 3.32E-15

```

เอกสารนี้เป็นเอกสารที่สงวนไว้สำหรับการใช้งานเพื่อการศึกษาเท่านั้น ไม่อนุญาตให้นำไปใช้ประโยชน์ด้านการค้า
ไม่ว่ากรณีใดๆ ทั้งสิ้น อีกทั้งห้ามมิให้ตัดแปลงเนื้อหาและต้องอ้างอิงถึงเจ้าของเอกสารทุกครั้งที่มีการนำไปใช้

NAME	M_MO5	M_Mo7	M_Mo6
MODEL	N500	N20	N50
ID	1.61E-03	2.00E-05	2.00E-05
VGS	1.32E+00	1.10E+00	9.79E-01
VDS	9.62E-01	1.10E+00	9.79E-01
VBS	0.00E+00	0.00E+00	0.00E+00
VTH	8.00E-01	8.00E-01	8.00E-01
VDSAT	4.64E-01	2.64E-01	1.59E-01
GM	5.68E-03	1.30E-04	2.18E-04
GDS	5.51E-04	5.87E-06	5.89E-06
GMB	1.30E-03	3.06E-05	5.24E-05
CBD	8.00E-20	8.00E-20	8.00E-20
CBS	1.11E-19	1.11E-19	1.11E-19
CGSOV	2.06E-13	7.12E-15	1.95E-14
CGDOV	2.06E-13	7.12E-15	1.95E-14
CGBOV	1.61E-16	1.61E-16	1.61E-16
CGS	1.14E-13	3.96E-15	1.09E-14
CGD	0.00E+00	0.00E+00	0.00E+00
CGB	0.00E+00	0.00E+00	0.00E+00
JOB CONCLUDED			
TOTAL JOB TIME	1.66		

เอกสารนี้เป็นเอกสารที่สงวนไว้สำหรับการใช้งานเพื่อการศึกษาเท่านั้น ไม่อนุญาตให้นำไปใช้ประโยชน์ด้านการค้า
ไม่ว่ากรณีใดๆ ทั้งสิ้น อีกทั้งห้ามมิให้ตัดแปลงเนื้อหาและต้องอ้างอิงถึงเจ้าของเอกสารทุกครั้งที่มีการนำไปใช้


กิตติกรรมประกาศ

ขอบคุณพ่อและแม่และสมาชิกในครอบครัวที่เข้าใจและให้กำลังใจและมีแต่ความปรารถนาดีตลอดมา

ขอขอบคุณอาจารย์วรารกรเป็นอย่างยิ่ง สำหรับการสละเวลาส่วนตัว คำปรึกษาและความรู้ที่มอบให้ตลอดปี ซึ่งแน่นอนว่าหากไม่ได้คำปรึกษาจากอาจารย์แล้ว โครงการนี้ย่อมไม่มีทางสำเร็จจนถึงเวลานี้ได้

ขอบคุณเพื่อนๆ สำหรับกำลังใจ และยังเป็นทีที่ปรึกษายามมีปัญหาไม่ว่าเรื่องใดๆก็ตาม




(ณัฐวุฒิ วังงานนท์)

ผู้จัดทำ

เอกสารนี้เป็นเอกสารที่สงวนไว้สำหรับการใช้งานเพื่อการศึกษาเท่านั้น ไม่อนุญาตให้นำไปใช้ประโยชน์ด้านการค้าไม่ว่ากรณีใดๆ ทั้งสิ้น อีกทั้งห้ามมิให้ตัดแปลงเนื้อหาและต้องอ้างอิงถึงเจ้าของเอกสารทุกครั้งที่มีการนำไปใช้

บรรณานุกรม

1. Muhammad Rashid 'Microelectronic Circuits Analog and design', PWS publishing company 1999
2. Thomas L. Floyd, 'Electronic devices '4th edition, Prentice hall International, Inc 1996
3. Randall L. Geiger, Phillip E. Allen, Noel R. Strader, 'VLSI design technic for Analog and digital circuits', Mcgraw-Hill Publishing company 1990
4. Mark N. Horenstein, ' Microelectronic Circuits and Devices ' 2nd editon, Prentice-Hallintery edition
5. Phillip E. Allen, Douglas R. bHolbreg, 'CMOS Analog Circuit Design' Holt, Rinehart and Wilston, Inc. 1987
6. Paul R. Grey, Robert G. Meyer, Analysis And Design Of Analog Integrated Circuits, 3rd edition, John Wiley & Sons, Inc. 1993
7. Ron Hogervorst, Johan H. Huijsing 'Design Of Low-Voltage, Low power Operationalv Amplifier Cells', Kluwer Academic Publishers